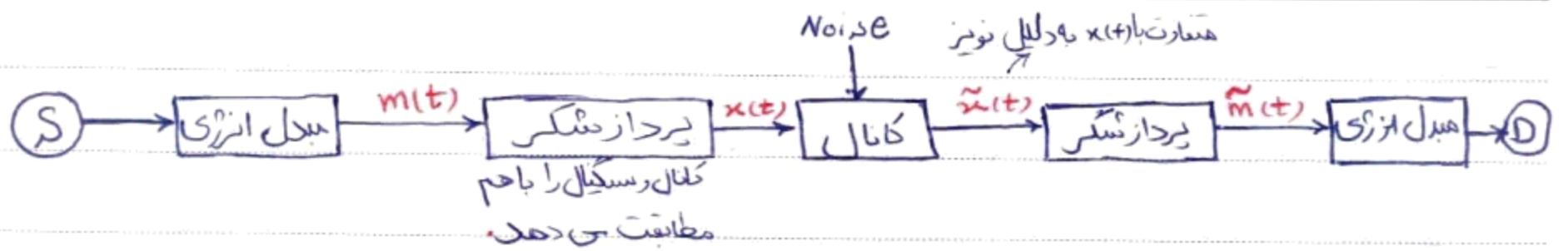


جزوه مفابرات ۱

دکتر محمد مولوی



علت نیاز به پردازشگر:

نرمایی خواهیم سیگنال را از طریق آنتن ارسال کنیم. آنتن می شود که باید ارتباطی بین ابعاد آنتن و فرکانس سیگنال برقرار باشد. حدوداً $\lambda = \frac{c}{f}$

$f = 100$
 $c = 300,000 \text{ km/sec}$
 $\Rightarrow \lambda \approx 300 \text{ km}$ *عبرمنطق*

برای رفع این مشکل سیگنال را در یک کسینوسی ضرب می کنیم تا به فرکانس های بالا رود و در طول آنتن کاهش یابد. این عمل پردازش است.

قبل از اینکه سیگنال به ما برسد ما بی نهایت تابع می توانیم حدس بزنیم که سیگنال مورد نظری تواند یکی از آنها باشد. به این فرکانس ها فرکانس های استوکاستیک سیگنال های تصادفی می گوئیم.

منابع:

۱- سیستم های ارتباطی نویسنده: A.B. Carlson

Proakis + Masoud Salehi $\left\{ \begin{array}{l} \text{Comm Systems Engineer} \text{ - ۲} \\ \text{Digital Comm} \text{ - ۳} \end{array} \right.$

۴- Digital and analog Comm نویسنده: Shanmugan

سیگنال :

$m(t)$

انرژی را سیگنال به آن اعمال می شود معادله ی تک اهم باشد داریم :

$P_t = v(t) i(t)$

$\left. \begin{matrix} + \\ v(t) \\ - \end{matrix} \right\} \Omega \quad P_t = v(t) i(t) = v^2(t)$

$\left. \begin{matrix} \uparrow \\ \Omega \\ \downarrow \end{matrix} \right\} \Omega \quad P_t = i(t) i(t) = i^2(t)$

5

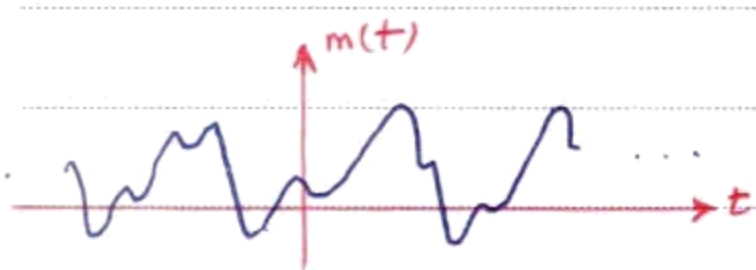
دائرا این توان لحظه ای نرمالیزه شده را به صورت مقابل تعریف می کنیم : $P_t \triangleq m^2(t)$
 بنابراین توان لحظه ای نرمالیزه شده یا به طور خلاصه توان لحظه برابر با مجذور سیگنال می باشد .

$P_{\text{میانگین}} \triangleq \lim_{T \rightarrow \infty} \frac{1}{T} \int_{-T/2}^{T/2} m^2(t) dt$ (توان متوسط)

10

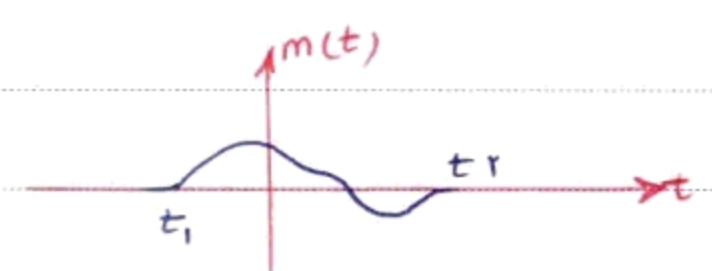
$E = \int_{-\infty}^{+\infty} m^2(t) dt$ (انرژی کل)

انرژی سیگنال :



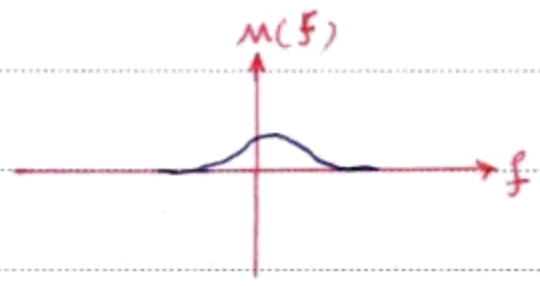
سیگنالی مشابه مقابل کاد تمام زمان حضور دارند دارای انرژی بینهایت هستند و فقط توان متوسطی آنها قابل تعریف هستند . به این سیگنال ها ، سیگنال های توان (Power Signals) می گوئیم .

15



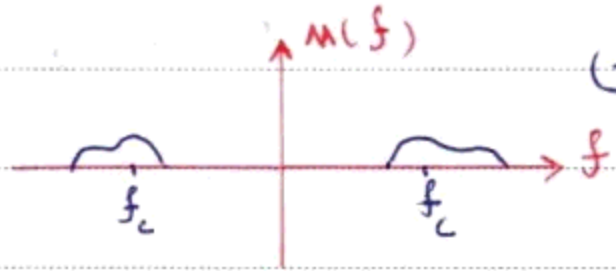
سیگنال مقابل دارای توان متوسط صفر ، انرژی محدود می باشد . به این سیگنال ها سیگنال های انرژی (Energy Signals) می گوئیم .

$m(t) \leftrightarrow M(f)$



سیگنال های پایین گذر - سیگنال های باند پایه
Low pass Signals

$m(t) \leftrightarrow M(f)$



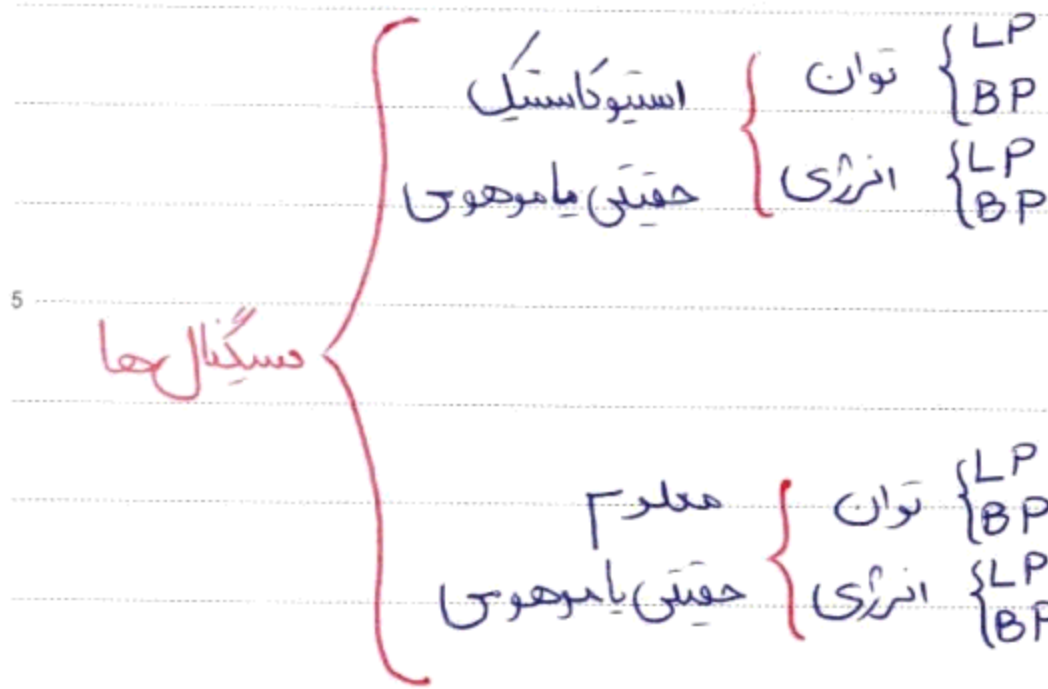
سیگنال های میان گذر - سیگنال های باند میانی
Band pass Signals

25

Subject :

Year . Month . Date . ()

- به سیگنال‌های فرکانس‌های که متغیر با زمان هستند ، سیگنال‌های فرکانس‌های استیوکاستیک می‌گویند .



mh_abbasi.2003@yahoo.com

اسیل استاد حل ترین :
 سه شنبه ۱۲-۲

فرض کنیم $x(t)$ یک سیگنال انرژی باشد و داشته باشیم:

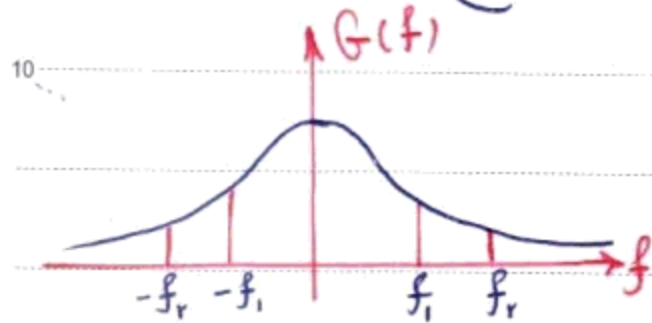
$$x(t) \longleftrightarrow X(f)$$

$$E = \int_{-\infty}^{\infty} |x(t)|^2 dt = \int_{-\infty}^{\infty} |X(f)|^2 df$$

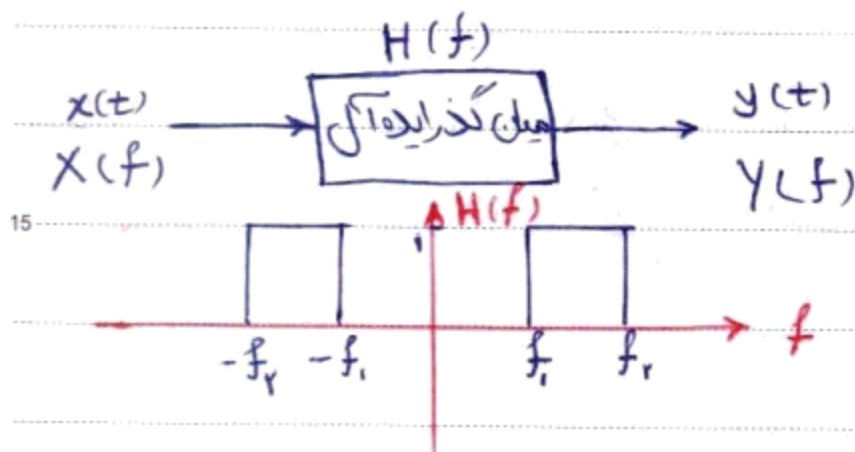
Energy Spectral Function

تابع چگالی طیف انرژی:

این تابع نشان می‌دهد که انرژی سیگنال چگونه در فرکانس‌های مختلف توزیع شده است.



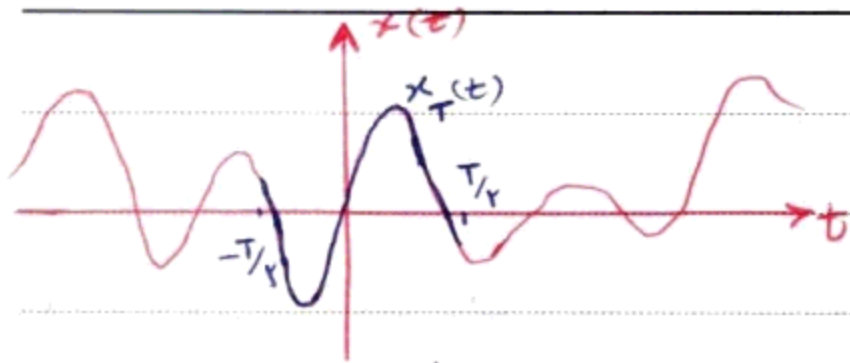
در این تابع هر سطح زیر در فرکانس مشخص برابر با انرژی سیگنال در آن فرکانس‌ها است.



$$Y(f) = X(f) H(f)$$

$$E_y = \int_{-\infty}^{\infty} |Y(f)|^2 df = \int_{-f_i}^{f_i} |X(f)|^2 df = \text{انرژی مربوط به فرکانس‌های } f \text{ هرگز تا } f_r \text{ هرگز } x(t)$$

هرگاه $G(f) = |X(f)|^2$ از زوج کریم نتیجه می‌گیریم که سیگنال حقیقی است.



حال فرض می‌کنیم $x(t)$ یک سیگنال توان باشد.

$$x_T(t) = x(t)P\left(\frac{t}{T}\right) \Rightarrow G(f) = \lim_{T \rightarrow \infty} \frac{|X_T(f)|^2}{T} \quad (1)$$

$$x_T(t) \longleftrightarrow X_T(f)$$

جای پید آمدن جگای توان یک تکه به طول T انتخاب، انرژی آن را بدست آورد و سپس بر T تقسیم می‌کنیم. حال با میل T به بینهایت تابع ^{خالی} میانگین توان را بدست می‌آوریم.

$$E = \int_{-\infty}^{\infty} G(f) df \Rightarrow [G(f)] = \frac{\text{توان}}{\text{اهم‌فرد}}$$

$$E_{f_0} = \int_{f_0 - \frac{df}{\gamma}}^{f_0 + \frac{df}{\gamma}} G(f) df \approx G(f_0) df$$

مثال: با استفاده از رابطه ۱ جگای توان یک تابع پریودیک را بدست آورید؟
 * هر سیگنال پریودیک یک سیگنال توان است زیرا انرژی یک سیگنال پریودیک بینهایت است.

$$x(t) = \sum_{n=-\infty}^{\infty} c_n e^{jn\omega_0 t} \quad \omega_0 = \frac{2\pi}{T_0}$$

$$x_T(t) = P\left(\frac{t}{T}\right) x(t) \longleftrightarrow X_T(f)$$

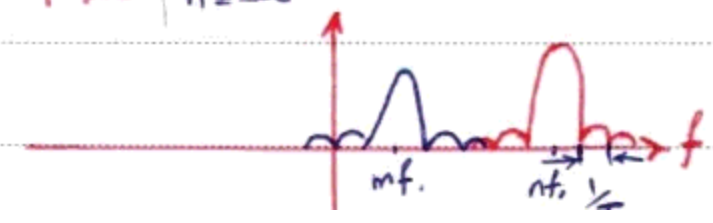
$$P\left(\frac{t}{T}\right) \longleftrightarrow T \sin fT$$

$$x(t) \longleftrightarrow \sum c_n \delta(f - n f_0)$$

$$X_T(f) = \sum_{n=-\infty}^{\infty} T c_n \text{Sinc} T(f - n f_0), \quad f_0 = \frac{1}{T_0}$$

$$|X_T(f)| = \left| \sum_{n=-\infty}^{\infty} T |c_n| |\text{Sinc} T(f - n f_0)| \right|$$

$$\lim_{T \rightarrow \infty} \frac{|X_T(f)|^2}{T} = \lim_{T \rightarrow \infty} \left[\sum_{n=-\infty}^{\infty} T |c_n|^2 \text{Sinc}^2 T(f - n f_0) + \lim_{T \rightarrow \infty} \sum_{n=-\infty}^{\infty} \sum_{m=-\infty}^{\infty} T |c_n| |c_m| \text{Sinc} T(f - n f_0) \text{Sinc} T(f - m f_0) \right]$$

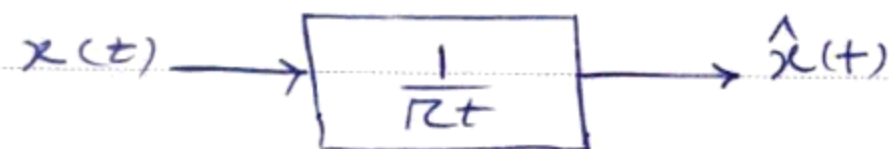


$$\left[\sum T |c_n|^2 \delta(f - n f_0) \right]$$

$$\lim_{T \rightarrow \infty} \frac{|X_T(f)|^2}{T} = \sum_{n=-\infty}^{\infty} |e_n|^2 \delta(f - n f_0)$$

5 $x(t)$

$$\hat{x}(t) \triangleq x(t) * \frac{1}{\pi t}$$



تبدیل هیلبرت:

برای تبدیل هیلبرت یک سیگنال باید سیستمی

بواسطه ضرب $\frac{1}{\pi t}$ داشته باشیم اما این سیستم

عملی نخواهد بود و نمی توان چنین سیستمی ساخت.

10 $x(t) \longleftrightarrow X(f)$

$$\hat{x}(t) \longleftrightarrow X_h(f)$$

$$\frac{1}{\pi t} \longleftrightarrow -j \text{Sign}(f)$$

$$X_h(f) = -j \text{Sign}(f) X(f)$$

15 $X(f) = |X(f)| e^{j\angle X(f)}$

$$X_h(f) = |X_h(f)| e^{j\angle X_h(f)}$$

$$\left. \begin{aligned} -j \text{Sign}(f) &= \begin{cases} -j & f > 0 \\ j & f < 0 \end{cases} = \begin{cases} e^{-j\pi/2} & f > 0 \\ e^{j\pi/2} & f < 0 \end{cases} \\ | -j \text{Sign}(f) | &= 1 \end{aligned} \right\}$$

$$|X_h(f)| = |X(f)|$$

$$\angle X_h(f) = \begin{cases} \angle X(f) - \pi/2 & f > 0 \\ \angle X(f) + \pi/2 & f < 0 \end{cases}$$

20

مثال: فرض کنید $x(t) = a \cos(2\pi f_0 t)$ ، حساب کنید $\hat{x}(t)$.

$$x(t) = \frac{1}{2} a e^{j2\pi f_0 t} + \frac{1}{2} a e^{-j2\pi f_0 t}$$

تبدیل هیلبرت
عملی و مستعمل از زمان

$$\hat{x}(t) = \frac{1}{2} a e^{j2\pi f_0 t} e^{-j\pi/2} + \frac{1}{2} a e^{-j2\pi f_0 t} e^{j\pi/2}$$

$$\Rightarrow \hat{x}(t) = \frac{1}{2} a e^{j(2\pi f_0 t - \pi/2)} + \frac{1}{2} a e^{-j(2\pi f_0 t - \pi/2)}$$

$$\Rightarrow \hat{x}(t) = a \cos(2\pi f_0 t - \pi/2)$$

Subject:

Year. Month. Date. ()

$$x(t) = a_1 \cos \omega_1 t + a_2 \cos \omega_2 t - a_3 \sin \omega_3 t$$

مثال:

$$\hat{x}(t) = a_1 \cos(\omega_1 t - \frac{\pi}{\omega_1}) + a_2 \cos(\omega_2 t - \frac{\pi}{\omega_2}) - a_3 \sin(\omega_3 t - \frac{\pi}{\omega_3})$$

$$\Rightarrow \hat{x}(t) = a_1 \cos \omega_1 (t - \frac{\pi}{\omega_1}) + a_2 \cos \omega_2 (t - \frac{\pi}{\omega_2}) - a_3 \sin \omega_3 (t - \frac{\pi}{\omega_3})$$

5. همانطور که بینیم در حوزه زمان یک امواج زیادی به سگنال می دهد.

10

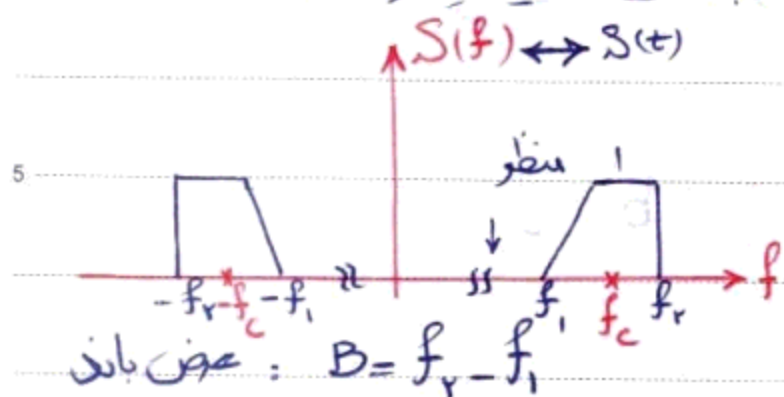
15

20

25

سیگنال‌های میان‌بند و پایین‌بند

اگر سیگنالی صرفاً فرکانس‌های حول یک فرکانس میانی غیر صفر بود. یا از یک فیلتر میان‌بند عبور کند، به آن سیگنال میان‌بند می‌گویند.

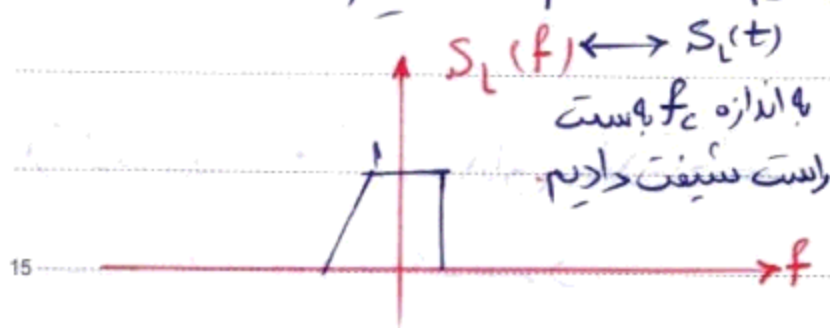


در سرتاسر بحث ما، منظور از سیگنال میان‌بند سیگنالی است که حقیقی می‌باشد.

سیگنال باریک عرض سیگنالی است که یکی از شرایط زیر در آن برقرار باشد:

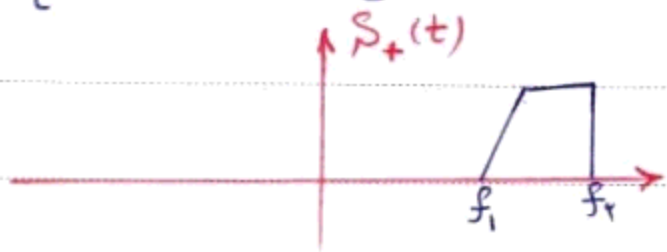
$$\frac{f}{B} \gg 1 \quad \frac{B}{f} \ll 1$$

یک فرکانس f_c و پهنای خود f_r را انتخاب می‌کنیم و f_c نام می‌گذاریم.



سیگنال باند پایه معادل $S(f)$

$$S_l(f) = S(f + f_c)$$



$$S_+(f) = S(f) u(f)$$

$$S(f) \leftrightarrow S(t)$$

$$u(f) \leftrightarrow \frac{1}{2} S(t) + \frac{j}{2\pi t}$$

$$S_+(t) = S(t) * \left[\frac{1}{2} \delta(t) + \frac{j}{2\pi t} \right]$$

$$\Rightarrow S_+(t) = \frac{1}{2} S(t) + \frac{j}{2\pi} \hat{S}(t) \quad (1)$$

$$S_l(f) = S_+(f + f_c) \Rightarrow S_l(t) = S_+(t) e^{-j2\pi f_c t} \Rightarrow S_+(t) = S_l(t) e^{j2\pi f_c t} \quad (2)$$

$$\frac{1}{2} S(t) + \frac{j}{2\pi} \hat{S}(t) = S_l(t) e^{j2\pi f_c t}$$

$$\Rightarrow \begin{cases} S(t) = 2 \operatorname{Re} [S_l(t) e^{j2\pi f_c t}] \\ \hat{S}(t) = 2 \operatorname{Im} [S_l(t) e^{j2\pi f_c t}] \end{cases} \quad \text{مدل a}$$

$$S_i(t) = \frac{1}{\sqrt{2}} S_i(t) + \frac{j}{\sqrt{2}} S_q(t) \rightarrow \begin{cases} S_i(t) : \\ S_q(t) : \end{cases}$$

دو برابر نسبت حقیقی

دو برابر نسبت موهومی

$$S(t) = \sqrt{2} \operatorname{Re} \left[\left(\frac{1}{\sqrt{2}} S_i(t) + \frac{j}{\sqrt{2}} S_q(t) \right) (\cos 2\pi f_c t + j \sin 2\pi f_c t) \right]$$

$$\begin{aligned} \Rightarrow S(t) &= S_i(t) \cos 2\pi f_c t - S_q(t) \sin 2\pi f_c t \\ \Rightarrow \hat{S}(t) &= S_i(t) \sin 2\pi f_c t + S_q(t) \cos 2\pi f_c t \end{aligned} \quad \left. \begin{array}{l} \\ \\ \end{array} \right\} \text{ مدل b}$$

$$S_i(t) = \frac{1}{\sqrt{2}} S_i(t) + \frac{j}{\sqrt{2}} S_q(t) = \frac{1}{\sqrt{2}} R(t) e^{j\varphi(t)}$$

$$R(t) = \sqrt{S_i^2(t) + S_q^2(t)}$$

$$\varphi(t) = \tan^{-1} \frac{S_q(t)}{S_i(t)}$$

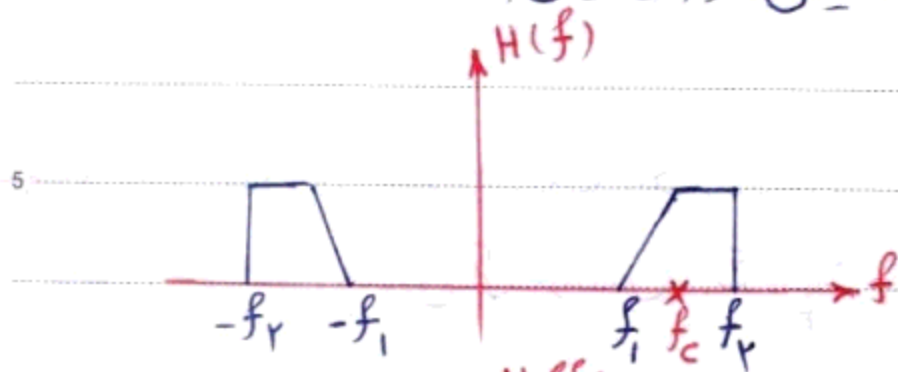
$$S(t) = \sqrt{2} \operatorname{Re} \left[\frac{1}{\sqrt{2}} R(t) e^{j\varphi(t)} e^{j2\pi f_c t} \right] \Rightarrow S(t) = R(t) \cos(2\pi f_c t + \varphi(t)) \quad \text{مدل c}$$

از آنجایی که $S_i(t)$ سیگنالی از باندهای پایین است، سیگنال‌های $S_i(t)$ ، $S_q(t)$ ، $R(t)$ ، $\varphi(t)$ همگی سیگنال‌های باندهای پایین هستند.

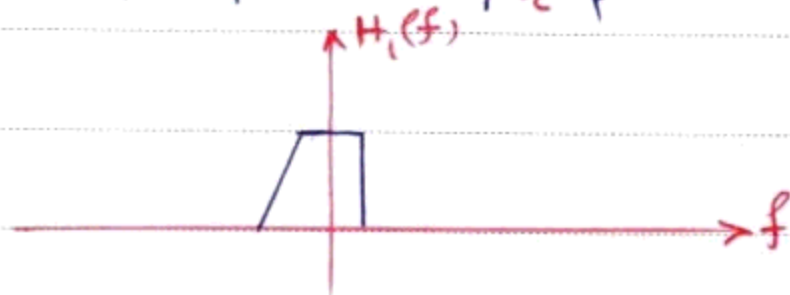
$$S(f) = \frac{1}{\sqrt{2}} [S_i(f - f_c) + S_i^*(-f - f_c)] \quad \leftarrow \text{نشان دهید}$$

سیستم‌ها

سیستم بازدهی سیستی است که پاسخ آن سیگالی از بازدهیانی باشد.



سیستم مقابل، سیستی از بازدهیانی است.



سیستم پایی گذر معادل سیستم بالا

$$\begin{aligned}
 & S(t) \rightarrow [H(f)] \rightarrow Q(t) \\
 & S_1(t) \rightarrow [H_1(f)] \rightarrow Q_1(t)
 \end{aligned}
 \left. \begin{array}{l} \text{اینها} \\ \Rightarrow u(f+f_c) \end{array} \right\} \begin{aligned}
 & Q(f) = H(f) S(f) \\
 & f \rightarrow f + f_c
 \end{aligned} \Rightarrow Q(t+f_c) = S(t+f_c) H(t+f_c)$$

$$\Rightarrow Q_1(f) = H_1(f) S_1(f) \Rightarrow Q_1(t) = H_1(t) * S_1(t)$$

نشان دهید اگر انتخاب f_c را عوض کنیم، $R(t)$ عوض نمی‌شود.

$$\begin{cases}
 S(t) = S_i(t) \cos 2\pi f_c t - S_q(t) \sin 2\pi f_c t \\
 \hat{S}(t) = S_i(t) \sin 2\pi f_c t + S_q(t) \cos 2\pi f_c t
 \end{cases}$$

$$\begin{cases}
 S_i(t) = S(t) \cos 2\pi f_c t + \hat{S}(t) \sin 2\pi f_c t \\
 S_q(t) = \hat{S}(t) \cos 2\pi f_c t - S(t) \sin 2\pi f_c t
 \end{cases}$$

$$R(t) = \sqrt{S_i^2(t) + S_q^2(t)} = \sqrt{S^2(t) \cos^2 \omega_c t + \hat{S}^2(t) \sin^2 \omega_c t + \hat{S}^2(t) \cos^2 \omega_c t + S^2(t) \sin^2 \omega_c t}$$

$$\Rightarrow R(t) = \sqrt{S^2(t) + \hat{S}^2(t)}$$

باینطور که می‌بینیم مقدار $R(t)$ مستقل از انتخاب f_c است.

Subject:

Year. Month. Date.

اندازه نگر استیم چون سیگنال قطعی است

$$E = \int_{-\infty}^{\infty} S_1^2(t) dt = \int_{-\infty}^{\infty} |S_1(f)|^2 df$$

$$E_1 = \int_{-\infty}^{\infty} |S_1(t)|^2 dt = \int_{-\infty}^{\infty} |S_1(f)|^2 df$$

$$\Rightarrow E = 2E_1$$

بالی روش دقیقتر، بالا اثبات کنی

راهنمایی →

به جای $S_1(t)$ معادل آن بر اساس S_1 و S_2 را قرار دهیم.

10

15

20

25

مدولاسیون:

$$x_{bp}(t) = x_I(t) \cos 2\pi f_c t - x_Q(t) \sin 2\pi f_c t$$

مدولاسیون AM:

$$x_{LP}(t) = \frac{1}{2} x_I(t) + \frac{j}{2} x_Q(t)$$

مدولاسیون های موج پیوسته خطی:

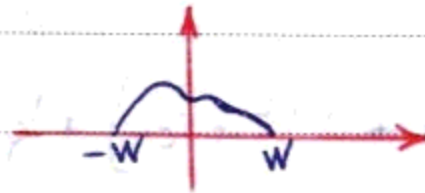
الف) مدولاسیون دامنه (AM)

* خبر باروری پهن باند سیگنال سینوسی قرار می دهیم

$$c(t) = A_c \cos 2\pi f_c t$$

خبر باند پهن $x(t)$ چتر

$$X(f) \text{ باند پهن } W \Rightarrow$$



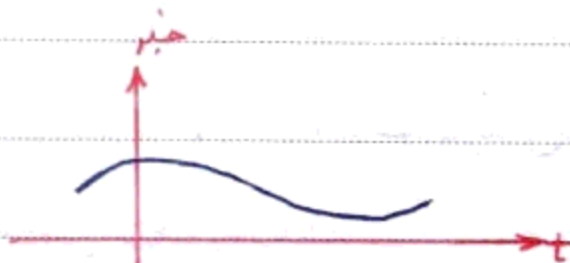
$$S_x \ll 1$$

$$\langle x \rangle = 0$$

$$x_c(t) = A_c (1 + \mu x(t)) \cos 2\pi f_c t$$

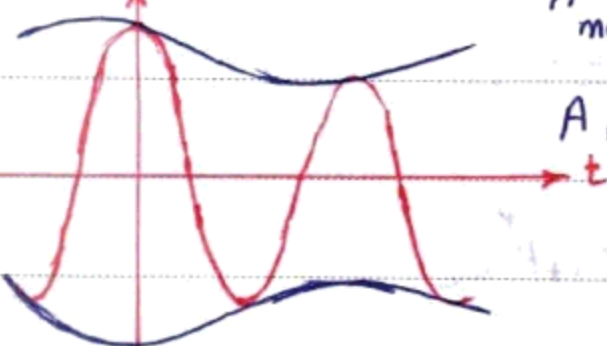
ب) اندازش مدولاسیون AM

توی از شرط های ما اینست که $|x(t)| < 1$
 اگر $|x(t)| > 1$ نباشد آنگاه

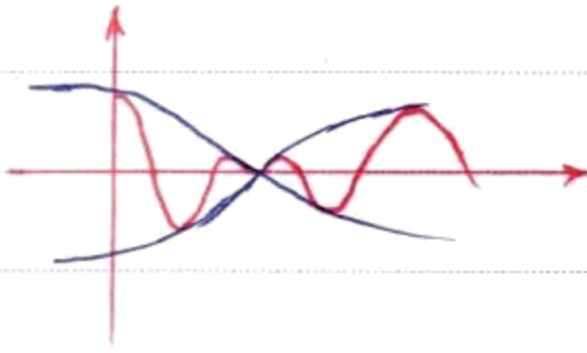


$$A_{max} = A_c (1 + \mu)$$

$$A_{min} = A_c (1 - \mu)$$



اگر $A_{min} < 0$:



با انتخاب مناسب μ می توانیم پیام را با استفاده از آستانه ساز بودن ندست آوریم.

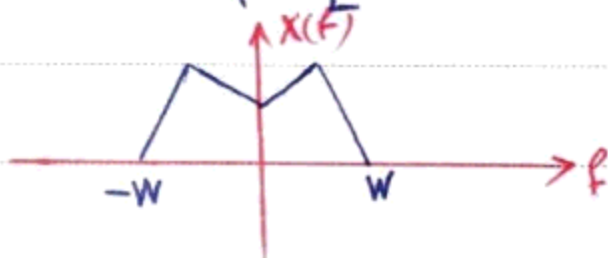
$$A_{min} > 0 \Rightarrow \mu < 1$$

اگر $\mu > 1$ باشد یوش سیگنال متناسب باخبر نخواهد بود و در نقاط عبور از صفر وارزنی فاز دارد. همچنین $f_c \gg W$ باشد تا تداخل فاز نداشته باشیم.

بررسی بپهای بلند و توان سیگنال AM:

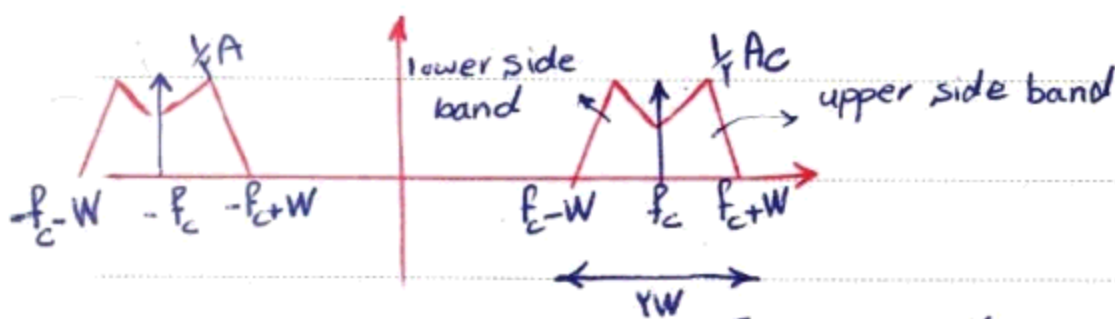
$$x_c(t) = A_c \cos 2\pi f_c t + A_c \mu x(t) \cos 2\pi f_c t$$

$$X_c(f) = \frac{1}{4} A_c [\delta(f - f_c) + \delta(f + f_c)] + \frac{1}{4} A_c \mu [X(f - f_c) + X(f + f_c)]$$



$$BW = 2W$$

بنابراین در مدولاسیون AM دو باند بپهای بلند خود سیگنال برای ارسال اشغال می شود.



بررسی توان را می توان هم در حوزه زمان، هم در حوزه فرکانس بررسی کرد.

$$S_T = \langle x_c^2(t) \rangle$$

محاسبه توان در حوزه زمان:

$$= \frac{1}{4} A_c^2 \langle 1 + \mu^2 x^2 + 2\mu x \rangle + \frac{1}{4} A_c^2 \langle (1 + \mu x(t))^2 \cos 2\pi f_c t \rangle$$

$$\Rightarrow S_T = \frac{1}{4} A_c^2 + \frac{1}{4} A_c^2 \mu^2 S_x + 0 + 0 = \frac{1}{4} A_c^2 (1 + \mu^2 S_x)$$

این توان علاوه بر ارسال خبر، حامل را نیز می فرستد.
 حال می خواهیم ببینیم چه مقدار از توان صرف فرستادن حامل می شود.

$$S_T = \frac{1}{2} A_c^2 + \frac{1}{2} A_c^2 \mu^2 S_x = P_c + 2P_{sb}$$

توان مصرفی برای فرستادن سگنال حامل } $\frac{1}{2} A_c^2$
 توان مصرفی برای فرستادن دو ساید باند } $\frac{1}{2} A_c^2 \mu^2 S_x$

می خواهیم نسبت توان حامل و side-band ها را بنویسیم.

$$\begin{cases} P_c = \frac{1}{2} A_c^2 \\ P_{sb} = \frac{1}{2} A_c^2 \mu^2 S_x \Rightarrow P_{sb} = \frac{1}{2} P_c \mu^2 S_x \end{cases}$$

توان حامل محدود شده
 توان به ازای هر ساید باند

$$\left. \begin{array}{l} |x(t)| < 1 \\ \mu < 1 \end{array} \right\} \Rightarrow |\mu x(t)| < 1 \rightarrow \mu^2 S_x < 1 \Rightarrow \frac{1}{2} \mu^2 P_c S_x \leq \frac{1}{2} P_c$$

$$\Rightarrow \left\{ \begin{array}{l} P_{sb} \leq \frac{1}{2} P_c \\ P_c = S_T - 2P_{sb} \end{array} \right\} \Rightarrow P_{sb} \leq \frac{1}{4} S_T$$

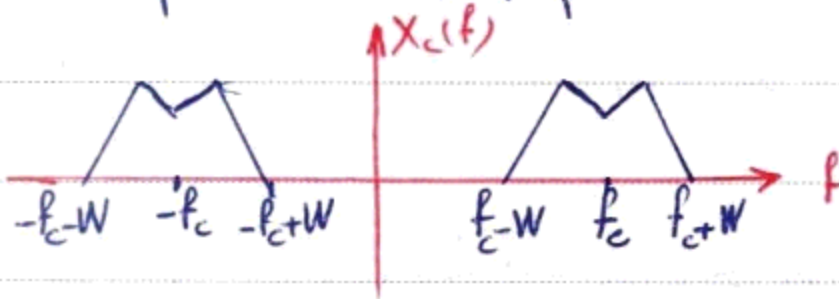
یکی از مشکلات مدولاسیون AM اینست که
 بیش از ۵۰٪ توان مصرفی برای فرستادن
 حامل مصرف می شود.

مدولاسیون AM (Double side band - suppressed carrier) DSB-SC

$$x_c(t) = A_c x(t) \cos 2\pi f_c t$$

با حذف حامل و μ خواهیم داشت:
در این حالت دیگر نمی‌توانیم از آنتن سازهی بویس استفاده کنیم.

$$X_c(f) = \frac{1}{2} A_c X(f - f_c) + \frac{1}{2} A_c X(f + f_c)$$



در این حالت نیز باند $2W$ داریم.

$$B_T = 2W$$

$$S_T = \langle x_c^2(t) \rangle = \frac{1}{2} A_c^2 \langle x^2(t) \rangle \Rightarrow S_T = \frac{1}{2} A_c^2 S_x = 2P_{sb}$$

$$\text{AM مدولاسیون: } x_c(t) = A_c(1 + \mu x(t)) \cos 2\pi f t$$

$$S_T = P_c + 2P_{sb}$$

$$\text{DSB مدولاسیون: } x_c(t) = A_c x(t) \cos 2\pi f t$$

$$S_T = 2P_{sb} \quad B_T = 2W$$

پارامتر مقایسه: حداکثر توانی که سیگنال می تواند داشته باشد همواره محدود است. معیاری که برای مقایسه

این پارامتر قراردادی کنیم برابر با $\frac{P_{sb}}{A_{max}^2}$

$$\Rightarrow A_{max} = \begin{cases} A_c & \text{DSB} \\ 2A_c & \text{AM, } \mu=1 \end{cases} \Rightarrow \begin{cases} \text{DSB: } \frac{P_{sb}}{A_{max}^2} = \frac{1}{4} S_x \\ \text{AM: } \frac{P_{sb}}{A_{max}^2} = \frac{1}{14} S_x \end{cases}$$

$$\Rightarrow P_{sb} = \begin{cases} \frac{1}{4} A_c^2 S_x & \text{DSB} \\ \frac{1}{4} \mu^2 A_c^2 S_x & \text{AM} \end{cases}$$

مناجر این توانی که در DSB به هر دو Side-band اختصاص می دهیم ۴ برابر توان هر Side-band در AM است. بنابراین در حالت DSB سیگنال برد بیشتری خواهد داشت.

اگر A_{max} محدود باشد توان Side-band در مدولاسیون DSB، چهار برابر از توان Side-band در AM بیشتر است.

مثال: در یک فرستنده $A_{max}^2 \leq 1 \text{ kw}$ ، فرض می کنیم خیلی به صورت $S_T \leq 3 \text{ kw}$ ، $A_m = 1$ داریم. $x(t) = A_m \cos 2\pi f_m t$ را در دو حالت AM و DSB حساب

$$\left. \begin{aligned} S_x &= \frac{1}{4} A_m^2 = \frac{1}{4} \quad A_{max}^2 \leq 1 \text{ kw} \\ P_{sb} &= \frac{1}{4} S_x A_{max}^2 = \frac{1}{4} A_{max}^2 \end{aligned} \right\} \Rightarrow P_{sb} \leq 1 \text{ kw} \quad \text{کنید. (ن) DSB}$$

غیر از بوش ما کسبیم ما محدودیتی در حد آن توان ارسالی فرستنده نیز داریم.

$$P_{sb} = \frac{1}{4} S_T \leq \frac{3}{4} \Rightarrow P_{sb} \leq 1 \text{ kw}$$

Subject:

Year. Month. Date. ()

$$P_{sb} = \frac{1}{4} S_x A_{max}^2 \leq \frac{1}{4} P_c$$

$$S_T = P_c + 2P_{sb} = 4P_{sb}$$

$$P_{sb} = \frac{1}{4} P_c$$

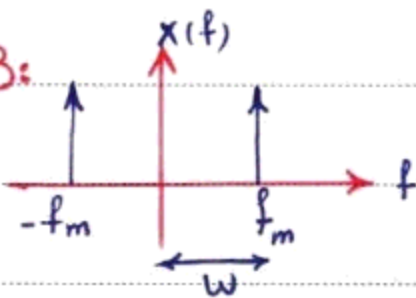
$$P_{sb} = \frac{1}{4} S_T \leq \frac{1}{4} \text{ kw}$$

} $\Rightarrow P_{sb} \leq 1/4 \text{ kw}$

: AM (C)

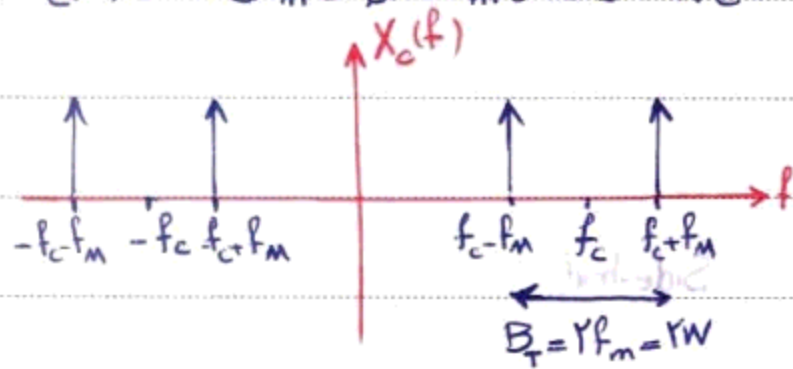
Tone Modulation : DSB:

$$x(t) = A_m \cos(2\pi f_m t)$$



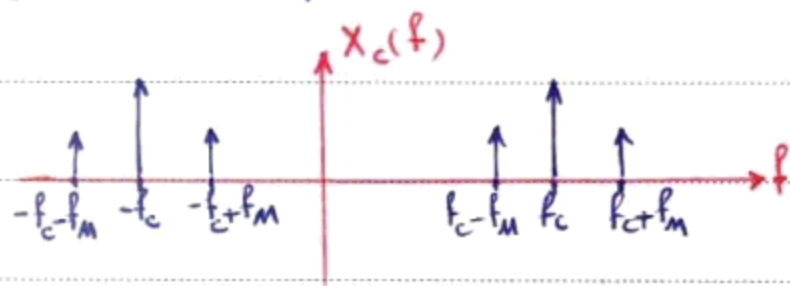
$$S_x = \frac{1}{4} A_m^2 \leq 1$$

$$x_c(t) = A_c A_m \cos(2\pi f_m t) \cos(2\pi f_c t) = \frac{1}{4} A_c A_m \cos((f_c + f_m)t) + \frac{1}{4} A_c A_m \cos((f_c - f_m)t)$$



AM:

$$x_c(t) = A_c (1 + \mu A_m \cos(2\pi f_m t)) \cos(2\pi f_c t)$$



5

10

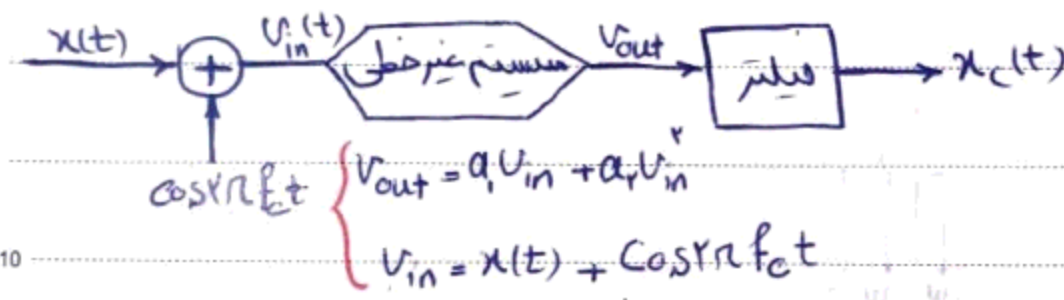
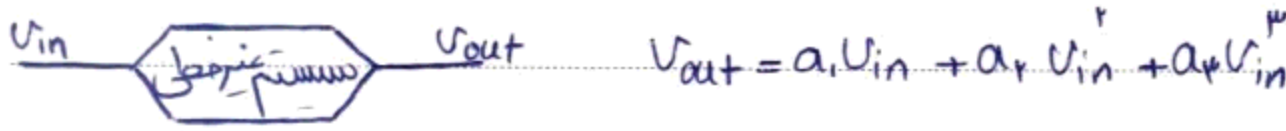
15

20

25

ساختار مدول‌های AM و DSB :

همانطور که دیدیم اگرچه در ساختار سیگنال خیر فرکانس خاصی داریم ولی در سیگنال مدول شده، فرکانس‌های متنوع با خیر داریم. پس در مدول‌ها به ناهار باید از عناصر غیر خطی استفاده کنیم.

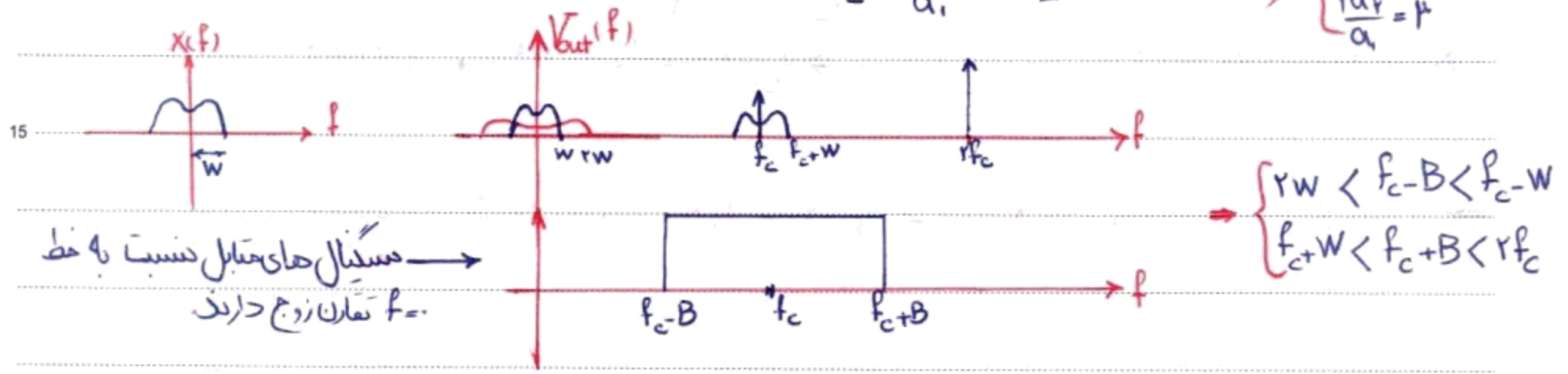


$$\begin{cases} V_{out} = a_1 V_{in} + a_r V_{in}^r \\ V_{in} = x(t) + \cos 2\pi f_c t \end{cases}$$

$$V_{out}(t) = a_1 (x(t) + \cos 2\pi f_c t) + a_r (x(t) + \cos 2\pi f_c t)^r$$

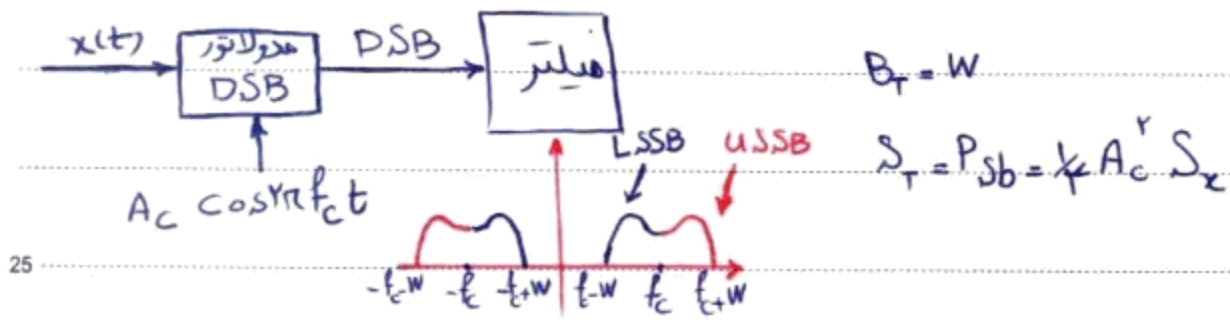
$$= a_1 x(t) + a_r x^r(t) + a_r \cos^r 2\pi f_c t + a_1 \left[1 + \frac{r a_r}{a_1} x(t) \right] \cos 2\pi f_c t$$

$$\begin{cases} a_1 = A_c \\ \frac{r a_r}{a_1} = \mu \end{cases}$$



برای استفاده از قطع در مدول‌های DSB باید مقادیر $a_r = \frac{A_c}{r}$ ، $a_1 = 0$ (قرار دهیم)

مدول‌های SSB (Single-side band) :



$$B_r = W$$

$$S_r = P_{sb} = \frac{1}{2} A_c^r S_x$$

$$x(t) = A_m \cos 2\pi f_m t$$

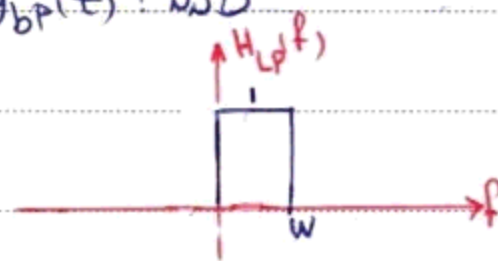
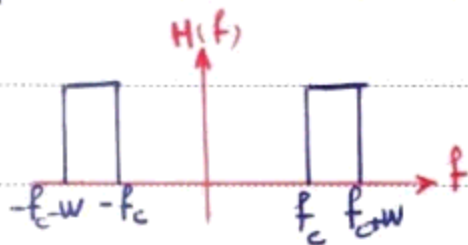
مدور السيول تون:

$$\text{DSB: } \frac{1}{2} A_c A_m \cos 2\pi (f_c - f_m) t + \frac{1}{2} A_c A_m \cos 2\pi (f_c + f_m) t$$

$$\Rightarrow \text{SSB: } \begin{cases} \text{USB: } \frac{1}{2} A_c A_m \cos 2\pi (f_c + f_m) t \\ \text{LSB: } \frac{1}{2} A_c A_m \cos 2\pi (f_c - f_m) t \end{cases}$$



$$x_{bp}(t) = A_c x(t) \cos 2\pi f_c t \longrightarrow y_{bp}(t) : \text{SSB}$$



$$Y_{LP}(f) = X_{LP}(f) H_{LP}(f)$$

$$x_{bp}(t) = A_c x(t) \cos 2\pi f_c t$$

$$H_{LP}(f) = u(f) - u(f-w) = \frac{1}{2} (1 + \text{Sign}(f)) \quad |f| \leq W$$

$$x_{LP}(t) = \frac{1}{2} A_c x(t)$$

$$X_{LP}(f) = \frac{1}{2} A_c X(f) (1 + \text{Sign}(f))$$

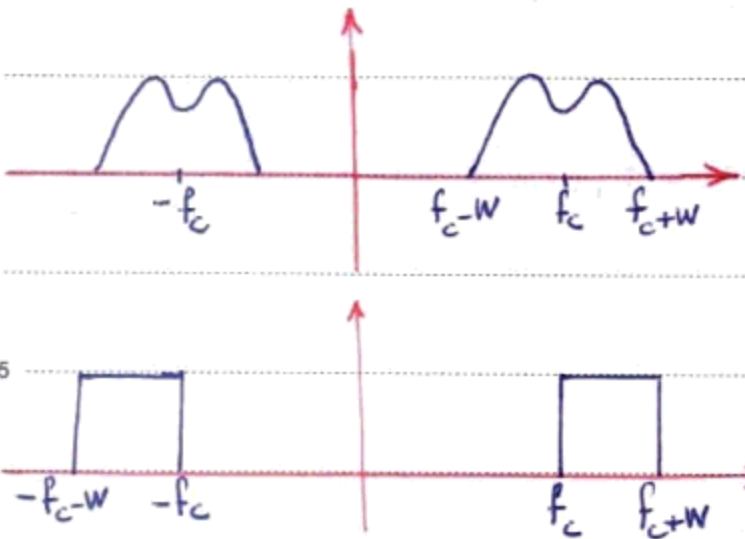
$$X_{LP}(f) = \frac{1}{2} A_c X(f)$$

$$\Rightarrow Y_{LP}(f) = \frac{1}{2} A_c X(f) + \frac{1}{2} A_c X(f) \text{sign}(f)$$

$$\Rightarrow y_{LP}(t) = \frac{1}{2} A_c x(t) + \frac{j}{2} A_c \hat{x}(t) \Rightarrow y_{bp}(t) = \frac{1}{2} A_c [x(t) \cos 2\pi f_c t - \hat{x}(t) \sin 2\pi f_c t]$$

⊕

مدولاسیون SSB :



معادله باندهای SSB $y_{LP}(t) = \frac{1}{\sqrt{2}} A_c (x(t) + j\hat{x}(t))$

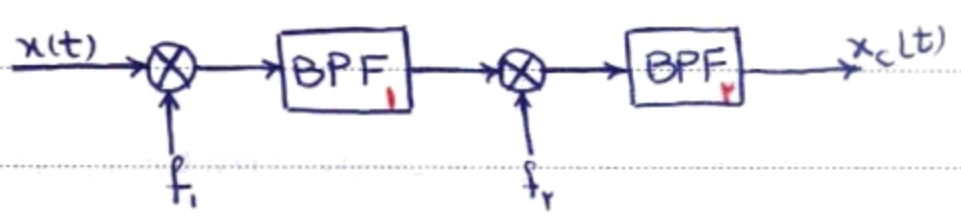
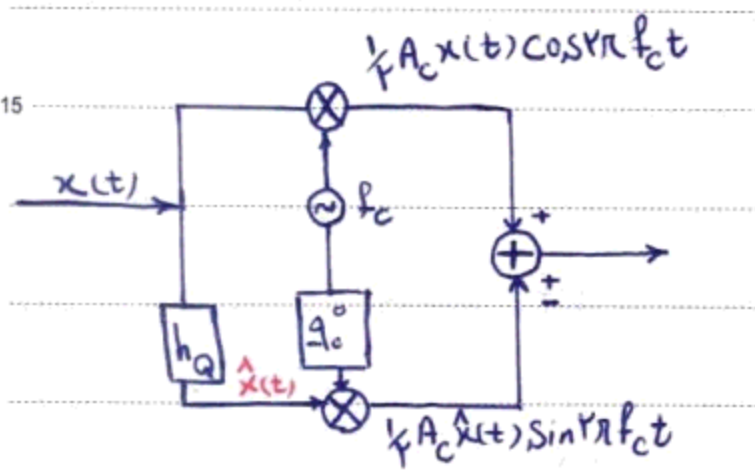
USSB $y_i(t) = \frac{1}{\sqrt{2}} A_c x(t)$
 LSSB $y_q(t) = \pm \frac{1}{\sqrt{2}} A_c \hat{x}(t)$

$y_{BP}(t) = \frac{1}{\sqrt{2}} A_c [x(t) \cos(2\pi f_c t) \mp \hat{x}(t) \sin(2\pi f_c t)]$

پوش: $A(t) = \frac{1}{\sqrt{2}} A_c \sqrt{x^2(t) + \hat{x}^2(t)}$

تولید $\hat{x}(t)$ کاری غیرممکن است زیرا سیستم سازنده آن غیر عملی است اما می توان با تقریب هایی به آن دست یافت.
 تولید فیلتر کاملاً ایده آل نیز کاری مشکل است و در عمل باید با تقریب این فیلتر را ساخت.

ساختار مدولاسیون SSB :



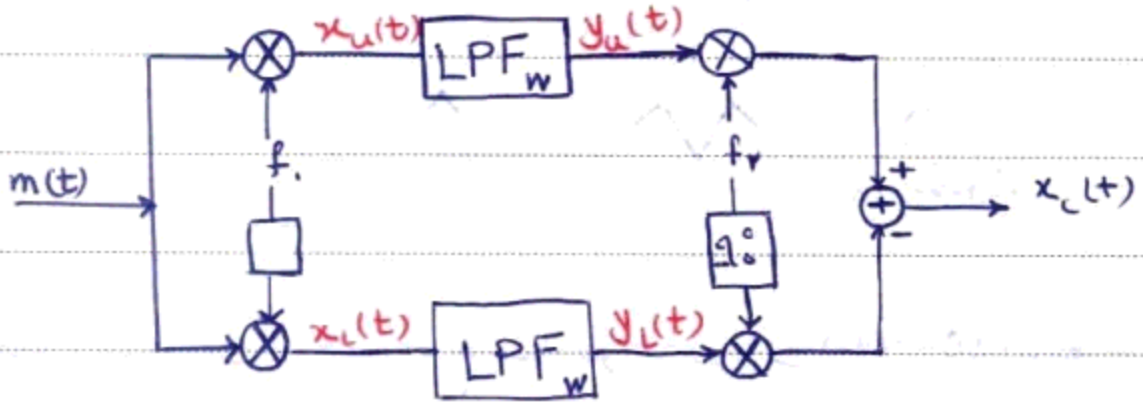
phase-shift Method

Two-step SSB generation

$m(t) = \cos(2\pi f_m t)$

مثال:

می خواهیم با ساختار زیر به سیگنال SSB دست پیدا کنیم. با امترهای ساختار را تعین کنید.



$$x_u(t) = m(t) \cos 2\pi f_c t = \cos 2\pi f_m t \cos 2\pi f_c t = \frac{1}{2} [\cos 2\pi (f_c + f_m) t + \cos 2\pi (f_c - f_m) t]$$

$$x_l(t) = m(t) \sin 2\pi f_c t = \cos 2\pi f_m t \sin 2\pi f_c t = \frac{1}{2} [\sin 2\pi (f_c + f_m) t + \sin 2\pi (f_c - f_m) t]$$

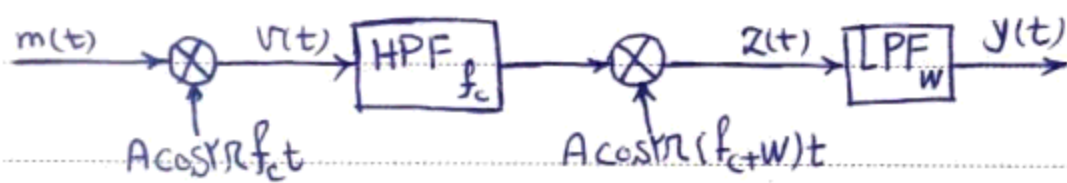
فرض $\begin{cases} |f_c - f_m| < W \\ f_c + f_m > W \end{cases} \Rightarrow \begin{cases} y_u(t) = \frac{1}{2} \cos 2\pi (f_c - f_m) t \\ y_l(t) = \frac{1}{2} \sin 2\pi (f_c - f_m) t \end{cases}$

$$x_c(t) = \frac{1}{2} \cos 2\pi (f_c - f_m) t \cos 2\pi f_c t - \frac{1}{2} \sin 2\pi (f_c - f_m) t \sin 2\pi f_c t = \cos 2\pi (f_c + f_m) t \Rightarrow f_c = f_c - f_m - f_m$$

SSB.

U $x_c(t) = \cos 2\pi f_m t \cos 2\pi f_c t - \sin 2\pi f_m t \sin 2\pi f_c t = \cos 2\pi (f_c + f_m) t \Rightarrow f_c = f_c - f_m - f_m$
 L $x_c(t) = \cos 2\pi (f_c - f_m) t \Rightarrow f_c = f_c + f_m$

$\rightarrow \begin{cases} |f_c - f_m| < W \\ f_c + f_m > W \end{cases}$

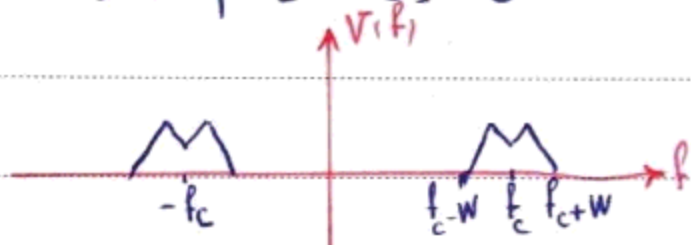


مثال:

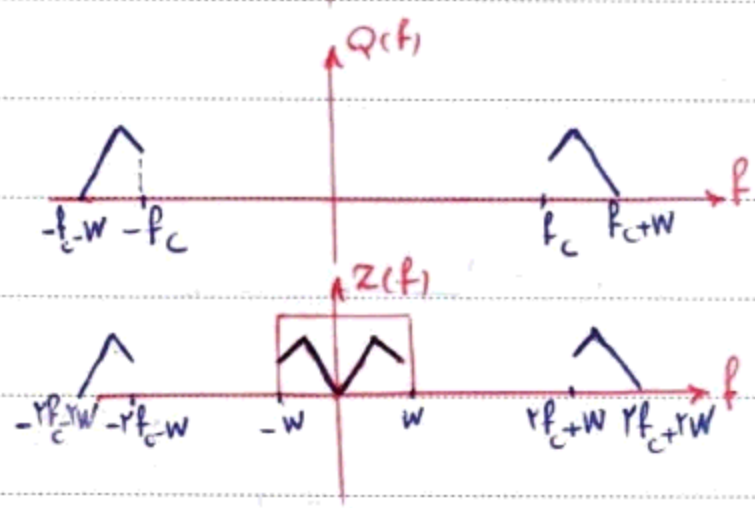
انکه رسم $y(f)$

ب) آیا می توان با عبور مجدد $y(t)$ از این سیستم دوباره $m(t)$ را بدست آورد؟

$$v(t) = m(t) A \cos 2\pi f_c t$$



$$Q(f) = H(f) V(f)$$



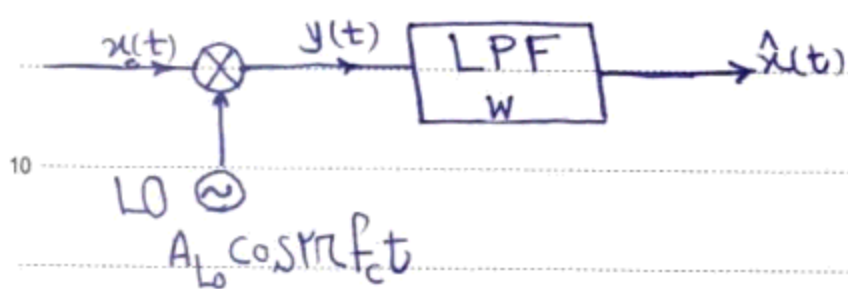
آنگه دوباره خروجی را عبور دهیم همانطور که در بالا side-band ها جا با جا شده اند دوباره نیز شاهد جا با جایی ست آوردن شکل اصلی البته با تعییری در دامنه خواهیم بود.

روش های آستدکارسازی در مدولاسیون های موج پیوسته خطی:

۱) روش سنکرون

۲) روش آستدکارسازی پوس

روش های آستدکارسازی سنکرون:



فرض می کنیم فرکانس موج سینوسی
محل با فرکانس حامل یکی است به
همین دلیل به آن روش سنکرون
می گویند.

$$x_c(t) = [k_c + k_\mu x(t)] \cos(2\pi f_c t) - k_\mu x_q(t) \sin(2\pi f_c t)$$

AM: $x_q(t) = 0$ $k_c = A_c$ $k_\mu = \mu A_c$

DSB: $x_q(t) = 0$ $k_c = 0$ $k_\mu = A_c$

SSB: $x_q(t) = \hat{x}(t)$ $k_c = 0$ $k_\mu = \frac{1}{2} A_c$

$$y(t) = A_{L0} x_c(t) \cos(2\pi f_c t) \Rightarrow y(t) = \frac{1}{2} A_{L0} \left[(k_c + k_\mu x(t)) + \underbrace{(k_c + k_\mu x(t)) \cos(2\pi f_c t)}_{\text{از فیلتر عبور نمی کند}} - \underbrace{k_\mu x_q(t) \sin(2\pi f_c t)}_{\text{از فیلتر عبور نمی کند}} \right]$$

$$\hat{x}(t) = \frac{1}{2} A_{L0} (k_c + k_\mu x(t)) \quad \hat{x}(t) \text{ خازن حذف DC} \quad \frac{1}{2} A_{L0} k_\mu x(t)$$

حال در مسیر راه خازن حذف DC قرار می دهیم تا مقدار ثابت جمع شده با سیگنال را حذف کند.
به همین علت فرض می کنیم خازن مقدار DC ندارد زیرا این مقدار در این مرحله حذف شده و در خروجی دیده نمی شود پس این روش برای ارسال مقادیر DC مناسب نیست.

در اینجا مشکل همزمان کردن اسپلاتور کار سختی است برای رفع این مشکل نمونه ضعیف شده ای از سیگنال حامل را نیز همراه خبر می فرستیم تا گیرنده مشکلی برای سنکرون کردن نداشته باشیم

مدولاسیون های موج پیوسته نمایی:

$$x_c(t) = A_c \cos(2\pi f_c t + \varphi(t))$$

$$\begin{cases} A(t) = A_c = \text{cte} \\ S_T = \frac{1}{4} A_c^2 \end{cases}$$

PM: $\varphi(t) = \varphi_\Delta x(t)$. φ_Δ معرف حداکثر نسبت فاز تولید شده در اثر مدولاسیون است.
 $|x(t)| \leq 1$

$$10 \text{ PM: } x_c(t) = A_c \cos(2\pi f_c t + \varphi_\Delta x(t))$$

$$\theta_c(t) = 2\pi f_c t + \varphi(t)$$

$$f_c(t) = \frac{1}{2\pi} \dot{\theta}_c(t) = f_c + \frac{1}{2\pi} \dot{\varphi}(t)$$

$$15 \text{ FM: } f_c(t) = f_c + f_\Delta x(t)$$

f_Δ معرف حداکثر انحراف فرکانسی نسبت به فرکانس مرکزی f_c است.
 $|x(t)| \leq 1$

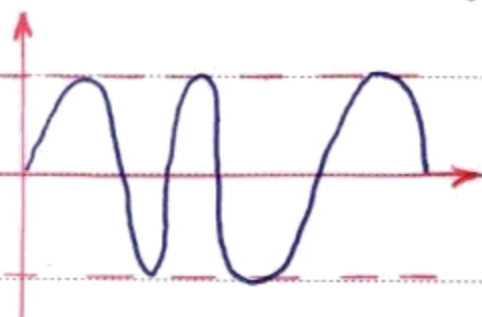
$$f_\Delta x(t) = \frac{1}{2\pi} \dot{\varphi}(t) \rightarrow \varphi(t) = 2\pi f_\Delta \int_{-\infty}^t x(\tau) d\tau$$

$$x_c(t) = A_c \cos \left[2\pi f_c t + 2\pi f_\Delta \int_{-\infty}^t x(\tau) d\tau \right]$$

20 از آنجایی که $x_c(t)$ در دو حالت FM, PM مشابه یکدیگر هستند پس می توان با گریس اشتراک از سیگنال ورودی از FM و PM رفت.

	$\varphi(t)$	$f(t)$
PM	$\varphi_\Delta x(t)$	$f_c + \frac{\varphi_\Delta}{2\pi} \dot{x}(t)$
FM	$2\pi f_\Delta \int_{-\infty}^t x(\tau) d\tau$	$f_c + f_\Delta x(t)$

25 از روی شکل مدوله شده می توان نوع مدولاسیون را تعیین کرد.



اطلاعات در عبور از صفرها هفتت است در اینجا از باصری نمی توان اطلاعاتی را خبر را بدست آورد.

پهنای باند مدولاسیون های نمایی :

در اینجا چون دامنه سیگنال مدوله شده ثابت است، پس S_c ثابت است.

مدولاسیون های نمایی پهنای باند زیادی را اشغال می کنند.

$$x_c(t) = A_c \cos \varphi(t) \cos 2\pi f_c t - A_c \sin \varphi(t) \sin 2\pi f_c t \quad \Rightarrow \quad \begin{cases} x_i(t) = A_c \cos \varphi(t) \\ x_q(t) = A_c \sin \varphi(t) \end{cases}$$

میان $x_c(t) = x_i(t) \cos 2\pi f_c t - x_q(t) \sin 2\pi f_c t$

بسط
تیلور

$$\begin{cases} x_i(t) = A_c \left[1 - \frac{\varphi^2(t)}{2!} + \frac{\varphi^4(t)}{4!} - \dots \right] \\ x_q(t) = A_c \left[\varphi(t) - \frac{\varphi^3(t)}{3!} + \frac{\varphi^5(t)}{5!} - \dots \right] \end{cases}$$

10

$$|\varphi(t)| \ll 1 \rightarrow \begin{cases} x_i(t) = A_c \\ x_q(t) = A_c \varphi(t) \end{cases}$$

مؤلفه های هم فاز هستند
برای تقریب باندباریک

15

$$\Rightarrow x_c(t) = A_c \cos 2\pi f_c t - A_c \varphi(t) \sin 2\pi f_c t$$

$$\Rightarrow X_c(f) = \frac{1}{4} A_c \delta(f - f_c) + \frac{1}{4} A_c \delta(f + f_c) + \frac{j}{4} A_c \varphi(f - f_c) - \frac{j}{4} A_c \varphi(f + f_c)$$

$$\varphi(t) = \begin{cases} \varphi_{\Delta} x(t) & \text{PM} \\ 2\pi f_{\Delta} \int_{-\infty}^t x(\tau) d\tau & \text{FM} \end{cases} \rightarrow \varphi(f) = \begin{cases} \varphi_{\Delta} X(f) & \text{PM} \\ -j \frac{f_{\Delta}}{f} \frac{X(f)}{f} & \text{FM} \end{cases} \rightarrow \begin{array}{l} \text{در هر دو حالت} \\ \text{پهنای باند} \\ \text{2W اشغال} \\ \text{می شود.} \end{array}$$

20

در اینجا به هیچ عنوان نمی توانیم پهنای باند را از 2W کمتر کنیم.
* اثبات می شود که اگر از تقریب باندباریک استفاده نکنیم آنگاه پهنای باند حتماً بزرگتر از 2W خواهد بود.

25

Tone Modulation:

$$x(t) = \begin{cases} A_m \sin 2\pi f_m t & \text{PM} \\ A_m \cos 2\pi f_m t & \text{FM} \end{cases} \quad W = f_m \ll f_c$$

$$x_c(t) = A_c \cos(2\pi f_c t + \underbrace{\beta \sin 2\pi f_m t}_{\text{FM: } 2\pi f_m \int_{-\infty}^t x(\tau) d\tau}) \quad \xrightarrow{\text{در اینجا داریم}} \beta = \begin{cases} \varphi_{\Delta} A_m & \text{PM} \\ \frac{f_{\Delta}}{f_m} A_m & \text{FM} \end{cases}$$

$$\beta = \begin{cases} \varphi_{\Delta} \max(x(t)) & \text{PM} \\ \frac{f_{\Delta}}{W} \max(x(t)) & \text{FM} \end{cases} \quad (\text{در حالت کلی})$$

می خواهیم شرط باندا یک بودن را قرار دهیم

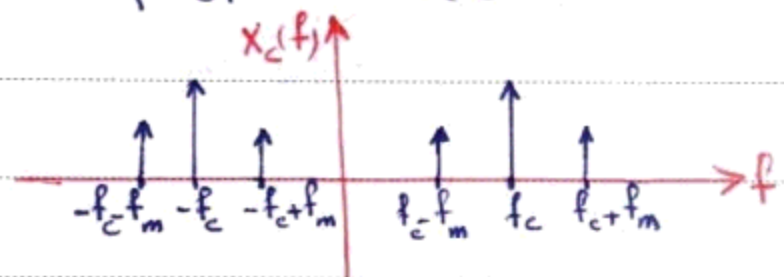
$$|\varphi(t)| \ll 1 \rightarrow |\beta \sin 2\pi f_m t| \ll 1 \xrightarrow{|\sin 2\pi f_m t| \leq 1} |\beta| \ll 1$$

$$\rightarrow x_c(t) = A_c \cos(\beta \sin 2\pi f_m t) \cos 2\pi f_c t - A_c \sin(\beta \sin 2\pi f_m t) \sin 2\pi f_c t$$

$$\rightarrow x_c(t) = A_c \cos 2\pi f_c t - A_c \beta \sin 2\pi f_m t \sin 2\pi f_c t$$

$$\rightarrow x_c(t) = A_c \cos 2\pi f_c t + \frac{1}{4} A_c \beta \cos 2\pi (f_c + f_m) t - \frac{1}{4} A_c \beta \cos 2\pi (f_c - f_m) t$$

مانند سه مساهده سیگنالهای باندا برابر
با $2W$ می باشد.



$$\cos(\beta \sin 2\pi f_m t) = J_0(\beta) + \sum_{\text{زوج } n} 2J_n(\beta) \cos(2\pi n f_m t)$$

به ترتیب فوق تابع غیرخطی را به صورت مجموع هارمونیک های نویسیم گسی توانیم تبدیل فرماییم آنها را حساب کنیم

$$\sin(\beta \sin 2\pi f_m t) = \sum_{\text{فرد } n} 2J_n(\beta) \sin(2\pi n f_m t)$$

$$J_n(\beta) = \frac{1}{2\pi} \int_{-\pi}^{\pi} e^{j(\beta \sin \lambda - n\lambda)} d\lambda$$

نوع 1 از مرتبه n:

$J_n(\beta)$ به ازای مقادیر مختلف n، β در جدول قرار دارد.

$$x_c(t) = A_c \left[J_0(\beta) + \sum_{\substack{n=1 \\ \text{even}}} \gamma J_n(\beta) \cos n\omega_m t \right] \cos \omega_c t \\ - A_c \left[\sum_{\substack{n=1 \\ \text{odd}}} \gamma J_n(\beta) \sin n\omega_m t \right] \sin \omega_c t$$

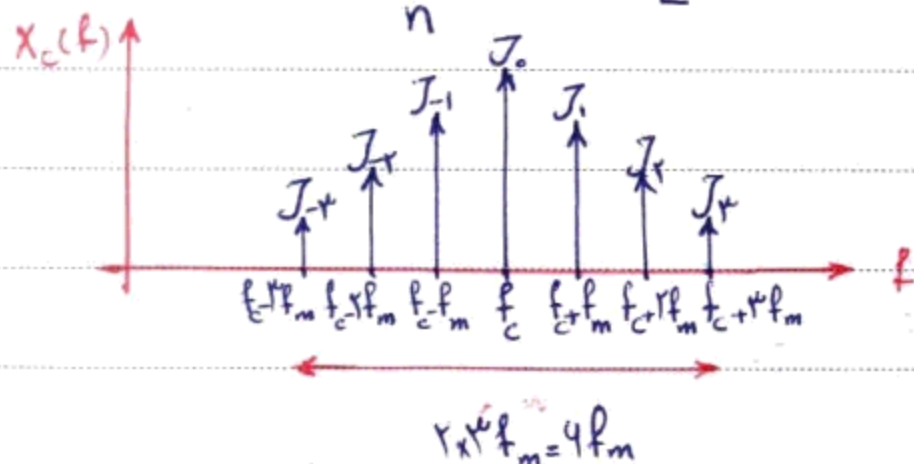
$$\Rightarrow x_c(t) = A_c J_0(\beta) \cos \omega_c t + A_c \sum_{\substack{n=1 \\ \text{even}}} J_n(\beta) [\cos(\omega_c - n\omega_m)t + \cos(\omega_c + n\omega_m)t]$$

$$- A_c \sum_{\substack{n=1 \\ \text{odd}}} J_n(\beta) [\cos(\omega_c + n\omega_m)t - \cos(\omega_c - n\omega_m)t]$$

$$J_{-n}(\beta) = (-1)^n J_n(\beta) \quad \text{: مبرهنه}$$

$$\Rightarrow x_c(t) = A_c \sum_{n=-\infty}^{\infty} J_n(\beta) \cos(\omega_c + n\omega_m)t$$

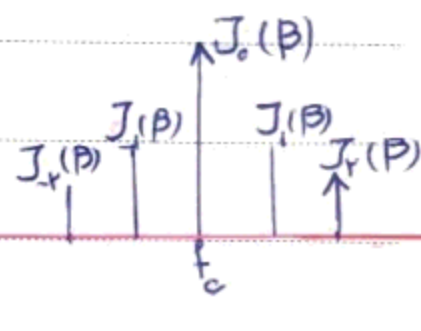
$$\Rightarrow X_c(f) = \frac{1}{2} A_c \sum_n J_n(\beta) [\delta(f - f_c - n f_m) + \delta(f + f_c + n f_m)]$$



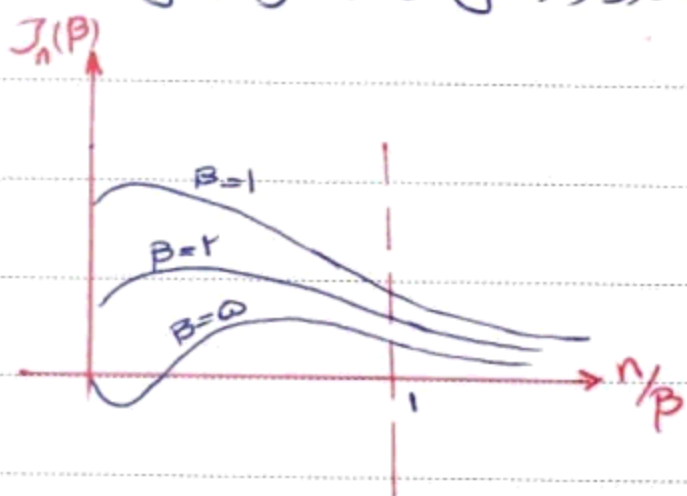
مدولاسیون پهنای باند:

$$x_c(t) = A \cos(2\pi f_c t + \varphi(t)) \rightarrow \begin{cases} \varphi(t) = \varphi_{\Delta} x(t) & \text{PM} \\ \varphi(t) = 2\pi f_{\Delta} \int_{-\infty}^t x(\tau) d\tau & \text{FM} \end{cases}$$

$$x_c(t) = A_c \sum_n \cos(2\pi f_c t + 2\pi f_m t) J_n(\beta)$$



سیگنال های FM و PM پهنای باند بیشتری به خود اختصاص داده اند
 مسأله دیگر اینست که در فرکانس حامل مقداری از اطلاعات خبر وجود دارد و ارسال آن به معنی ارسال خبر است



$$|n/\beta| \gg 1 \Rightarrow |J_n(\beta)| \rightarrow 0$$

$$|n/\beta| < 1 \Rightarrow n_{max} = \beta$$

$$\beta \gg 1$$

تقریب پهنای باند

$$B_T = 2\pi f_m = 2\beta f_m$$

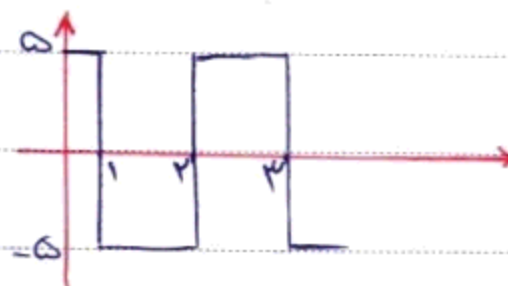
FM بین باند:

$$B_T = 2(\beta + 1) f_m$$

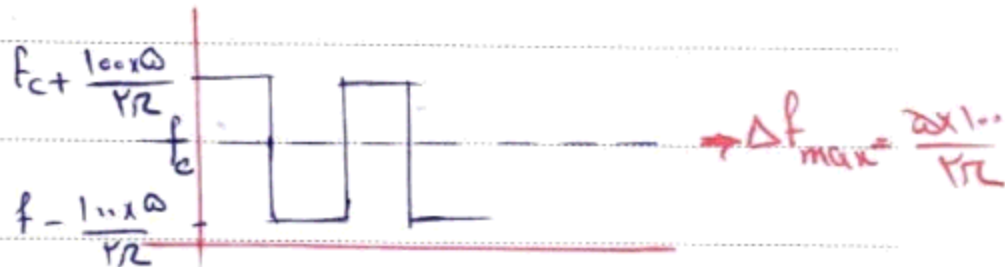
قانون کارلسون برای تقریب پهنای باند x_c :

$$x_c(t) = 100 \cos(2\pi f_c t + 100 \int m(\tau) d\tau)$$

θ_c



$$f(t) = \frac{1}{2\pi} \dot{\theta}_c = f_c + \frac{100}{2\pi} m(t)$$



Subject:

Year. Month. Date. ()

مثال:

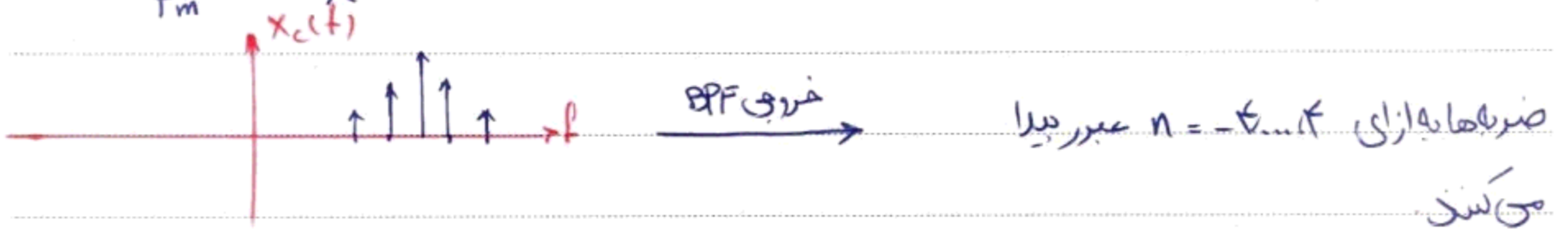
$$m(t) = 10 \cos 142t$$

$$x_c(t) = 10 \cos \left[f_{c0} 2\pi t + 2\pi f_{\Delta} \int_{-\infty}^t m(\tau) d\tau \right], f_{\Delta} = 10$$

سیگنال فوق را به یک BPF داده، می خواهیم ببینیم توان خروجی چند درصد توان سیگنال است.

BPF: $f_c = 3000$ BW = 42 Hz

$$\beta = \frac{f_{\Delta} A_m}{f_m} = \frac{10 \times 10}{142} = 7.04$$



$$P_o = \frac{10^2}{2} J_0^2(\beta) + 2 \sum_{i=1}^4 \frac{10^2}{2} J_i^2(\beta) = 13.15$$

$$|J_n(\beta)| = |J_{-n}(\beta)|$$

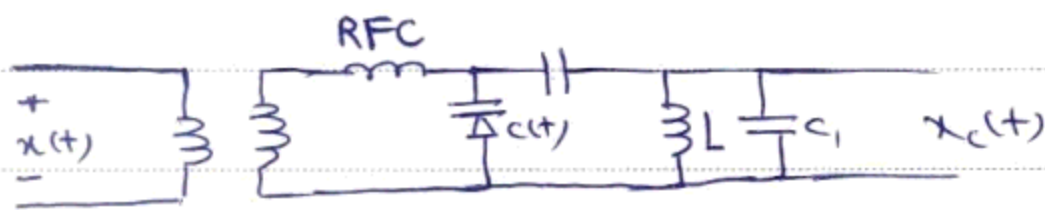
$$P_{\text{سیگنال ورودی}} = \frac{1}{2} A_c^2 = 50$$

$$\Rightarrow \frac{P_o}{P_c} \% = 24.3$$

تولید و آنتنارسازی سیگنال های FM, PM:

۱- روش مستقیم برای تولید سیگنال FM:

استفاده از VCO:



$$C(t) = C_0 - C x(t)$$

$$\dot{\theta}_c(t) = \frac{1}{\sqrt{LC(t)}} = \frac{1}{\sqrt{LC_0}} = \frac{1}{\sqrt{1 - C x(t)}}$$

$$\omega_c = \frac{1}{\sqrt{LC_0}} \quad \left| \frac{C}{C_0} x(t) \right| \ll 1$$

$$\dot{\theta}_c(t) = \omega_c \left(1 + \frac{C}{2C_0} x(t) \right) \quad f_{\Delta} = \frac{C}{2C_0} f_m \quad f_{\Delta} < 0.1 \omega_c$$

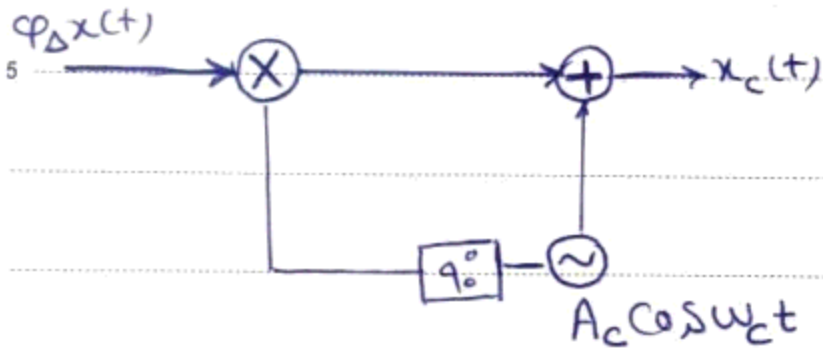
Subject :

Year. Month. Date. ()

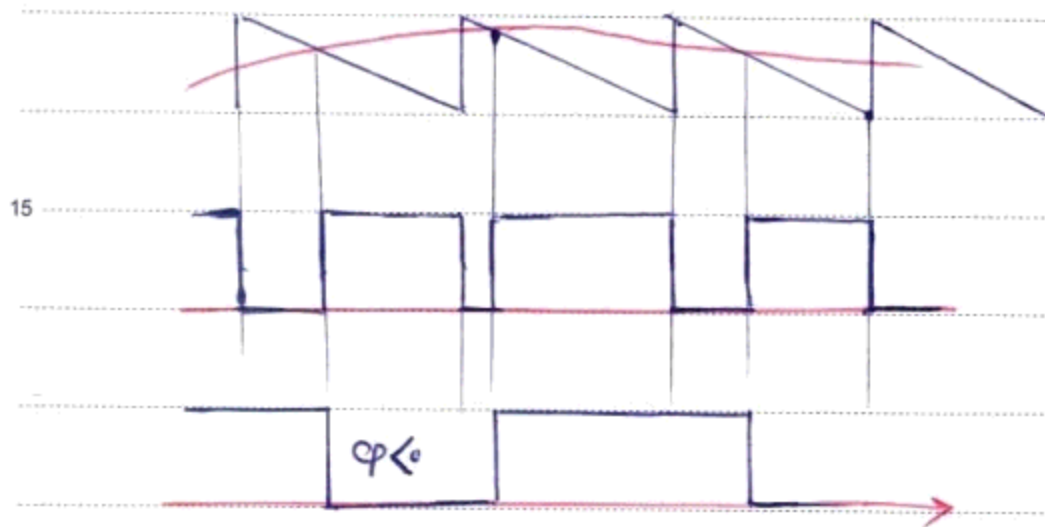
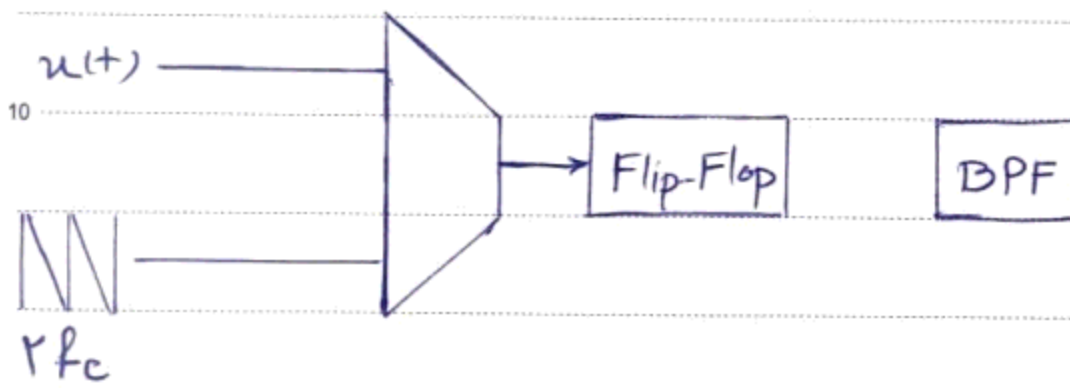
روش غیر مستقیم: مدولاتور فاز

$$x_c(t) = A_c \cos(2\pi f_c t - \underbrace{A_c \varphi(t)}_{\varphi_\Delta x(t)}) \sin(2\pi f_c t)$$

مدولاتور بازدارندگی:



مدولاتور فاز:



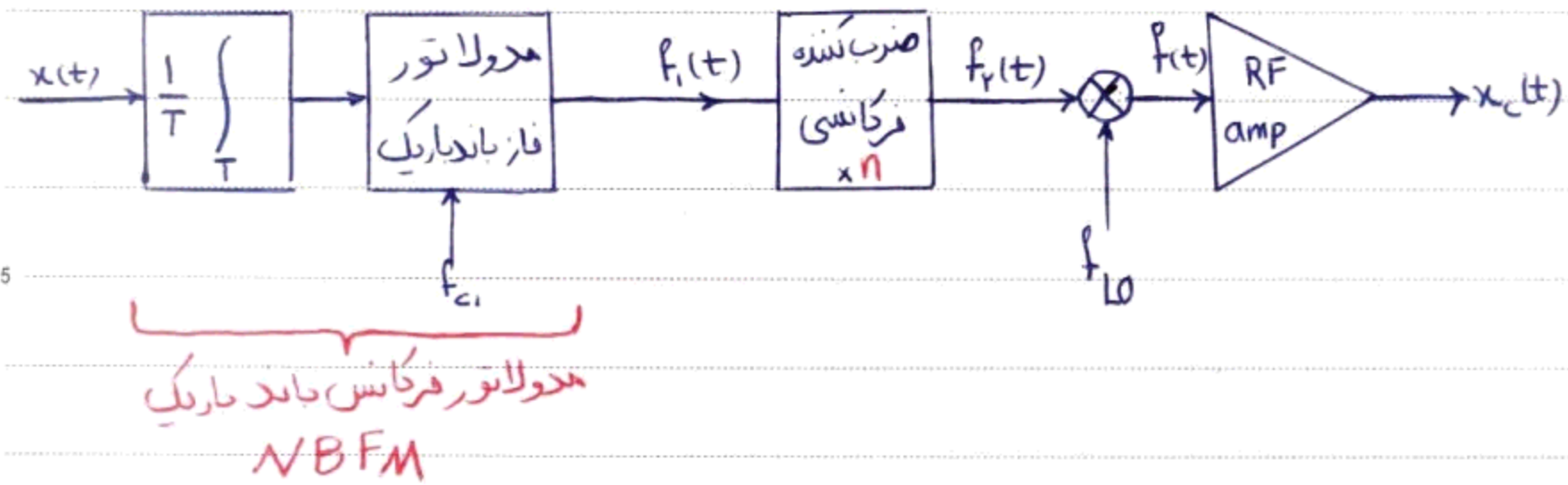
خروجی مقایسه

خروجی Flip-Flop

20

25

تولید و آشکارسازی سیگنال FM



در اینجا به جای مشاهده ی ضریب فرکانسی در هر مرحله، فرکانس لحظه ای هر بلوک را مشاهده می کنیم.
 می خواهیم در نهایت داشته باشیم:

$$f(t) = f_c + f_\Delta x(t)$$

$$\theta_1(t) = 2\pi f_{c1} t + \frac{\varphi_\Delta}{T} \int x(\tau) d\tau$$

$$f_1(t) = \frac{1}{2\pi} \dot{\theta}_1(t) = f_{c1} + \frac{\varphi_\Delta}{2\pi T} x(t)$$

$$f_r(t) \xrightarrow[\text{n ضرب می شود}]{\text{زاویه لحظه ای در n ضرب می شود}} n f_1(t) = n f_{c1} + \frac{n \varphi_\Delta}{2\pi T} x(t)$$

$f(t)$ می تواند در حالت مجموع یا تفاضل f_{LO} ، $f_r(t)$ داشته باشد پس:

$$\left\{ \begin{array}{l} f(t) = n f_{c1} + f_{LO} + \frac{n \varphi_\Delta}{2\pi T} x(t) \\ f(t) = n f_{c1} - f_{LO} + \frac{n \varphi_\Delta}{2\pi T} x(t) \end{array} \right. \rightarrow \left\{ \begin{array}{l} f_c = n f_{c1} \pm f_{LO} \\ f_\Delta = \frac{n \varphi_\Delta}{2\pi T} \end{array} \right.$$

از رابطه دوم n مشخص می شود و سپس در رابطه اول با توجه به f_{LO} ، f_c ، f_Δ ، n مشخص می گردد.

هدف: $f(t) = f_c + f_\Delta x(t)$

فیلتر RF یکی از فرکانس های لحظه ای را حذف و دیگری را برای ارسال مهیا می کند.

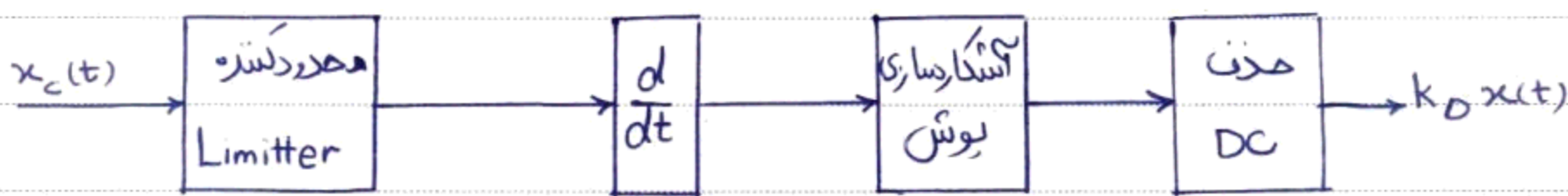
آستدارسازی فرکانسی:

حال می خواهیم اطلاعات خبر را از سیگنال مدوله شده دریافت کنیم.
 (در سیگنال مدوله شده اطلاعات در فاز وجود دارد و با مشتق گرفتن از آن اطلاعات خبر به دامنه منتقل می شود. با اینکار می توانیم با استفاده از آستدارسازی یوش اطلاعات را بازیابی کنیم.

جدول AM به FM: $x_c(t) = A_c \cos(\theta_c(t)) \Rightarrow \dot{x}_c(t) = -A_c \dot{\theta}_c(t) \sin(\theta_c(t))$

$$\theta_c(t) = 2\pi(f_c + f_\Delta x(t))$$

$$\dot{x}_c(t) = -2\pi A_c (f_c + f_\Delta x(t)) \sin(\theta_c(t))$$



دسته دیگری از آستدارسازها مشتق را با تقریب حساب می کنند. به این روش Phase-Shift discriminator

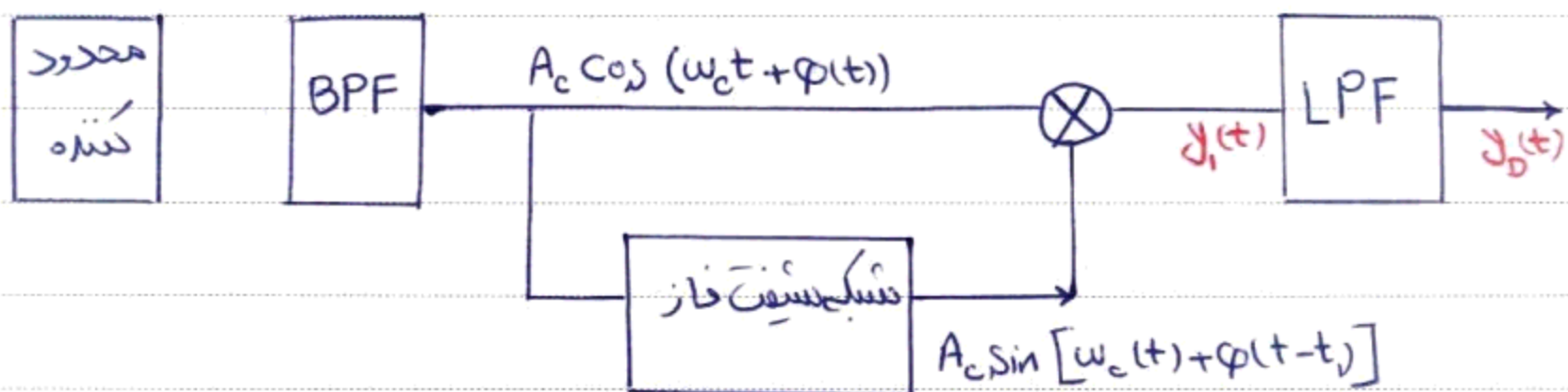
اساس این روش تقریب زدن مشتق به صورت معادل است.

$$\dot{V}(t) = \lim_{t_1 \rightarrow 0} \frac{V(t) - V(t-t_1)}{t_1}$$

FM: $\dot{\varphi}(t) = 2\pi f_\Delta x(t)$, $x_c(t) = A_c \cos(2\pi f_c t + \varphi(t))$

تقریب: $\varphi(t) - \varphi(t-t_1) = t_1 \dot{\varphi}(t) = 2\pi f_\Delta t_1 x(t)$

برای پیاده سازی $\varphi(t)$ و $\varphi(t-t_1)$ از ساختار زیر بدست می آید.



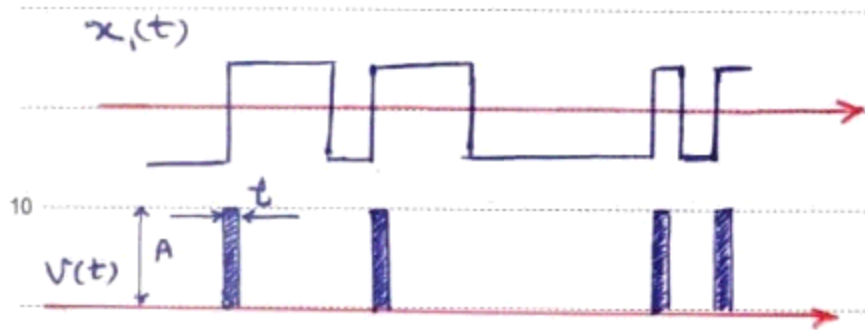
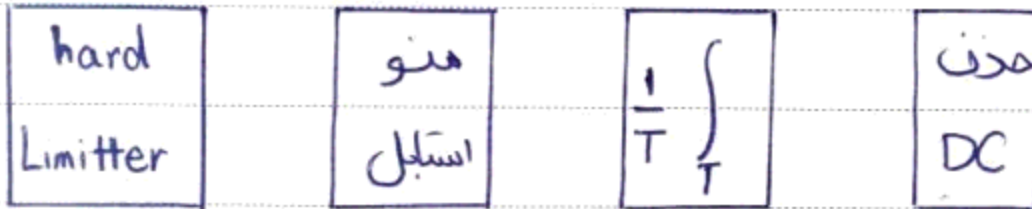
$$y(t) = \sin(2\pi f_c t + \varphi(t) + \varphi(t-t_1)), \sin(\varphi(t) - \varphi(t-t_1)) \approx \varphi(t) - \varphi(t-t_1)$$

$$y_D(t) \propto 2\pi f_\Delta t_1 x(t) \Rightarrow y_D(t) = k_D f_\Delta x(t)$$

Zero-Crossing

۳- آشکار ساز عبور از صفر :

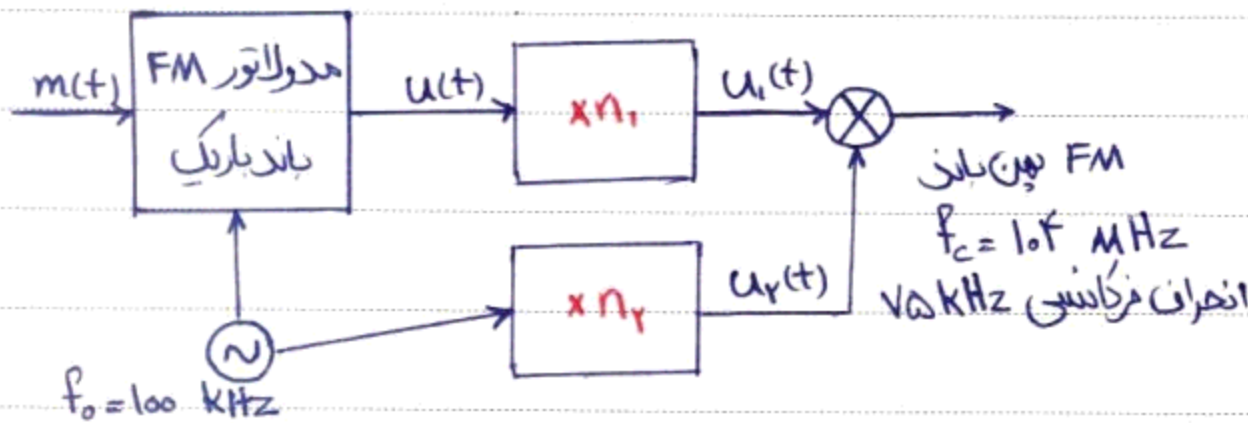
همای نادر در اینجا کاملاً متناوب و مابرجه قبل است در اینجا عبور از صفرها آشکار سازی می شود و با توجه به فواصل این عبور از صفرها فرکانس لحظه ای تعیین زده می شود.



$n_T = T f(t)$ تعداد پالس ها در یک دوره T

$$\frac{1}{T} \int_T v(t) dt = \frac{1}{T} n_T A \tau = \frac{1}{T} T f(t) A \tau = A \tau f(t) = A \tau (f_c + f_\Delta x(t)) \Rightarrow y(t) = k_D x(t)$$

* T متناسب با پهنای باند و غیر انتخاب می شود.



مثال :

$\beta_{FM} = A \cos 2\pi f_0 t$
 FM باند باریک: حداکثر انحراف زاویه ای از $\omega = 10 \text{ kHz}$

$n_1 = ? , n_2 = ?$

$$\left. \begin{aligned} u(t) &= A \cos(2\pi f_0 t + \varphi(t)) \\ y_1(t) &= A \cos(2\pi n_1 f_0 t + n_1 \varphi(t)) \\ y_2(t) &= A \cos(2\pi n_2 f_0 t) \end{aligned} \right\} \Rightarrow y(t) = \frac{A^2}{T} \cos(2\pi(n_1 + n_2)f_0 t + n_1 \varphi(t)) + \frac{A^2}{T} \cos(2\pi(n_1 - n_2)f_0 t + n_1 \varphi(t))$$

حدن : $y(t) = A \cos(2\pi f_c t + f_\Delta \varphi_1(t))$

Subject:

Year. Month. Date. ()

$$\left. \begin{array}{l} \text{FM: } \beta = \frac{f_{\Delta}}{W} \\ \text{نسبتی از } f_{\Delta} \text{ باندباریک} \end{array} \right\} \Rightarrow f_{\Delta} = 1 \times 15 = 15 \text{ KHz}$$

ابتدا استخوانی کنیم کدام یک از عملیات (+) را بکنیم داریم پس داریم:

$$75 = n_1 \times 15 \Rightarrow n_1 = 50$$

$$2\pi(n_1 + n_2) f_0 = 2\pi f_c \Rightarrow n_2 = 990$$

اگر بخواهیم در سگنال نهایی حداکثر انحراف مجاز در فرکانس حامل $\pm 2 \text{ Hz}$ باشد بر این اساس حداکثر انحراف مجاز در اسبیلاتور محلی مقدار است.

$$(n_1 + n_2) \Delta f_0 = \Delta f_{\text{مطلوب}} \Rightarrow \Delta f_0 = 0.0019 \text{ Hz}$$

5

15

20

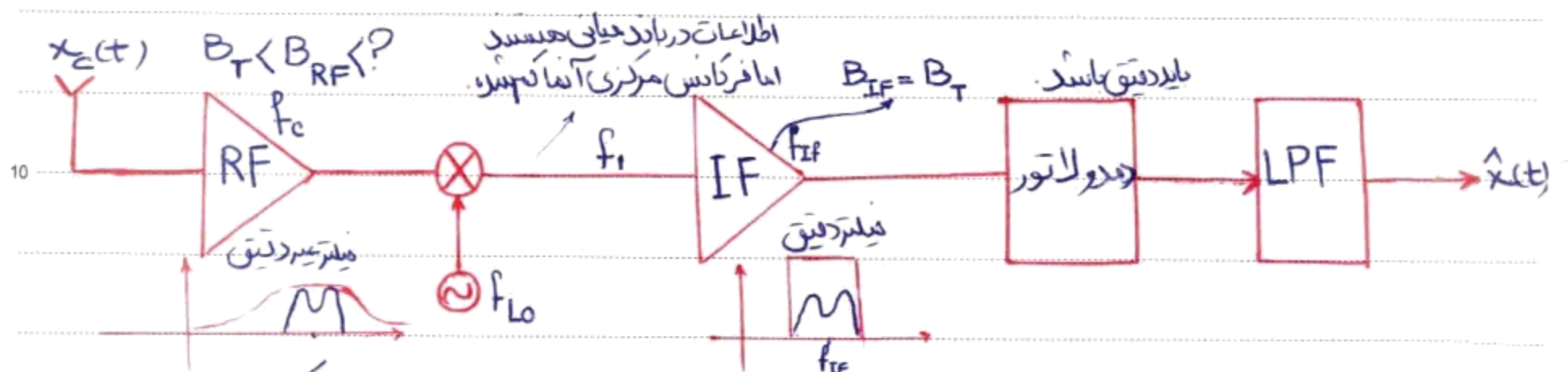
25

ساختار گیرنده‌ها در سیستم‌های مخابراتی (موج پیوسته)

گیرنده‌های جدیدکنشی (سوپر هترودین):

$x_c(t)$ سیگنالی مدوله شده که ارسال می‌شود. این سیگنال با باند فرکانسی خیلی بالاست.

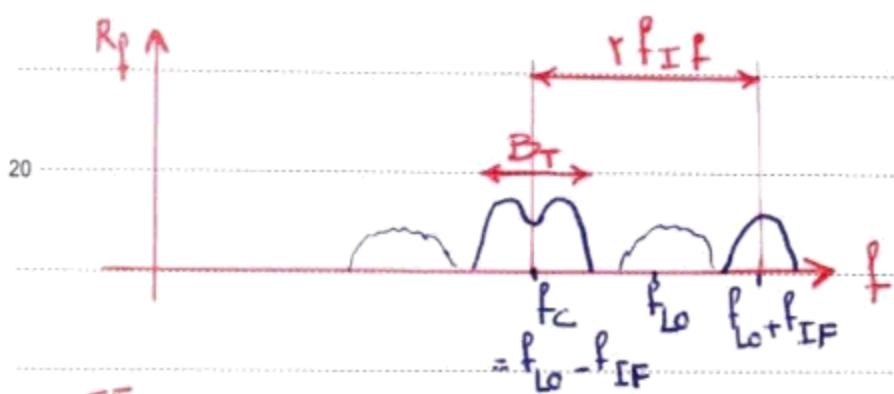
RF: هم فیلترینگ و هم تقویت را انجام می‌دهد.



مزیت این روش اینست که ما باید سخت‌افزار دقیق خود را برای کار در باند فرکانس پایین طراحی کنیم. فیلترینگ اول که غیر دقیق نباشد باعث می‌شود نویز در سیگنال کاهش یابد.

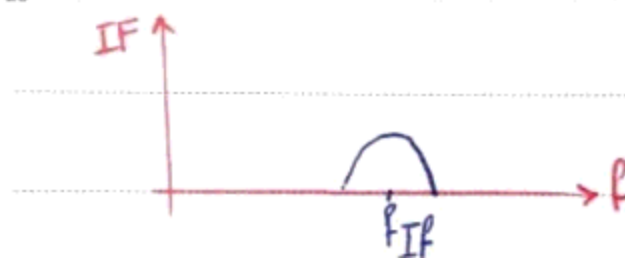
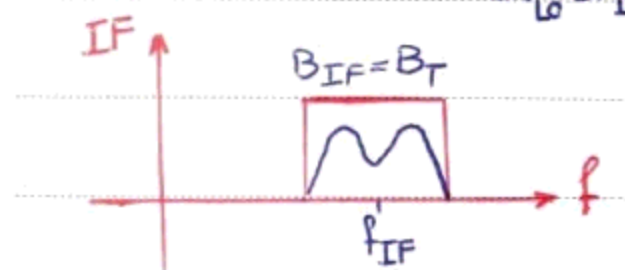
این فرکانس را می‌خواهیم چون سیگنال باید به فرکانس مرکزی کمتر از f_c برود.
 این فرکانس را به عنوان f_{IF} انتخاب می‌کنیم.

$$f_c = f_{Lo} - f_{IF} \rightarrow f_{IF} = f_{Lo} - f_c$$



بنابراین اگر شرط $B_{RF} < 2f_{IF}$ را بگذاریم آنگاه فرکانس‌های موجود در $f_{Lo} + f_{IF}$ هنگام ضرب شدن در کسینوس به f_{IF} منتقل شده و تداخل ایجاد می‌شود.

هرچه f_{IF} بیشتر باشد فاصله خیر تا تصویر بیشتر شده و در نتیجه فیلترینگ راحت‌تر خواهد شد.



f'_c : فرکانس تصویر
 $f'_c = f_{Lo} + f_{IF} = f_c + 2f_{IF}$

Subject:

Year. Month. Date. ()

مثال: گیرنده FM سوپر هتروداین: 10.7 - 11 MHz

$$M < f_c < 10.7 \text{ MHz}$$

f_c خارج محدوده فوق باشد. حداقل f_{IF} و محدوده تغییرات f_{LO} ؟

$$f_c \notin [M, 10.7] \Rightarrow M + 2f_{IF} > 10.7 \Rightarrow f_{IF} > 10 \text{ MHz}$$

$$f_{LO} = f_c + f_{IF} \Rightarrow 11 + 10 < f_{LO} < 10.7 + 10 \Rightarrow 21 \text{ MHz} < f_{LO} < 20.7 \text{ MHz}$$

نویز:

مناحت نویز:

احتمال و متغیرهای تصادفی:

پیشامد تصادفی آزمایشی است که نمی توان مقدار قطع، یعنی آن را از قبل بیان کرد.

پیشامد (رخداد): Event:

نتیجه ای است که در هر بار انجام یک آزمایش تصادفی ممکن است حاصل شود.

$$P_A = \frac{N_A \rightarrow \text{تعداد دفعاتی که } A \text{ پیش آمده}}{N \rightarrow \text{تعداد دفعات انجام آزمایش}}$$

نتیجه ممکن
آزمایش

تئوری احتمال:

تمام پیشامدهای ممکن

$$S = \{S_i\}$$

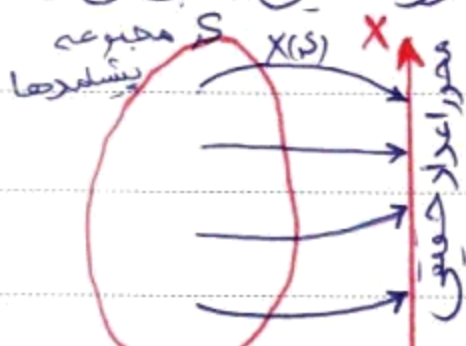
شرط ها

$$\left\{ \begin{array}{l} 1) P(S_i) > 0 \\ 2) P(S) = 1 \\ 3) P(A_1 + A_2) = P(A_1) + P(A_2) \end{array} \right.$$

اگر A_1 و A_2 اشتراکی نداشته باشند

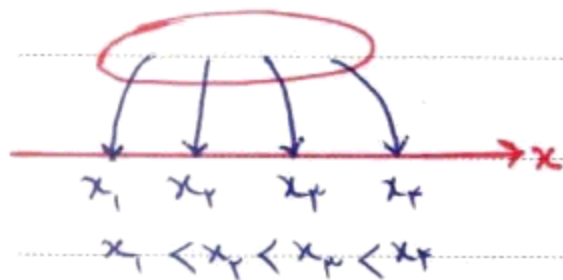
متغیر تصادفی:

ضابطه ای است که به هر نتیجه ممکن یک آزمایش تصادفی، یک عدد حقیقی نسبت می دهد.



$$P(X = +\infty) = P(X = -\infty) = 0$$

انواع متغیرهای تصادفی:

الف) متغیر تصادفی گسسته: اگر فضای S دارای تعداد اعضای قابل شمارش باشد.

$$F_X(x) = P(X \leq x)$$

تابع توزیع تجمعی برای متغیر تصادفی x : CDF

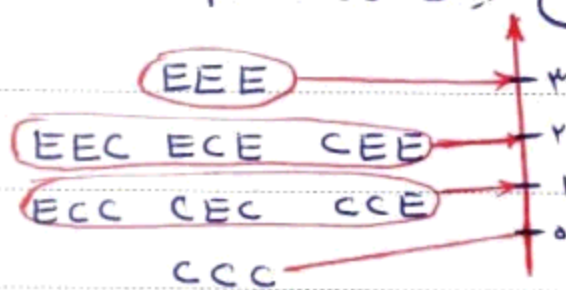
$$\text{خواص} \rightarrow \begin{cases} 0 \leq F_X(x) \leq 1 \\ F_X(-\infty) = 0 \\ F_X(+\infty) = 1 \end{cases}$$

با استفاده از تابع توزیع تجمعی می‌توانیم احتمال هر پیوستگی را حساب کنیم.

$$P(X > x) = 1 - F_X(x)$$

$$P(a < X \leq b) = F_X(b) - F_X(a)$$

مثال: احتمال ایجاد خطا در هر بیت مستقل از سایر بیت‌ها است، احتمال خطا برابر با $\frac{1}{5}$ است. حال بیجا سی ۳ بی‌بی را ارسال می‌کنیم. می‌خواهیم اطلاعات دریافتی را از لحاظ نوع دریافت بررسی کنیم.



$$P(X=0) = \left(\frac{3}{5}\right)^3$$

$$P(X=1) = 3 \times \frac{1}{5} \times \left(\frac{3}{5}\right)^2$$

$$P(X=2) = 3 \times \left(\frac{1}{5}\right)^2 \times \frac{3}{5}$$

$$P(X=3) = \left(\frac{1}{5}\right)^3$$

$$F_X(\cdot) = P(X \leq 0) = P(X=0) = \left(\frac{3}{5}\right)^3$$

$$F_X(1) = P(X \leq 1) = P(X=0) + P(X=1)$$

$$F_X(2) = P(X \leq 2) = P(X=0) + P(X=1) + P(X=2) = 1 - P(X=3)$$

$$F_X(3) = 1$$

Subject:

Year. Month. Date. ()

ب) متغیر تصادفی پیوسته:

این متغیر می تواند هر عددی در روی محور حقیقی به خود اختصاص دهد.

$$F_x(x) = P(X \leq x)$$

x متغیری پیوسته است.

$$P(x=a) = 0$$

تابع چگالی احتمال PDF:

$$f_x(x) = \frac{dF_x(x)}{dx}$$

PDF تابعی غیرمنفی است که سطح زیر آن! بوده و سطح زیر آن در بازه $[a, b]$ احتمال رخداد پیشامد در آن

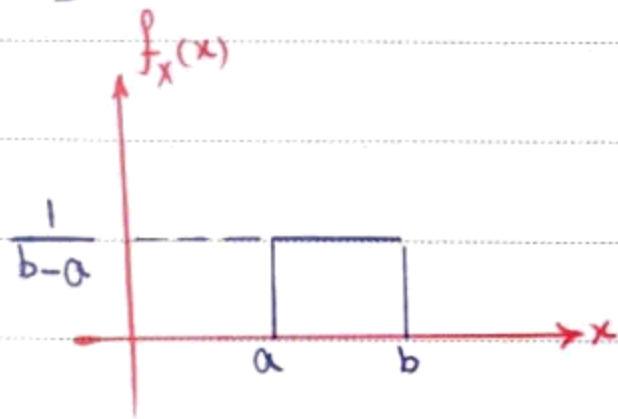
بازه است.

$$1- P(X \leq x) = \int_{-\infty}^x f_x(\lambda) d\lambda$$

$$2- f_x(x) \geq 0$$

$$3- P(a \leq x \leq b) = \int_a^b f_x(\lambda) d\lambda$$

$$4- \int_{-\infty}^{\infty} f_x(\lambda) d\lambda = 1$$



- متغیر با توزیع دلخواه:

اگر دو متغیر تصادفی X و Y همزمان قابل مشاهده باشند: تابع توزیع مشترک

$$F_{xy}(x, y) = P(X \leq x, Y \leq y)$$

$$f_{xy}(x, y) = \frac{\partial^2 F_{xy}(x, y)}{\partial x \partial y}$$
$$P(a \leq x \leq b, c \leq y \leq d) = \int_c^d \int_a^b f_{xy}(\lambda, \nu) d\lambda d\nu$$

Subject:

Year. Month. Date. ()

$$f_{XY} = f_X(x) f_Y(y)$$

الرمبندجهای X, Y وابسته باشند می توانیم تابع زیر را تعیین کنیم.

$$f_{Y|X}(y|x) = \begin{cases} \frac{f_{XY}(x,y)}{f_X(x)} & f_X(x) \neq 0 \\ 0 & f_X(x) = 0 \end{cases}$$

5

$$F_X(x) = F_{XY}(x, +\infty)$$

$$F_Y(y) = F_{XY}(+\infty, y)$$

$$f_X(x) = \int_{-\infty}^{\infty} f_{XY}(x, \lambda) d\lambda$$

10. به این تابع چگالی احتمال، PDF کناری می گویند.

$$\int_{-\infty}^{\infty} \int_{-\infty}^{\infty} f_{XY}(x,y) dx dy = 1$$

$X, f_X(x)$

میانگین آماری:

$$E(X) = \int_{-\infty}^{\infty} x f_X(x) dx$$

میان اول

$$E(X^n) = \int_{-\infty}^{\infty} x^n f_X(x) dx$$

میان n -ام

$$\text{Var}(X) = E((X - E(X))^2) = E(X^2) - E^2(X)$$

20

$$E(g(x)) = \int_{-\infty}^{\infty} g(x) f_X(x) dx$$

$$E(cX) = cE(X)$$

$$E(c+X) = c + E(X)$$

25

$$\text{Var}(cX) = c^2 \text{Var}(X)$$

$$\text{Var}(c+X) = \text{Var}(X)$$

تابع مشخصه:

$$\varphi_X(v) = E(e^{jvX}) = \int_{-\infty}^{\infty} e^{jvX} f_X(x) dx$$

$$\Rightarrow \varphi_X(j\omega t) = F^{-1}\{f_X(f)\}$$

$v = j\omega t$
 $x = f$

مثال: می خواهم تابع چگالی احتمال برای Z به دست آورم.
 $Z = X + Y$, $f_Y(y)$, $f_X(x)$ هم مستقل از هم.

$$\varphi_Z(v) = E(e^{jvZ}) = E(e^{jvX} e^{jvy}) \xrightarrow[\text{استقلال}]{\text{باتوجه به شرط}} E(e^{jvX}) E(e^{jvy}) \rightarrow$$

$$\varphi_Z(v) = \varphi_X(v) \varphi_Y(v) \Rightarrow f_Z(\lambda) = f_X(\lambda) * f_Y(\lambda)$$

کواریانس (هم پراکنی):

$$E(X) = m_x \Rightarrow \text{Cov}(X, Y) = E[(X - m_x)(Y - m_y)]$$

$$E(Y) = m_y$$

$$P_{XY} \text{ ضریب همبستگی} = \frac{\text{Cov}(X, Y)}{\sigma_X \sigma_Y}$$

$$\begin{cases} \sigma_X^2 = \text{var}(X) \\ \sigma_Y^2 = \text{var}(Y) \end{cases}$$

شرط نامعینیت بودن: $\text{Cov}(X, Y) = 0 \Rightarrow E(XY) = E(X)E(Y)$
شرط مستقل بودن: $f_{XY}(x, y) = f_X(x) f_Y(y)$

فرض کنیم برای متغیر تصادفی X ، تابع چگالی احتمال $f_X(x)$ را داشته باشیم. حال می خواهم برای $Y = g(X)$ تابع چگالی احتمال را بدست آورم.

$$f_Y(y) = f_X(x) \left| \frac{dx}{dy} \right| \Rightarrow f_Y(y) = f_X(g^{-1}(y)) \left| \frac{d g^{-1}(y)}{dy} \right|$$

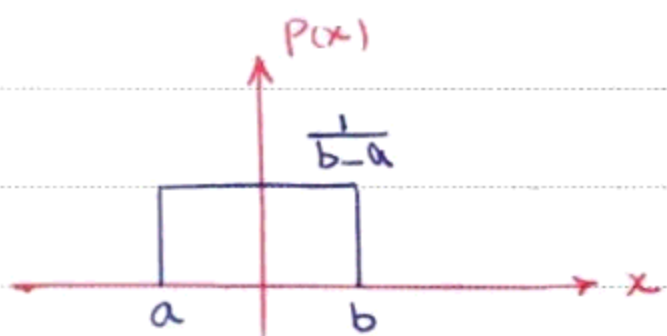
امتحان میانترم : چهارشنبه ۱۹/۹/۱۷

در نوشتن از این به بعد به جای $f_x(x)$ از $P(x)$ استفاده می‌کنیم.
 برای ساده‌سازی، از تابع $P(x)$ به جای $f_x(x)$ استفاده می‌کنیم.
 همچنین برای PDF توأم از $P(x, y)$ استفاده می‌کنیم.

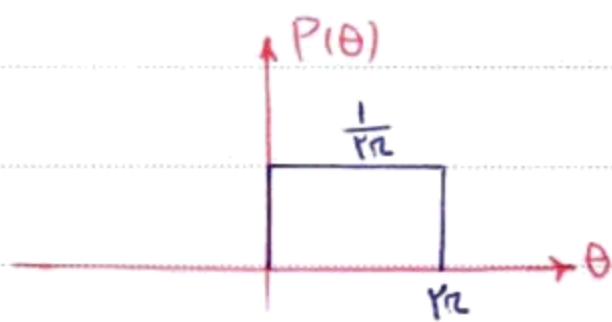
- به تعداد دیده‌های موجود در طبیعت، تابع‌های احتمالی داریم.

تابع‌های احتمالی مهم :

۱) PDF یکنواخت (Uniform PDF) :



مصادیق این حالت، روشن کردن سگنال رادار است که در هر حالت ما باید فاز را به خاص بسنجیم را می‌بینیم.



$$x = x_1 + x_2 \quad \left. \begin{array}{l} \downarrow \quad \downarrow \\ P_1(x_1) \quad P_2(x_2) \end{array} \right\} \rightarrow P(x) = P_1(x) * P_2(x)$$

Central limit theorem

نظریه حد مرکزی.

این نظریه می‌گوید اگر بینهایت تابع مثبت را با هم کانونال کنیم، آنگاه حاصل تابعی گوسی خواهد

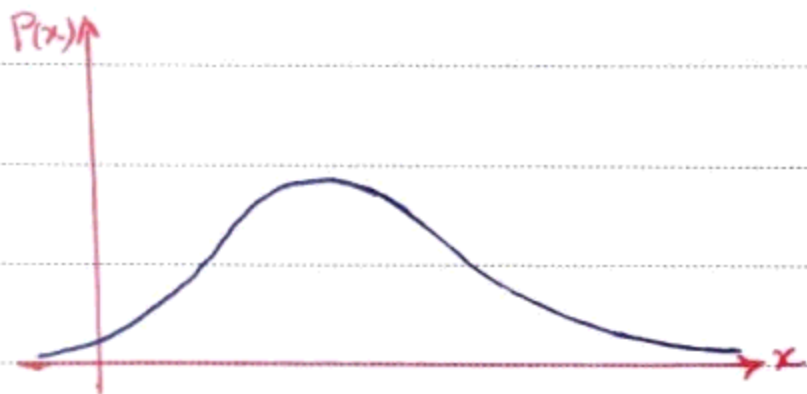
بود.

آر پی دی ای مجموع بینهایت دیده مستقل باشد، آنگاه آن دیده توزیع گوسی دارد.

$$P(x) = \frac{1}{\sigma\sqrt{2\pi}} e^{-\frac{(x-\bar{x})^2}{2\sigma^2}}$$

PDF گوسی:

PDF گوسی ← یعنی بینهایت متغیر مستقل با هم جمع شده و این گونه PDF را شکل داده اند



کانولوشن عملی نرم کننده است

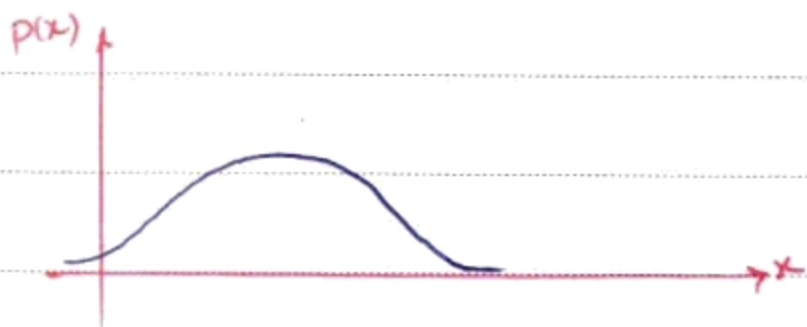
تکلیف: تئوری حد مرکزی را با انتخاب تعدادی تابع حثیت و رسم کانولوشن آنها بررسی کنید

مصدات: افتادن بزرگ از رخت های موجود در یک باغ هر کدام از این بزرگ ها مستقل از بقیه ممکن

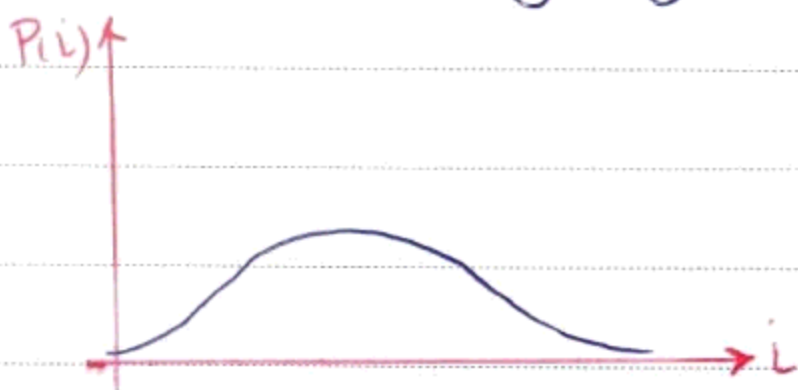
$$x = x_1 + x_2 + \dots$$

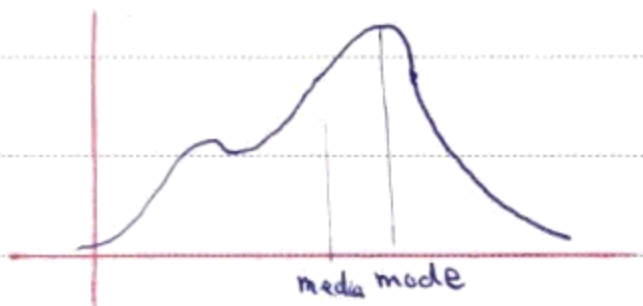
بزرگ شماره!

است بیفتد یا نیفتد



مصدات: در مقاومتی که هیچ بزرگ میلان الکترونی یا مغناطیسی وجود ندارد، جریان تابعی گوسی است زیرا از حرکت بینهایت الکترون بوجود آمده و این الکترون مستقل از سایر الکترون ها حرکت میکنند





در PDF گوسی mean, media, mode منطبق هستند.

mode: نقطه مربوط به ماکزیمم PDF

media: محلی که سطح زیر منحنی را نصف می کنند

mean: امید متغیر

۳- PDF رالی:

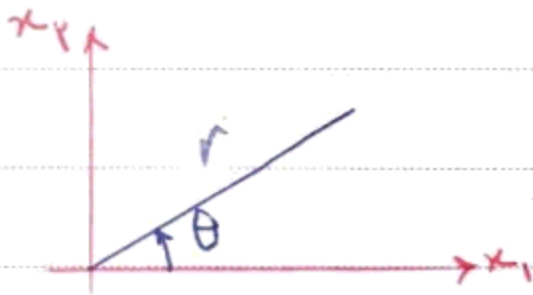
فرض می کنیم دو متغیر x_1, x_2 را داریم که خواص زیر را دارند.

۱- مستقل از هم هستند

۲- گوسی شکل هستند

۳- $E\{x_1\} = E\{x_2\} = 0$

۴- $\sigma_{x_1} = \sigma_{x_2} = \sigma$



حال متغیر r, θ را به صورت زیر انتخاب می کنیم:
 $r = \sqrt{x_1^2 + x_2^2}$
 $\theta = \arctan \frac{x_2}{x_1}$
 در واقع متغیر به صورت $z = x_1 + jx_2$ را تقریب می کنیم.

حال بی خواص PDF مربوط به r, θ است.

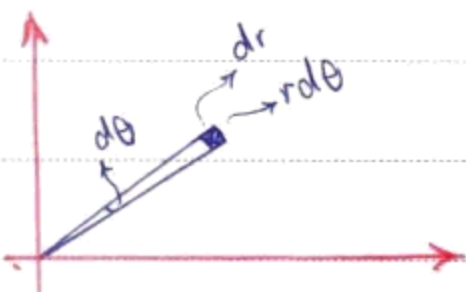
ذکارت نک نک است یعنی هر x_1, x_2 یک z باید θ می دهد برعکس

پس اگر با احتمال $1/2$ ، $x_1 \approx 1$ ، $x_2 \approx 2$ باشد آنگاه با احتمال $1/2$ ، $r \approx \sqrt{5}$ ، $\theta \approx \arctan 2$ و برعکس.

به شرط اینکه x_1, x_2, r, θ در روابط فوق صدق کنند:

حال ارتباط بین المان های سطح را بدست می آوریم.

$$dx_1 dx_2 = r dr d\theta$$



$$dx_1 dx_2 = r dr d\theta$$

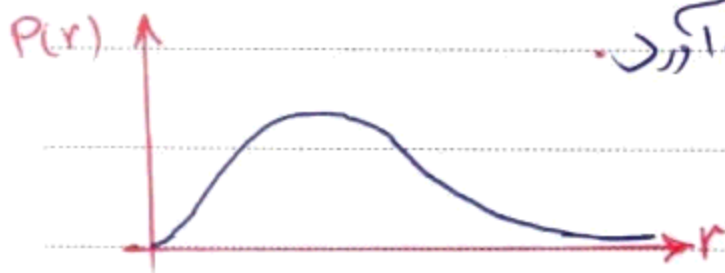
$$P(x_1, x_2) = P(x_1) P(x_2) = \frac{1}{\sigma \sqrt{2\pi}} e^{-\frac{x_1^2}{2\sigma^2}} \frac{1}{\sigma \sqrt{2\pi}} e^{-\frac{x_2^2}{2\sigma^2}} = \frac{1}{\sigma^2 2\pi} e^{-\frac{1}{2\sigma^2}(x_1^2 + x_2^2)}$$

$$\Rightarrow \frac{1}{2\pi\sigma^2} e^{-\frac{r^2}{2\sigma^2}} r dr d\theta = P(r, \theta) dr d\theta \Rightarrow P(r, \theta) = \frac{r}{2\pi\sigma^2} e^{-\frac{r^2}{2\sigma^2}}$$

$$P(\theta) = \int_0^{\infty} P(r, \theta) dr = \frac{1}{2\pi}$$

$$P(r) = \int_0^{2\pi} P(r, \theta) d\theta = \int_0^{2\pi} \frac{r}{2\pi\sigma^2} e^{-\frac{r^2}{2\sigma^2}} d\theta = \frac{r}{\sigma^2} e^{-\frac{r^2}{2\sigma^2}}$$

تکلیف: mean, mode, media تابع توزیع رالی را بدست آورد.



15 **مصادیق:** وزن تیربازندگان x, و هر کدام دارای PDF گوسی هستند زیرا بینهایت عامل در محل آنها تأثیر دارند و در نتیجه دارای توزیع گوسی هستند بنابراین r حاصل دارای توزیع رالی, و دارای توزیع تکینوخت است.

19 اگر بتوانیم اثبات کنیم که $P(x, y) = P(x)P(y)$ را داریم آنگاه می توانیم بگوییم x و y مستقل از هم هستند. برای اثبات رابطه فوق $P(x), P(y)$ را از روی انشغال گیری بدست آورد و بعد مقایسه می کنیم که آیا حاصل ضربشان برابر با $P(x, y)$ است یا نه.

اگر رابطه $E\{xy\} = E\{x\}E\{y\}$ برقرار باشد آنگاه می توانیم بگوییم x و y ناهمبسته هستند.

25 **نشان دهید که اگر دو متغیر تصادفی مستقل از هم باشند، حتماً ناهمبسته هم هستند ولی عکس قضیه صادق است برای متغیرهای تصادفی گوسی.**

شود که اگر دو متغیر گوسی ناهمبسته باشند آنگاه مستقل نیز هستند.

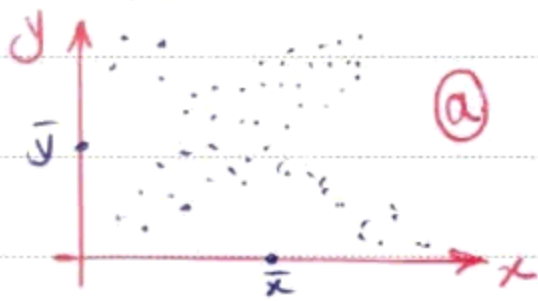
علت اینکه سراغ ناهمبستگی بودن می رویم اینست که شرایط برقراری استقلال بسیار سخت است و معمولاً حاصل نمی شود.

$$\text{Cov}(x, y) = \Delta E \{ (x - \bar{x})(y - \bar{y}) \} = \bar{xy} - \bar{x}\bar{y}$$

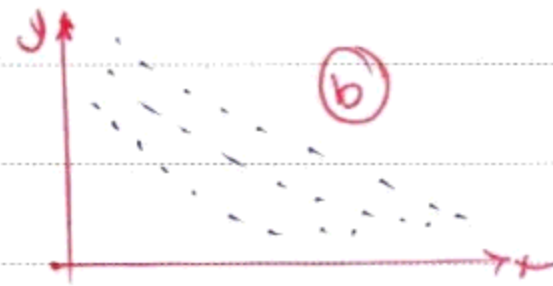
دو متغیر تصادفی x و y را انتخاب می کنیم.

$$\begin{cases} x = \text{معدل دیررسان} \\ y = \text{تعداد حقایق آغوش خوب در زمان دکتری} \end{cases}$$

همه فرد از بین افراد یک x و یک y دارد. برای هر فرد در صفحه $y-x$ یک نقطه داریم.



$$\begin{cases} x = \text{تعداد غیبت هاد کلاس} \\ y = \text{معدل} \end{cases}$$



$$\begin{cases} x = \text{نمره کفایت} \\ y = \text{معدل دیررسان} \end{cases}$$



a: بین x ها معدل گرفته و بین y ها نیز معدل می گیریم. نتیجه مقابل را داریم.

$$\text{در اکثر موارد} \rightarrow \begin{cases} x > \bar{x} \\ y > \bar{y} \end{cases}$$

دنبال این در اکثر موارد $(x - \bar{x})(y - \bar{y})$ عددی مثبت است و در نتیجه Cov نیز مثبت است یعنی اگر x رو به افزایش است به احتمال خیلی زیاد y نیز رو به افزایش است.

$$\text{در اکثر موارد} \rightarrow \begin{cases} x < \bar{x} \\ y < \bar{y} \end{cases}$$

$$E \{ (x - \bar{x})(y - \bar{y}) \} < 0$$

b:

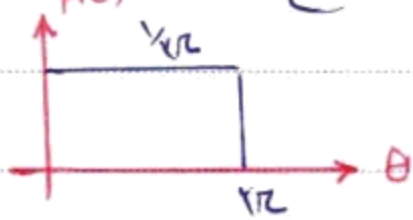
$$E \{ (x - \bar{x})(y - \bar{y}) \} = 0$$

در صورتی که x و y از هم مستقل هستند اگر هر دو تابع x و y ناممکن باشند.

مثال: دو متغیر تصادفی x و y به صورت زیر در نظر بگیریم که θ یک توزیع یکنواخت دارد. می خواهیم ثابت کنیم که x و y مستقل نیستند و ناممکن می باشند.

$$x = \cos \theta$$

$$y = \sin \theta$$



$$\bar{x} = E\{\cos \theta\} = \int_0^{2\pi} \cos \theta p(\theta) d\theta = 0$$

$$\bar{y} = E\{\sin \theta\} = \int_0^{2\pi} \sin \theta p(\theta) d\theta = 0$$

$$\overline{xy} = E\{\sin \theta \cos \theta\} = \frac{1}{2} E\{\sin 2\theta\} = \frac{1}{2} \int_0^{2\pi} \sin 2\theta p(\theta) d\theta = 0$$

$$\Rightarrow \bar{xy} = \bar{x} \bar{y}$$

$$\Rightarrow \text{cov}(x, y) = 0$$

تحقیق کنید که دو متغیر مستقل نیستند.

$$1) \quad x^2 + y^2 = 1 \quad \leftarrow \text{دری لاتیدی ایطاری بند} \quad \leftarrow \text{دو متغیر مستقل نیستند}$$

$$2) \quad \text{PDF مربوطه } x \text{ و } y \text{ را بدست می آوریم سپس نشان می دهیم که } f(x, y) \neq f(x) f(y)$$

دانش یاسیم

برای اینکه معیاری از بزرگی یا کوچکی ضریب کواریانس را بصورت زیر تعریف می کنیم:

$$-1 \leq \rho = \frac{\text{cov}(x, y)}{\sigma_x \sigma_y} \leq 1$$

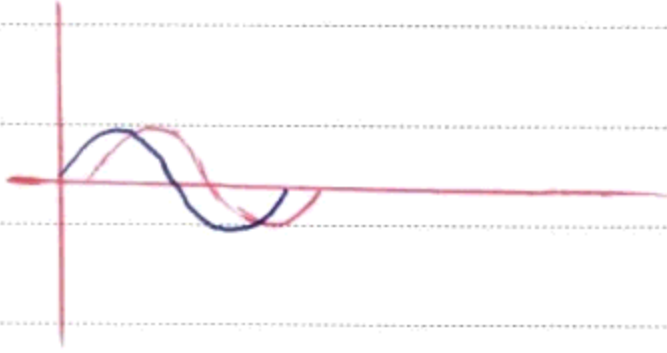
اثبات کنید:

اگر $\rho = 1$ باشد آنگاه رابطی بین x و y کاملاً خطی می شود

$$|\rho| \leq 1 \Rightarrow \begin{cases} |\rho| \rightarrow 1 : \text{ بین } x \text{ و } y \text{ رابطی خطی ایجاد می شود.} \\ |\rho| \rightarrow 0 : \text{ } x \text{ و } y \text{ نسبت به هم بی ربط می روند.} \end{cases}$$

فرآیندهای تصادفی (فرآیندهای استوکاستیک):

$$\cos(\omega t + \theta)$$



فرض کنیم سیگنال متقابل توسط امپلاتور تولید شده است.
 θ نیز دارای توزیعی به صورت $P(\theta)$ می باشد.
 5. با توجه به مقدار θ ما می توانیم بی نهایت سیگنال تولیدی داشته باشیم. و این سیگنال ها خانواده می نویسیم و به هر کدام از توابع تک تابع نمونه یا Sample Function می نویسیم. به مجموعه نیز خانواده یا Ensemble می نویسیم.

10. مقدار تابع در لحظه t به صورت $\cos(\omega t + \theta)$ است.

فرآیند

فرآیند استوکاستیک تک تابع زمانی است که در هر لحظه از زمان تک متغیر تصادفی می دهد.

15. تک فرآیند استوکاستیک به صورت $x(t, \omega)$ نشان می دهیم.

- اگر مقدار ω برای ما معلوم شود، آنگاه $x(t, \omega)$ تک تابع معلوم می شود.

- اگر t را مشخص کنیم آنگاه باید متغیر تصادفی مواجیم یعنی $x(t, \omega)$ متغیری تصادفی است.

• اگر t و ω را هر دو معلوم کنیم، باید عدد مواجیم.

فرآیند استوکاستیک در مینستیک فرآیندی است که اگر در تک لحظه مقدار تابع را بدانیم می توانیم تابع را به طور کامل مشخص کنیم. مثلاً در مورد تابع $\cos(\omega t + \phi)$ اگر مقدار ϕ را در تک لحظه بدانیم، می توانیم تابع را به طور مشخص بدست آوریم.

برای نشان دادن مقدار dc از نمایش $\langle g(t) \rangle$ استفاده می‌کنیم

$$\langle g(t) \rangle = \lim_{T \rightarrow \infty} \frac{1}{T} \int_{-T/2}^{T/2} g(t) dt$$

برای توابع متناوب، \lim برداشته می‌شود و برای T نیز T قرار می‌گیرد.

مقدار متوسط $x(t, s)$ برابر میانگین آماری تمام dc های توابع مختلف است.

فرض می‌کنیم فرکانس تصادفی $x(t, s)$ داریم که s دارای توزیع $p(s)$ است.

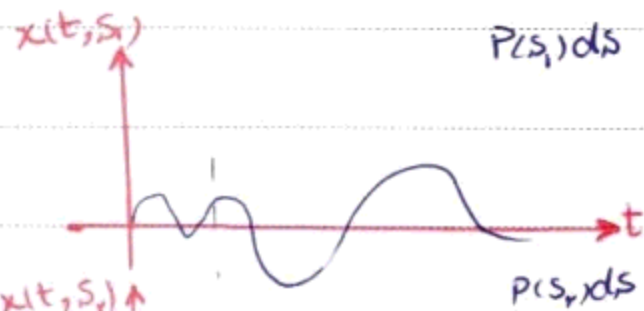
احتمال	تابع نمونه	مقدار dc
$p(s_1) ds$	$x(t, s_1)$	$\langle x(t, s_1) \rangle = \lim_{T \rightarrow \infty} \frac{1}{T} \int_{-T/2}^{T/2} x(t, s_1) dt$

$p(s_2) ds$	$x(t, s_2)$	$\langle x(t, s_2) \rangle$
-------------	-------------	-----------------------------

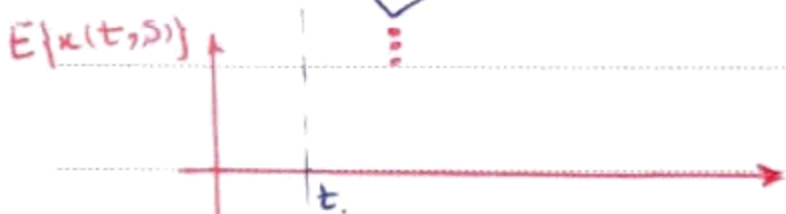
$p(s_n) ds$	$x(t, s_n)$	$\langle x(t, s_n) \rangle$
-------------	-------------	-----------------------------

$$d.c \triangleq E \left\{ \underbrace{\langle x(t, s) \rangle}_{\text{تابع } s \text{ است}} \right\} = E \left\{ \lim_{T \rightarrow \infty} \frac{1}{T} \int_{-T/2}^{T/2} x(t, s) dt \right\} = \int_{\text{کلیه } s} \left[\lim_{T \rightarrow \infty} \frac{1}{T} \int_{-T/2}^{T/2} x(t, s) dt \right] p(s) ds$$

می‌توان گفت امید dc برابر با dc تابع امید می‌باشد یعنی:



در لحظه t از تمام مقدار متغیرها معدل گرفته و در $E\{x(t, s)\}$ قرار می‌دهیم.



dc تابع معدل
معدل همه dc های ممکن

$$E \left\{ \lim_{T \rightarrow \infty} \frac{1}{T} \int_{-T/2}^{T/2} x(t, s) dt \right\} = \lim_{T \rightarrow \infty} \frac{1}{T} \int_{-T/2}^{T/2} \left[\int_{\Omega} x(t, s) p(s) ds \right] dt$$

$$= \langle E \{ x(t, s) \} \rangle$$

$$E \{ \langle x(t, s) \rangle \} = \langle E \{ x(t, s) \} \rangle$$

همواره می توانیم جای امید و dc را عوض کنیم.

$E \{ x(t, s) \}$ دیگر تابعی استو کانسلیو نیست.

مثال: فرکانس $x(t) = \cos(\omega t + \theta)$ منروض است. $E \{ x(t) \}$ را در حالت های زیر بدست آورید.

(الف) θ متغیر تصادفی با PDF یکنواخت بین 0 تا 2π

(ب) θ یک متغیر تصادفی با PDF یکنواخت بین 0 تا π

dc تابع را در هر دو حالت محاسبه کنید.

$$E \{ x(t) \} = \int_{\Omega} \cos(\omega t + \theta) p(\theta) d\theta$$

$$\theta \in [0, 2\pi] \Rightarrow \int_0^{2\pi} \cos(\omega t + \theta) \times \frac{1}{2\pi} d\theta = 0$$

$$\theta \in [0, \pi] \Rightarrow \int_0^{\pi} \cos(\omega t + \theta) d\theta = -\frac{1}{\pi} \sin \omega t$$

چون به هم می نزنند، فرض های موجود احتمال یکنواختی را نداریم پس $E \{ x(t) \}$ مختل می شود.

$$d.c = \langle E \{ x \} \rangle = \begin{cases} 0 & \text{حالت اول} \\ \neq 0 & \text{حالت دوم} \end{cases}$$

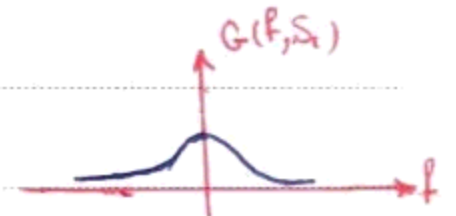
Subject:

Year. Month. Date. ()

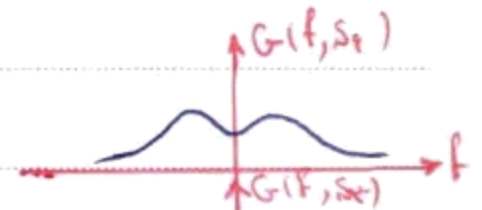
$x(t)$ تابع از جنس توان $\Rightarrow G(f) = \lim_{T \rightarrow \infty} \frac{1}{T} |X_T(f)|^2$

$x(t, S)$

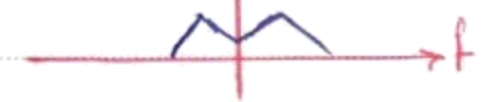
$P(S_1) dS$ $x(t, S_1)$ $\lim_{T \rightarrow \infty} \frac{|X_T(f, S_1)|^2}{T} = G(f, S_1)$



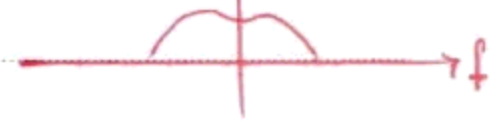
5
 $P(S_2) dS$ $x(t, S_2)$ $G(f, S_2)$



$P(S_p) dS$ $x(t, S_p)$ $G(f, S_p)$



$G(f) = E\{G(f, S)\}$



$G(f) = E\{G(f, S)\} = E\left\{\lim_{T \rightarrow \infty} \frac{|X_T(f, S)|^2}{T}\right\}$

15 چون بی دایم کدام SF رخ می دهد پس از تمام جداولی توان ما معدل گرفته و به عنوان تابع جدولی طیف توان معرفی می کنیم.

20

25

$$x(t, s)$$



$$E\{x(t, s)\}$$

تابع متقابل دترمینسٹیک سے باسند

$$E\{x(t, s)\} = \int_{S \text{ جا}} x(t, s) p(s) ds$$

$$\langle x(t, s) \rangle = \lim_{T \rightarrow \infty} \frac{1}{T} \int_{-T/2}^{T/2} x(t, s) dt$$

معدل آنکری

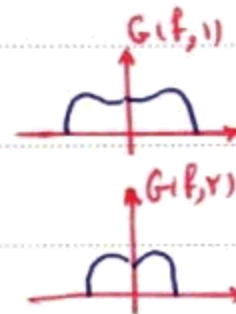
تابع تصادفی - معدل ریاضی

در معدل فوق اصلاً قابل مقایسه نمی باشند

$$\overline{dc} \triangleq E\{(dc)_s\} = E\{\langle x(t, s) \rangle\} = \langle E\{x(t, s)\} \rangle$$

dc - s این نمره

$$x(t, s) \quad G(f, s) = \lim_{T \rightarrow \infty} \frac{|X_T(f, s)|^2}{T}$$



تابع همگانی توان

$$G(f) = E\{G(f, s)\} = E\left\{\lim_{T \rightarrow \infty} \frac{|X_T(f, s)|^2}{T}\right\}$$

$$\bar{P} = \int_{f=-\infty}^{\infty} G(f) df$$

* توان معدل همه ی توان ها است

تابع همگالی توان ، تابع همگالی توان امید نیست

توان برابر با توان نیست

$$\bar{P} = \int_{f=-\infty}^{\infty} G(f) df = \int_{f=-\infty}^{\infty} \left(E\left\{\lim_{T \rightarrow \infty} \frac{|X_T(f)|^2}{T}\right\} \right) df$$

$$\Rightarrow \bar{P} = E\left\{\lim_{T \rightarrow \infty} \frac{1}{T} \int_{f=-\infty}^{\infty} |X_T(f, s)|^2 df\right\} = E\left\{\lim_{T \rightarrow \infty} \frac{1}{T} \int_{-T/2}^{T/2} x_T^2(t, s) dt\right\} = E\{P_s\}$$

$\int_{-\infty}^{\infty} x_T^2(t, s) dt$

$$P' = E\{x(t, \omega)\} \text{ توان سیگنال} = \lim_{T \rightarrow \infty} \frac{1}{T} \int_{-T/2}^{T/2} (E\{x(t, \omega)\})^2 dt$$

$$\neq \langle E\{x^2(t, \omega)\} \rangle$$

علت تفاوت ناشی از تفاوت $E\{x^2\}$ با $(E\{x\})^2$

مطلوبست محاسبه توان آماری سیگنال های AM, DSB $E\{g_d(t)g_r(t)\} = g_d(t)E\{g_r(t)\}$ فرض کنید توان متوسط آماری پیام برابر P_m است.

$$DSB(t) = A_c m(t) \cos 2\pi f_c t$$

$$P_{DSB} = \langle E\{A_c^2 m^2(t) \cos^2 2\pi f_c t\} \rangle = \langle A_c^2 \cos^2 2\pi f_c t E\{m^2(t)\} \rangle$$

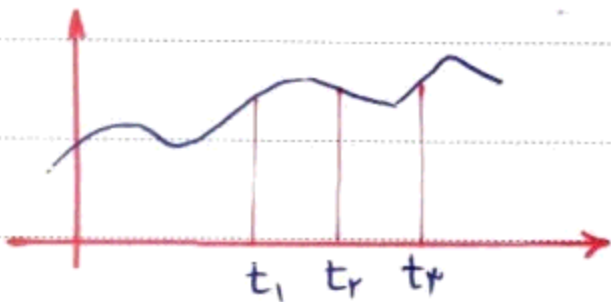
فرآیندهای ایستای Stationary

فرآیندی است که در آن دانسته باشیم

$$E\{f(x(t_1), x(t_2), x(t_3), \dots, x(t_N))\} = E\{f(x(t_1+\lambda), \dots, x(t_N+\lambda))\}$$

اگر ازای همه توابع f ممکن و هر دسته از لحظه های t_1, t_2, \dots, t_N و هر λ حقیقی رابطه بالا برقرار باشد آنگاه سیگنال را ایستا از مرتبه N می گویند.

معنی اگر در شکل مقابل نواصل t_1, t_2 ثابت باشد آنگاه با جابجایی مبدأ تغییر در خصوصیات آماری سیگنال بوجود نمی آید.



$$E\{x(t)\} = cte$$

$$E\{x^2(t)\} = cte$$

$$E\{x(t_1)x(t_2)\} = E\{x(t_1+\Delta)x(t_2+\Delta)\}$$

WSS : Wide Sense Stationary

شرطها \rightarrow

$$\begin{cases} E\{x(t)\} = cte \\ E\{x(t_1)x(t_2)\} = f(t_1 - t_2) \end{cases}$$

آر شرایط فوق برقرار باشند، می‌توسم فرآیند در مفهوم وسیع ایستایان است.

مثال تحقیق کنید که آیا فرآیند زیر ایستایان است یا خیر، که در آن θ متغیری تصادفی در بازه $[0, 2\pi]$ با PDF یکنواخت است؟

$$x(t) = A_0 \cos(\omega_0 t + \theta)$$

شرط اول برقرار است \Rightarrow

$$E\{x(t)\} = \int_{-\pi}^{\pi} x(t, \theta) P(\theta) d\theta = \int_{-\pi}^{\pi} A_0 \cos(\omega_0 t + \theta) \times \frac{1}{2\pi} d\theta = 0$$

$$E\{x(t_1)x(t_2)\} = E\{A_0^2 \cos(\omega_0 t_1 + \theta) \cos(\omega_0 t_2 + \theta)\}$$

$$= \int_{-\pi}^{\pi} A_0^2 \cos(\omega_0 t_1 + \theta) \cos(\omega_0 t_2 + \theta) P(\theta) d\theta = \frac{A_0^2}{2} \cos \omega_0 (t_1 - t_2)$$

شرط دوم برقرار است

مثال : مسأله‌ی بالا را برای حالتی که $0 < \theta < \pi$ است بررسی کنید.

$$E\{x(t)\} = \int_0^{\pi} A_0 \cos(\omega_0 t + \theta) \frac{1}{\pi} d\theta = -\frac{A_0}{\pi} \sin \omega_0 t$$

امید x_1, x_2 را حساب کنید.

Subject:

Year: Month: Date: ()

مثال ۳: برای مسأله قبل $E \{x(t_1)x(t_2)\}$ بدست آورید.

تابع همبستگی متقابل $y(t_2)$ و $x(t_1)$: Cross Correlation Function: CCF :

$$E \{x(t_1)y(t_2)\} = R_{xy}(t_1, t_2)$$

$$R_{xy}(t_1, t_2) = \iint_{\substack{\alpha, \beta \\ x(t_1), y(t_2)}} P(\alpha, \beta) \alpha(t_1) \beta(t_2) d\alpha d\beta$$

فرض کنیم $x(t)$ و $y(t)$ دو فرآیند استوکاستیک باشند، آنگاه تعریف زیر را داریم:

$$E \{x(t_1) y(t_2)\} = R_{xy}(t_1, t_2) \quad \text{تابع همبستگی متقابل در لحظه های } t_1, t_2$$

در لحظه t_1 از x نمونه‌گیری و دیدیم زیاد است این یعنی با فرض $R_{xy}(t_1, t_2)$ بالا در لحظه t_2 نیز زیاد است.

$$E \{x(t_1) x(t_2)\} = R_{xx}(t_1, t_2)$$

حال کار فوق را برای یک سیگنال انجام می‌دهیم
به تابع فوق را تابع خود همبستگی می‌گویند
Auto Correlation Function

فرض کنید می‌دانیم $E \{x(t_1) x(t_1 + 5)\}$ زیاد است اگر در لحظه t_1 x زیاد است آنگاه می‌توانیم پیش بینی کنیم که در ۵ ثانیه بعد نیز x زیاد خواهد بود.

معیار نزدیکی کوچک بودن را با استفاده از مقدار ρ بدست می‌آوریم.

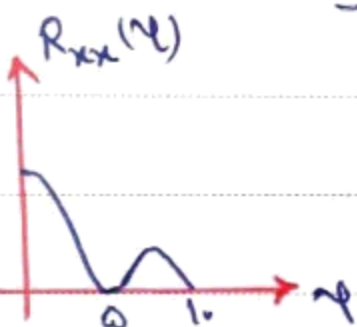
$$E \{x(t+\tau) x(t)\} = R_{xx}(t+\tau, t)$$

اگر تابع در مفهوم وسیع‌الاستان باشد آنگاه R_{xx} فقط تابع τ خواهد بود، یعنی داریم:

$$R_{xx}(t+\tau, t) = R_{xx}(\tau)$$

R_{xx} مقدار متوسط حاصل ضرب دو نمونه از سیگنال به فاصله τ ثانیه از هم است.

اگر فرآیند الاستان نباشد آنگاه $R_{xx}(t_1, t_2)$ تابع دو متغیر خواهد بود.



در فواصل ۵ و ۱۰ ثانیه R_{xx} می‌توان هیچ بد.

برخلاف تابع PDF تابع R_{xx} هرچه جمع‌تر باشد آنگاه

۲ تراست.

رندتر

تقریب فرآیند فراگیری است که تابع خود همبستگی آن یک ضرب باشد.

حائزیم مقدار $R_{xx}(\tau)$ برای فرآیندی ایستادن در $\tau=0$ یعنی دهد.

خواص تابع خود همبستگی فرآیند ایستادن:

۱- $R_{xx}(\tau)$ تابع زوجی از τ است چرا که \leftarrow های دو فرآیند را عوض کنیم اکتان می شود.

۲- اگر $x(t)$ متناوب باشد با دوره تناوب T_0 ، آنگاه $R_{xx}(\tau)$ هم با همان دوره تناوب

متناوب خواهد بود $= x(t+T_0)$

$$R_{xx}(\tau) = E\{x(t+\tau)x(t)\} = R_{xx}(\tau+T_0) \Rightarrow R_{xx} \text{ متناوب با دوره } T_0$$

۳- $|R_{xx}(\tau)| \leq R_{xx}(0)$ زیرا هر لحظه با خود همبستگی را دارد.

$$(E\{PQ\})^2 \leq E\{P^2\}E\{Q^2\} \rightarrow \text{چرا؟}$$

$$P = x(t+\tau) \Rightarrow [E\{x(t+\tau)x(t)\}]^2 \leq E\{x^2(t)\}E\{x^2(t+\tau)\}$$

$$Q = x(t)$$

$$\Rightarrow R_{xx}^2(\tau) \leq R_{xx}^2(0) \Rightarrow |R_{xx}(\tau)| \leq |R_{xx}(0)|$$

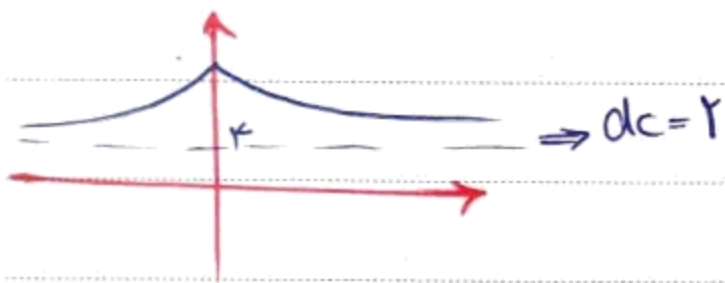
طریقه فرآیندی برای محاسبه توان داریم:

$$P = \langle E\{x^2(t)\} \rangle \xrightarrow{\text{فرآیند ایستادن}} E\{x^2(t)\} = R_{xx}(0)$$

$$P = R_{xx}(0)$$

۵- برای فرآیندی ایستادن و غیر متناوب:

$$\lim_{\tau \rightarrow \infty} R_{xx}(\tau) = (dc)^2$$



$$E\{x(t+\tau)x(t)\} = R_{xx}(\tau)$$

۲۵ اگر بسندگی متناوب در بلند آنگاه رفتار خیلی با رفتار خیلی قبلی متناوب است

اما اگر متناوب باشد امکان دارد رفتار متناوب باشد

$$\lim_{T \rightarrow \infty} \text{Cov}\{x(t), x(t+\tau)\} = 0 \rightarrow \lim_{T \rightarrow \infty} E\{x(t)x(t+\tau)\} = \lim_{T \rightarrow \infty} E\{x(t)\} E\{x(t+\tau)\}$$

$\underbrace{\lim_{T \rightarrow \infty} E\{x(t)\}}_{dc} \cdot \underbrace{E\{x(t+\tau)\}}_{dc}$
 چون تابع ایستادن است.

$$\rightarrow \lim_{T \rightarrow \infty} R_{xx}(\tau) = (dc)^2$$

۴- تابع خود همبستگی و جدالی طیف توان فرکانس زوج نوری هستند، یعنی: $R_{xx}(\tau) \rightarrow G(f)$
 قضیه فوق، اقصیه وینر-کینچین (Wiener-Kinchin)

از راهمایی که قبلاً گفتیم $G(f)$ محاسبه نمی شود بلکه با روش فوق آن را بدست می آورند.

قضیه فوق هم برای فرکانسهای ایستادن و هم غیر ایستادن برقرار است.

حال این قضیه را برای فرکانسهای ایستادن اثبات می کنیم:

$$G(f) = E \left\{ \lim_{T \rightarrow \infty} \frac{1}{T} |X_T(f, \delta)|^2 \right\} = \lim_{T \rightarrow \infty} \frac{1}{T} E \{ |X_T(f, \delta)|^2 \}$$

با فرض اینکه می توانیم جای دو عملگر عوض کنیم

در اینجا فرض بر اینست که فرکانس حقیقی نیز هست.

$$X_T(f, \delta) \rightarrow x_T(t, \delta)$$

$$X_T(f, \delta) = \int_{-\infty}^{\infty} x_T(t, \delta) e^{-j\pi f t} dt = \int_{-T/4}^{T/4} x(t, \delta) e^{-j\pi f t} dt$$

* نکته ای از تبدیل فوریه نیست بلکه تبدیل نوری قطعه ایست.

$$X_T^*(f, \delta) = \int_{-\infty}^{\infty} x_T(\lambda, \delta) e^{j\pi f \lambda} d\lambda = \int_{-T/4}^{T/4} x(\lambda, \delta) e^{j\pi f \lambda} d\lambda$$

$$|X_T(f, \delta)|^2 = \int_{t=-T/4}^{T/4} \int_{\lambda=-T/4}^{T/4} x(t, \delta) x(\lambda, \delta) e^{-j\pi f (t-\lambda)} dt d\lambda$$

$$\Rightarrow G(f) = \lim_{T \rightarrow \infty} \frac{1}{T} \int_{t=-T/4}^{T/4} \int_{\lambda=-T/4}^{T/4} R_{xx}(t-\lambda) e^{-j\pi f (t-\lambda)} dt d\lambda$$

$$\xrightarrow{t-\lambda=\tau} G(f) = \lim_{T \rightarrow \infty} \frac{1}{T} \left[\int_{\tau=-T/4}^{T/4} \int_{\tau=-T}^T R_{xx}(\tau) e^{-j\pi f \tau} dt d(t-\tau) \right]$$

Subject:

Year. Month. Date. ()

$$\int_{t=-T/T}^{T/T} \int_{\tau=-T}^T R_{xx}(\tau) e^{j\pi f \tau} dt d(t-\tau) = T \int_{-T/T}^{T/T} R_{xx}(\tau) e^{j\pi f \tau} d\tau \quad \text{سواء}$$

$$\Rightarrow G(f) = \int_{-\infty}^{\infty} R_{xx}(\tau) e^{j\pi f \tau} d\tau \Rightarrow R_{xx}(\tau) = \int_{-\infty}^{\infty} G(f) e^{-j\pi f \tau} df$$

5

10

15

20

25

$x(t)$ اگر استبان نباشد. $R_{xx}(t+\tau, t) = f(t, \tau)$

$$R_{xx}(\tau) = \lim_{T \rightarrow \infty} \frac{1}{T} \int_{-\frac{T}{P}}^{\frac{T}{P}} R_{xx}(t+\tau, t) dt \longleftrightarrow G_x(f) *$$

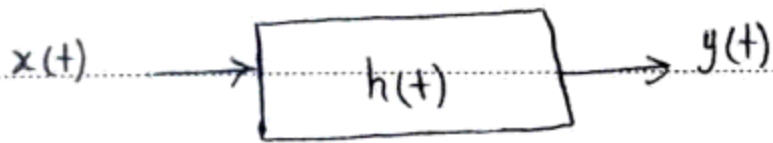
نابیند. (*)

$G_x(f)$

$R_{xx}(\tau)$

LTI

روابط آماری ورودی و خروجی یک سیستم LTI:



$$R_{yx}(t+\tau, t) = E \{ y(t+\tau) x(t) \} = ?$$

$$R_{yy}(t+\tau, t) = E \{ y(t+\tau) y(t) \} = ?$$

$$E \{ y(t) \} = ?$$

$$G_y(f) = ?$$

$$y(t) = \int_{-\infty}^{+\infty} h(\lambda) x(t-\lambda) d\lambda$$

$$* R_{yx}(t+\tau, t) = E \{ y(t+\tau) x(t) \} = E \left\{ x(t) \int_{-\infty}^{+\infty} h(\lambda) x(t+\tau-\lambda) d\lambda \right\}$$

$$= \int_{-\infty}^{+\infty} E \{ x(t+\tau-\lambda) x(t) \} h(\lambda) d\lambda = R_{xx}(\tau) * h(\tau)$$

$$R_{xx}(\tau-\lambda)$$

$$* R_{yx}(\tau) = R_{xx}(\tau) * h(\tau)$$

میدانیم: $R_{yx}(\tau) = R_{xy}(-\tau)$ چون زمان آنها هم باید قرینه شود.

$$* E \{ y(t+z) y(t) \} = E \left\{ y(t+z) \int_{-\infty}^{+\infty} x(t-\lambda) h(\lambda) d\lambda \right\}$$

$$= \int_{-\infty}^{+\infty} E \{ y(t+z) x(t-\lambda) \} h(\lambda) d\lambda$$

$$R_{yx}(z+\lambda)$$

$$R_{xx}(z) * h(z)$$

↑

$$\lambda \rightarrow -\lambda \quad = \int_{-\infty}^{+\infty} R_{yx}(z-\lambda) h(-\lambda) d\lambda = R_{yx}(z) * h(-z)$$

$$\Rightarrow R_{yy}(z) = R_{xx}(z) * h(z) * h(-z)$$

$$* E \{ y(t) \} = E \left\{ \int_{-\infty}^{+\infty} h(\lambda) x(t-\lambda) d\lambda \right\} = \bar{x} \int_{-\infty}^{+\infty} h(\lambda) d\lambda = \text{cte}$$

$E \{ x(t-\lambda) \} = \bar{x}$
 $H(0)$

$$\bar{y} = H(0) \bar{x}$$

پس اگر ورودی ایستادن باشد خروجی هم ایستادن است. (LTI)

$$\therefore G_y(f) = |H(f)|^2 G_x(f)$$

$-j \text{sign}(f)$

$$x(t) \rightarrow \boxed{\frac{1}{\pi t}} \rightarrow y(t) = \hat{x}(t)$$

$$G_y(f) = ? \quad (\text{مثال})$$

$$R_{xx}(z)$$

$$R_{yy}(z)$$

$$G_x(f)$$

$$G_y(f) = ?$$

$$\therefore G_y(f) = G_x(f) | -j \text{sign} f | = G_x(f)$$

$$\therefore R_{\hat{x}\hat{x}}(\tau) = R_{xx}(\tau)$$

$$R_{\hat{x}x}(\tau) = R_{xx}(\tau) * \frac{1}{\pi t} = R_{xx}(\tau)$$

$$R_{x\hat{x}}(\tau) = R_{\hat{x}x}(-\tau) = -R_{\hat{x}x}(\tau)$$

$\therefore R_{x\hat{x}}(\tau)$ تابع فردی است.

$$R_{\hat{x}x}(0) = 0 \Rightarrow E\{x(t)\hat{x}(t)\} = 0$$

$$R_{yx}(\tau) \longleftrightarrow G_{yx}(f) \quad \text{هیچ تعبیر فیزیکی ندارد.}$$

$$\Rightarrow G_{yx}(f) = G_x(f) H(f)$$

$$\text{برای هر } R_{yx}(0) = E\{x(t)y(t)\} = \int_{-\infty}^{+\infty} G_{yx}(f) df$$

$$\therefore R_{yx}(0) = \int_{-\infty}^{+\infty} G_x(f) H(f) df$$

$$E\{\hat{x}(t)\} = E\left\{x(t) * \frac{1}{\pi t}\right\} = E\left\{\int_{-\infty}^{+\infty} \frac{1}{\pi \lambda} x(t-\lambda) d\lambda\right\}$$

$$= \bar{x} \int_{-\infty}^{+\infty} \frac{1}{\pi \lambda} d\lambda = 0$$

برای ایستادن

مثال) برای سیگنالهای AM و DSB و SSB توان متوسط امکاری را بدست آورید. (بر حسب

توان پیام)

$$\bar{p} = \{ \langle x^2(t) \rangle \}$$

$$P = \int_{-\infty}^{+\infty} \text{اگر خطای طیف توان}$$

۲) تابع خود همبستگی را دادند معادلات درصورت را بدست می آوریم.

۳) فرمول فوق

$m(t)$

P_m

DC بیا را صرفاً می کنیم.

$$DSB(t) = A_c m(t) \cos 2\pi f_c t$$

دیر استان سید.

$$\bar{p} = \langle E \{ A_c^2 m^2(t) \cos^2 2\pi f_c t \} \rangle = \langle A_c^2 \cos^2 2\pi f_c t \underbrace{E \{ m^2(t) \}}_{P_m} \rangle$$

$$= P_m \langle A_c^2 \cos^2 \omega_c t \rangle \Rightarrow P_{DSB} = \frac{A_c^2}{2} P_m$$

$$y(t) = x(t) \cos(\omega_c t + \theta)$$

مثال (۱) $p(\theta) \rightarrow$ صفر تصادفی θ

$g(t)$

نشان دهد توان $y(t)$ نصف توان $x(t)$ است.

$$AM(t) = A_c (1 + \mu m(t)) \cos 2\pi f_c t$$

چون $m(t)$ استان است $g(t)$ و هم استان است.

$$P_{AM} = \frac{1}{2} P_g \Rightarrow P_g = \langle E \{ A_c^2 [1 + 2\mu m(t) + \mu^2 m^2(t)] \} \rangle$$

$$= \langle A_c^2 + A_c^2 \mu^2 P_m \rangle = A_c^2 (1 + \mu^2 P_m)$$

$$\Rightarrow P_{AM} = \frac{A_c^2 (1 + \mu^2 P_m)}{2}$$

Po

Subject: _____
Year. _____ Month. _____ Date. _____ ()

از روس دیر خوب حل کنم.

$$P_{AM} = A_c^2 (1 + \mu^2 P_m) / 2 = \frac{A_c^2}{2} + \mu^2 P_m \frac{A_c^2}{2}$$

بازی!

$$= P_c + a \frac{A_c^2}{2} = P_c + a P_c \quad \cdot < a < 1$$

بیش از ۵۰٪ انرژی صرف ارسال حامل می شود.

① راه اول: واضح است که توان آن نصف توان DSB است.

SSB:

$$P_{SSB} = \frac{A_c^2}{4} P_m$$

② معیولی:

$$SSB(t) = \frac{A_c}{2} [m(t) \cos 2\pi f_c t + \hat{m}(t) \sin 2\pi f_c t]$$

$$P_{SSB} = \langle E \{ m^2 \cos^2 2\pi f_c t + \hat{m}^2(t) \sin^2 2\pi f_c t + 2 \sin 2\pi f_c t m(t) \hat{m}(t) \} \rangle$$

$$\times \frac{A_c^2}{4}$$

$$\Rightarrow P_{SSB} = \frac{A_c^2}{4} \langle \cos^2 2\pi f_c t P_m + \sin^2 2\pi f_c t P_m \rangle$$

$$= \frac{A_c^2}{4} P_m$$

$$f_\Delta = 5 \text{ kHz}$$

$$f_c = 100 \text{ MHz}$$

در FM خانده:

$$FM = A_c \cos(2\pi f_c t + \phi(t))$$

$$f_c \gg f_\Delta$$

PM

$$P_{FM} = P_{PM} = \frac{A_c^2}{4}$$

دس با قویب خلی خوب ←

نویز یا اغتشاش:

هر سیگنال الکتریکی ناخواسته که همراه سیگنال ما در سیستم وجود دارد را نویز می گویند.

منابع:

- 1- طبیعی
 - از درون: نمی توان از بین برد نقطه باید رفتار آن را ساخت. نویز حرارتی
 - از بیرون: تخلیه الکتریکی قابل کنترل در دست ما نیست.
- 2- ساخته دست بشر
 - از درون: سلف های اینزول نبند.
 - از بیرون: بیست تراش در نزدیکی آنتن

نویز حرارتی: هر فلزی در هر درجه حرارتی الکترون آزاد از خود ساطع می کند این منبع نویز طبیعی از درون است.

اگر مقاومت R در درجه حرارت T قرار بگیرد الکترون های آزاد آن شروع با حرکت می کنند در نتیجه ولتاژی در دو سر آن وجود دارد این ولتاژ نتیجه حرکت بی نهایت الکترون است در نتیجه انتقال داریم این ولتاژ فرآیندی تصادفی و نویسی باشد (بدلیل تئوری حد مرکزی)

چون احتمال راست رفتن و چپ رفتن فرق نمی کند پس امید فرآیند نیز صفر است و از آنجا بیک شرایط محیطی ثابت است پس فرآیند ایستای نیز است.

15

$$E\{v(t)\} = 0$$

$$P(v) = \frac{1}{\sqrt{2\pi}\sigma} e^{-\frac{(v-\mu)^2}{2\sigma^2}}$$

با نویز فوق نویز حرارتی می گویند

حال می خواهیم توان نویز را محاسبه کنیم

20

این تئوریم را اثر نولادیم زیرا ایستای است.

$$P = E\{v^2(t)\} = \overline{v^2}$$

$$\sigma^2 = \overline{v^2} - (\overline{v})^2 = \overline{v^2}$$

توان مصرفی در مقاومت
 ! امپی

جایی

25

$$G(f) = \frac{2Rhf|f|}{e^{\frac{hf}{kT}} - 1}$$

[$\frac{W}{\Omega \cdot Hz}$]
 مقادیر یک صی

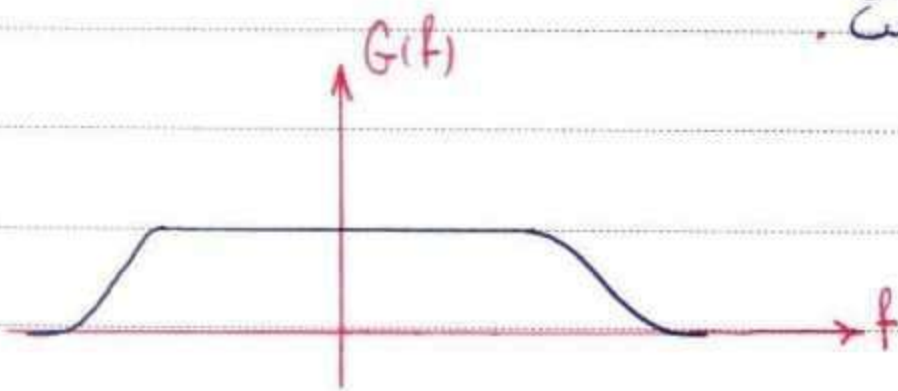
26

توان بولتزمن $k = 1.37 \times 10^{-23} \frac{ژول}{درجه کلوین}$

توان بلانک $h = 6.62 \times 10^{-34} \frac{ژول}{هرتز}$

$$P = \sigma^2 = \int_{-\infty}^{\infty} G(f) df = \frac{r}{4} \frac{(\pi kT)^2}{h} R$$

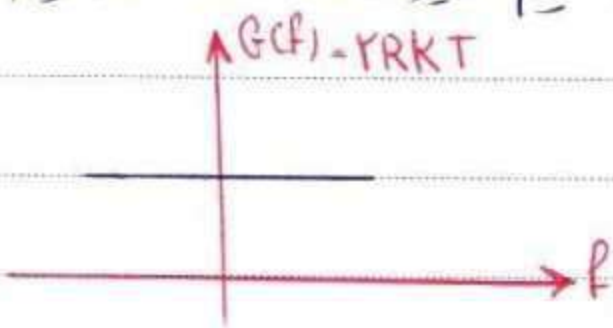
نویزها لجر سیستم های مخابراتی از نوع فوق است.



$$f < 10^{12} \rightarrow \frac{hf}{kT} < 0.1 \quad \left. \begin{array}{l} \text{در بازه های} \\ \text{کلاس کاری} \end{array} \right\} G(f) = 2RkT$$

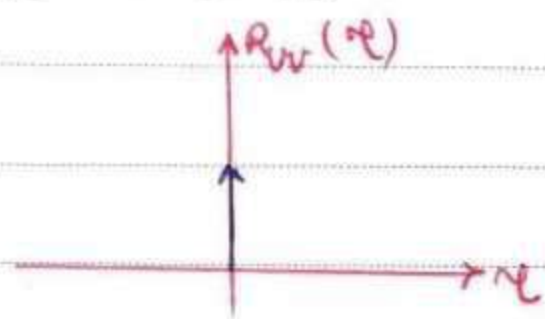
$$e^x = 1 + x + \frac{x^2}{2!} + \frac{x^3}{3!} + \dots$$

همه بازه های فوق در بازه $-\infty$ تا $+\infty$ استرال گیری نمی کنیم زیرا ایندیت می شود، رابطه فوق تنها برای بازه ای خاص برقرار است.



چون همه ی فرکانس ها در یک اندازه حضور دارند، به فرکانس، فرآیندی سفید می گویند.

به نویز از جنس فوق نویز سفید گویی می گویند، و چون ما سیگنال جمع می شود با آن نویز سفید گویی جمع می شود، می گویند.

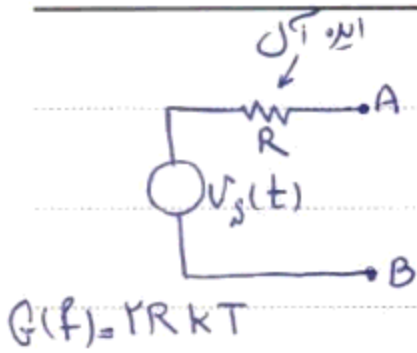


حال تابع خود همبستگی نویز سفید را می کشیم. رندم ترین فرکانس قابل دسترسی است زیرا

به جای ω در R_{vv} صفری نداریم و باز $G(f)$ در کل اعداد استرال می گیریم (با دلیل تئوری استفاده شده)

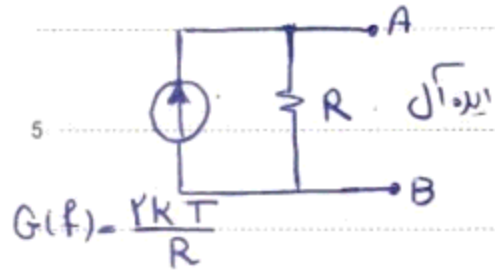
$$G(f) = 2RkT = \frac{N_0}{2}$$

بنابر تقریب داریم:



دینار این از این به بعد هر مقاومت را بصورت معادل مدل می کنیم

بامدل کردن به صورت معادل متناوبی داریم کار آید آکن است



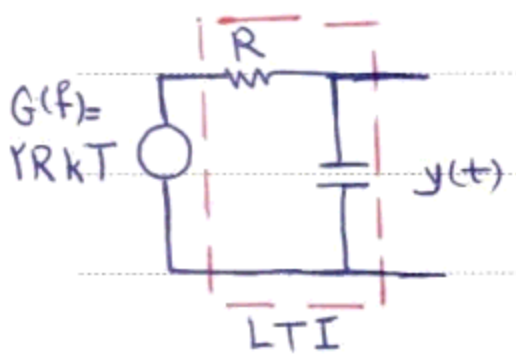
مثال: شبکه زیر در آ درجه کلوسن تردد دارد. خازن عاری از بار است. مطلوبیت محاسبه

۱) حکای طیف توان فرآیند $y(t)$

۲) تابع خود همبستگی فرآیند $y(t)$

۳) PDF مربوط به y

۴) احتمال آنگه y در لحظه t از t_0 اولت بیشتر باشد

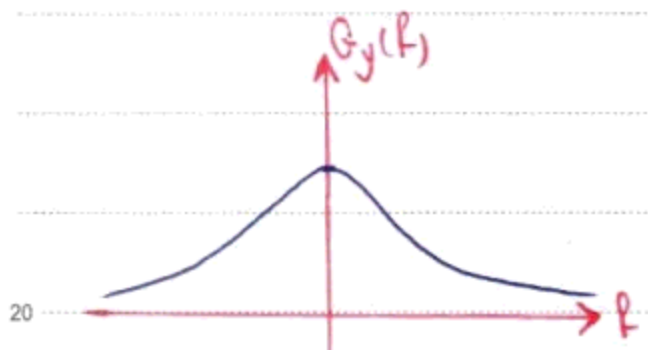


$$G_y(t) = |H(f)|^2 G_x(t)$$

$$H(f) = \frac{1}{1 + j\pi RC f} \Rightarrow |H(f)|^2 = \frac{1}{1 + 4\pi^2 R^2 C^2 f^2}$$

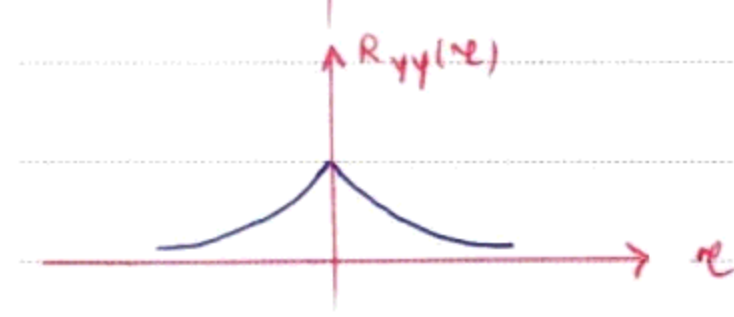
ورودی نویز سفید بود اما خروجی نویز رنگی است

$$\Rightarrow G_y(t) = \frac{1/RKT}{1 + 4\pi^2 R^2 C^2 f^2}$$



$$R_{yy}(\tau) \leftrightarrow G_y(f)$$

$$\Rightarrow R_{yy}(\tau) = \frac{KT}{C} e^{-\frac{|\tau|}{RC}}$$



$P_y = R_{yy}(0) = \frac{KT}{C}$
 اگر در خروجی مقاومت یک اهمی تردد دهیم با مقدار نون انرژی در لحظه مصرف می شود.

خازن کمتر نویز بیشتری ایجاد می کند.

مقاومت دو کاری کند هرچه بیشتر باشد نویز بیشتر شده و از طرف دیگر

فیلتر بار بلتری می شود پس این دو هم دیگر را همنی می کنند.

PDF نویسی است زیرا اولاً نویسی بردارثانیاً سیستم LTI بوده است.

$E\{y\} = 0$ است زیرا $E\{x\} = 0$ است.

هرچه C بیشتر باشد توان نویز کمتر است.

$$P(y) = \frac{1}{\sigma_y \sqrt{2\pi}} e^{-\frac{y^2}{2\sigma_y^2}}$$

$$\sigma_y^2 = E\{y^2\} - (E\{y\})^2 = P_y = \frac{kT}{C}$$

$$\sigma_y = \sqrt{\frac{kT}{C}}$$

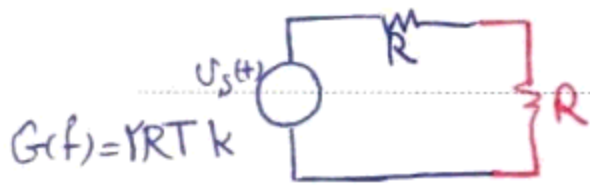
$$P\{y < 10^{-4}\} = \int_{-\infty}^{10^{-4}} P(y) dy = f(T, C)$$

در سیستم های مختاراتی می خواهیم حد اکثر توان به بار برسد

فرض کنید یک منبع نویز داریم.

حال می خواهیم اگر مدار را به یک مقاومت تطبیق داده شد و وصل کنیم

چه مقدار توان به آن می رسد.



مقدار متقابل حد اکثراتی است که می تواند به یک بار داده شود.

$$P_a = E\{\langle v(t) i(t) \rangle\}$$

$$= E\{\langle \frac{v_s^2(t)}{4R} \rangle\} = \frac{1}{4R} E\{v_s^2(t)\} \Rightarrow P_a = \frac{1}{4R} \int YRkT df = \int \frac{kT}{4} df$$

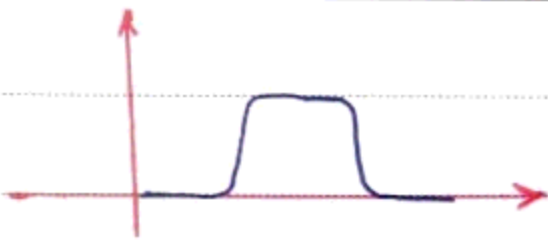
$$\Rightarrow G_a(f) = \frac{kT}{4}$$

حکالی متقابل متداری است که در بار تطبیق داده شده در حال مصرف است.

حکالی توان در دسترس: تحویل داده شده به مقاومت تطبیق داده شده.

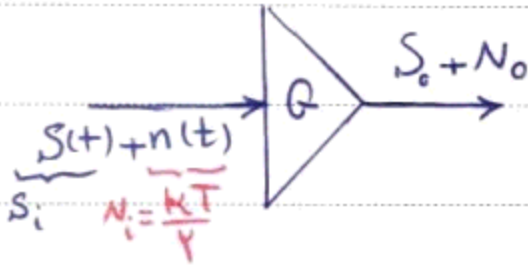
بنابراین این حکالی با معلومت بستگی ندارد.

ملکی از منابع اصلی نویز تقویت کنند. های ضربه ای اول هستند که درای گین بسیار بالا هستند.



هر تقویت کننده یک عرض باند دارد.
در مخابرات منظور از ایده آل بودن تقویت کننده اینست که
تقویت کننده نویز ایجاد نکند.

فرض کردیم یک منبع نویز داریم.
حال می خواهیم مدالی بسازیم که نویز در خروجی را بدست آوریم.



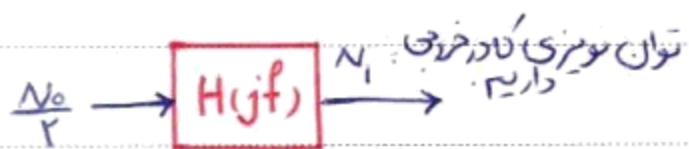
مانند نسبت $(\frac{S}{N})_i$ و یک نسبت $(\frac{S}{N})_o$ داریم و با توجه به اینکه هر تقویت کننده نیز نویز ایجاد می کند.
پس $(\frac{S}{N})_i > (\frac{S}{N})_o$ بنا به تعریف داریم:

$$\frac{(\frac{S}{N})_i}{(\frac{S}{N})_o} = F \Rightarrow (\frac{S}{N})_o = \frac{1}{F} (\frac{S}{N})_i$$

بنابراین می خواهیم F تا حد مقدور کوچکتر باشد. به تقویت کننده های دارای F کوچک LNA می گویند.
که در طبقه اول گیرنده ها استفاده می شوند.

Noise Equivalent Bandwidth

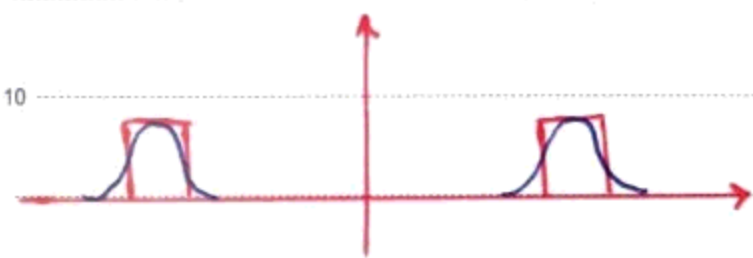
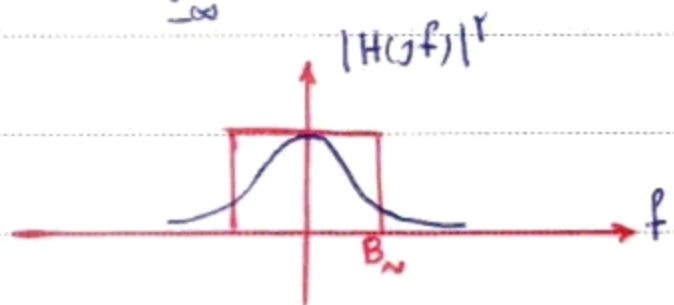
عرض باند معادل نویز



$$N_i = \int_{-\infty}^{\infty} \frac{N_0}{2} |H(jf)|^2 df$$

می‌خواهیم عرض باند فیلتر ایده آل را گویای بدست آوریم تا توان نویز خروجی در حالت یکسان باشد

پس هر شبکه‌ای که عرض باند معادل نویز دارد



$$N_r = \int_{-\infty}^{\infty} \frac{N_0}{2} |H(jf)|_{\max}^2 df = N_0 |H(jf)|_{\max}^2 B_N$$

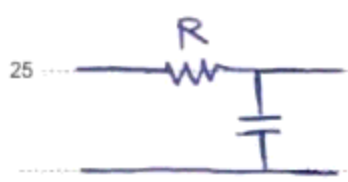
$$N_i = N_r \Rightarrow N_0 \int_{-\infty}^{\infty} |H(jf)|^2 df = N_0 |H(jf)|_{\max}^2 B_N \Rightarrow B_N = \frac{\int_{-\infty}^{\infty} |H(jf)|^2 df}{|H(jf)|_{\max}^2}$$

بنابراین اگر نویز را به فیلتری ایده آل وارد کنیم تا عرض باند B_N را دارد توان نویز خروجی در هر دو حالت برابر است.

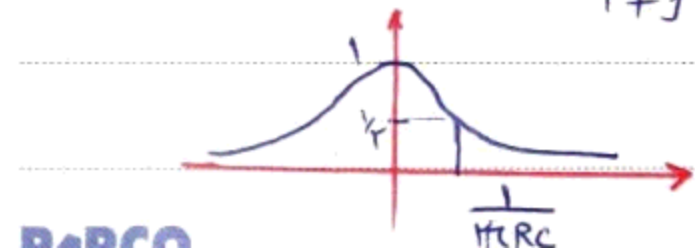
اگر فیلتر از ابتدا ایده آل می‌بود عرض باند نویز خود عرض باند فیلتر می‌شد.

مثال:

برای فیلتر متقابل عرض باند معادل نویز، عرض باند ۲۰dB را با هم مقایسه کنید



$$H(jf) = \frac{1}{1 + j2\pi RCf} \Rightarrow |H(jf)|^2 = \frac{1}{1 + 4\pi^2 R^2 C^2 f^2}$$



علت استفاده از $H(jf)$ تأکید بر تقارن هر میمی است.

Subject:

Year. Month. Date. ()

$$B_N = \frac{\int_0^\infty \frac{df}{1 + f^2 R^2 C^2}}{1} = \frac{1}{4RC}$$

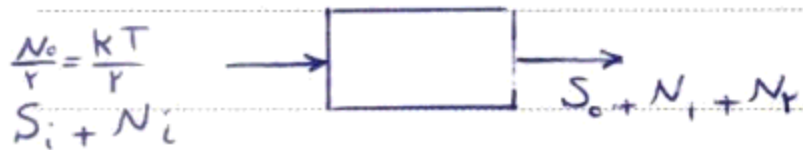
$$\text{بهای باند ۳dB} = \frac{1}{4RC}$$

$$\text{بهای باند معادل نویزی} = \frac{1}{4RC}$$

فرض کنید یک تقویت کننده داریم

عرض باند معادل نویزی B_N است و $|H(\omega)|^2 = |H(\omega)|_{max}^2 = G$

با فرض منطبق بودن طبقهها نویز باجدالی $\frac{kT}{4}$ به تقویت کننده می رسد



$$\frac{N_o}{4} = \frac{kT}{4} \Rightarrow N_i = kT \Rightarrow N_r = kT G B_N \Rightarrow N_f = kT B_N$$

$$\left(\frac{S}{N}\right)_o = \frac{S_o}{N_o} = \frac{G S_i}{kT G B_N + N_r} = \frac{G S_i}{G (kT B_N + \frac{N_r}{G})} = \frac{G S_i}{k B_N G (T + \frac{N_r}{k B_N G})}$$

$$\Rightarrow \left(\frac{S}{N}\right)_o = \frac{S_i}{\underbrace{k B_N T}_{N_i} (1 + \frac{N_r}{k B_N G T})} \Rightarrow \left(\frac{S}{N}\right)_o = \left(\frac{S}{N}\right)_i \cdot \frac{1}{1 + \frac{N_r}{k B_N G T}}$$

$$\Rightarrow \frac{\left(\frac{S}{N}\right)_i}{\left(\frac{S}{N}\right)_o} = 1 + \frac{N_r}{k B_N G T}$$

$$N_o = k G B_N \left(T + \frac{N_r}{k G B_N} \right)$$

T_N : درجه حرارت معادل نویز

می توان فرض کرد که دلیل نویز تقویت کننده دمای محیط از T به T_N افزایش یافته است

$$T_N = T + \frac{N_r}{k G B_N}$$

بررسی حضور صیانت آماری مؤلفه های تک فرکانس ایستای و لوسی و میانگین:

آیا $n_i(t)$, $n_q(t)$ ایستای هستند؟
 آیا $n_i(t)$, $n_q(t)$ لوسی هستند؟
 آیا $n_i(t)$, $n_q(t)$ ناهمبسته هستند؟
 میدانی صیف توان $n_i(t)$, $n_q(t)$ چگونه هستند؟
 فرکانس f_c را در بازه فرکانسی $n(t)$ انتخاب می کنیم.

5 $n(t)$ میانگین ایستای لوسی $E\{n(t)\} = 0$ $G_n(f)$ را داریم

$$10 \quad n_i(t) = n(t) \cos 2\pi f_c t + \hat{n}(t) \sin 2\pi f_c t$$

$$n_q(t) = \hat{n}(t) \cos 2\pi f_c t - n(t) \sin 2\pi f_c t$$

$$E\{n_i(t)\} = \cos 2\pi f_c t E\{n(t)\} + \sin 2\pi f_c t E\{\hat{n}(t)\} = 0$$

به همین ترتیب \Rightarrow
 15 $E\{n_q(t)\} = 0$

دیس آنریستدنیایی ایستای امپد صفری داشته باشند مؤلفه های آن هم امپد صفری دارند
 n_i , n_q لوسی نیز هستند زیرا ترکیب خطی دو فرکانس لوسی است. $n(t)$ بنا به فرض لوسی است، $\hat{n}(t)$ نیز نتیجه عبور $n(t)$ از سیستمی خطی است پس لوسی می باشد.
 حال می خواهیم ایستای بودن را بررسی کنیم:

$$20 \quad E\{n_i(t)n_i(t-\tau)\} = E\{[n(t)\cos 2\pi f_c t + \hat{n}(t)\sin 2\pi f_c t][n(t-\tau)\cos 2\pi f_c(t-\tau) + \hat{n}(t-\tau)\sin 2\pi f_c(t-\tau)]\}$$

$$= \cos 2\pi f_c t \cos 2\pi f_c(t-\tau) R_{nn}(\tau) + \cos 2\pi f_c t \sin 2\pi f_c(t-\tau) R_{\hat{n}\hat{n}}(\tau) + \sin 2\pi f_c t \cos 2\pi f_c(t-\tau) R_{\hat{n}n}(\tau) + \sin 2\pi f_c t \sin 2\pi f_c(t-\tau) R_{n\hat{n}}(\tau)$$

25 \Rightarrow قبل از استنباط $\begin{cases} R_{nn}(\tau) = R_{\hat{n}\hat{n}}(\tau) \\ R_{n\hat{n}}(\tau) = -R_{\hat{n}n}(\tau) = R_{nn}(\tau) \end{cases}$

حاصل ضرب با حاصل جمع، استغناء از روابط مقابل نشان داده می شود که:

$$E\{n_i(t)n_i(t-\tau)\} = R_{nn}(\tau) \cos 2\pi f_c \tau + \hat{R}_{nn}(\tau) \sin 2\pi f_c \tau$$

چون مستقیم تابع است و فرکانس n_i نرئیکندی ایستادن است.

$$\Rightarrow R_{n_i n_i}(\tau) = R_{nn}(\tau) \cos 2\pi f_c \tau + \hat{R}_{nn}(\tau) \sin 2\pi f_c \tau$$

$$R_{n_q n_q}(\tau) = R_{n_i n_i}(\tau)$$

5 نشان دهید:

$$P_{n_i} = R_n(0) = P_n = P_{n_q}$$

چون n_i و n_q با هم توان یکسانی دارند.

$$G_{n_i}(f) = \frac{1}{2} G(f+f_c) + \frac{1}{2} G(f-f_c) + F\{\hat{R}_{nn}(\tau) \sin 2\pi f_c \tau\}$$

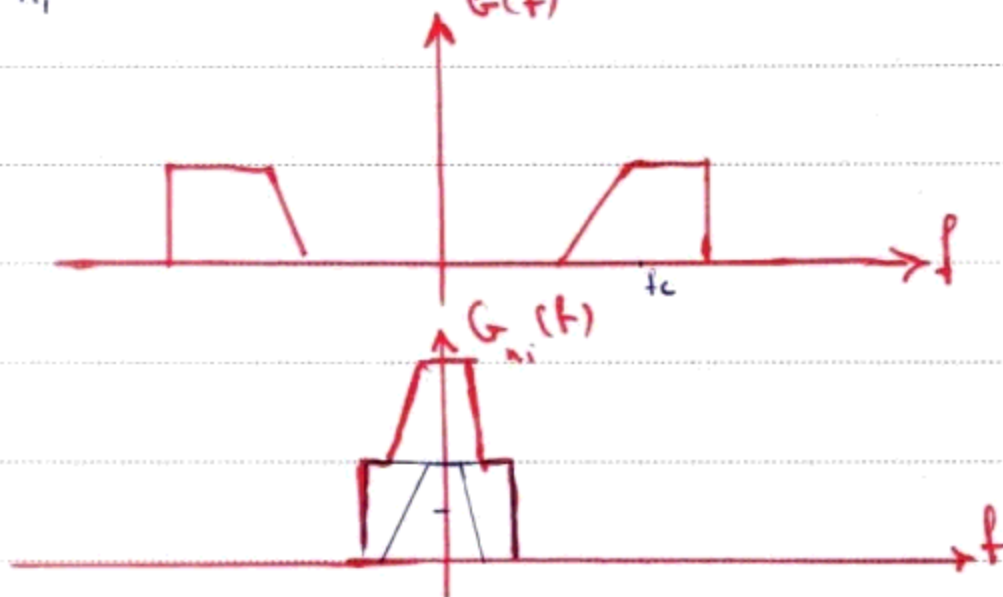
$$\hat{R}_{nn}(\tau) \leftrightarrow G(f) \{-j \operatorname{sgn}(f)\} \Rightarrow \hat{R}_{nn}(\tau) \sin 2\pi f_c \tau \leftrightarrow \frac{1}{2} G(f+f_c) \operatorname{sgn}(f+f_c) - \frac{1}{2} G(f-f_c) \operatorname{sgn}(f-f_c)$$

$$G_{n_i}(f) = \left[\frac{1}{2} + \frac{1}{2} \operatorname{sgn}(f+f_c) \right] G_n(f+f_c) + \left[\frac{1}{2} - \frac{1}{2} \operatorname{sgn}(f-f_c) \right] G_n(f-f_c)$$

$$\left. \begin{aligned} \frac{1}{2} + \frac{1}{2} \operatorname{sgn}(x) &= u(x) \\ \frac{1}{2} - \frac{1}{2} \operatorname{sgn}(x) &= u(-x) \end{aligned} \right\} \Rightarrow$$

$$u(-f+f_c) = u(-f) \Big|_{f \rightarrow f-f_c}$$

$$\Rightarrow G_{n_i}(f) = G(f+f_c) u(f+f_c) + G(f-f_c) u(-(f-f_c))$$



$$G_{n_q}(f) = G(f+f_c) u(f+f_c) + G(f-f_c) u(-(f-f_c))$$

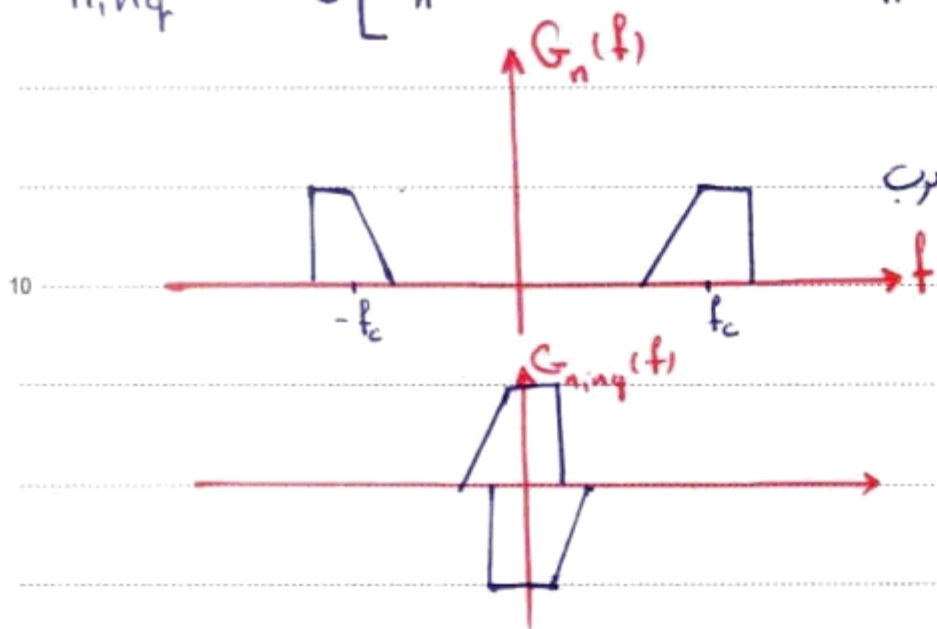
حال سی خواجهیم رابطه بین n_i, n_q را بدست آوریم و سپس آیکانای همبستگی داریم یا خیر.

$$E\{n_i(t) n_q(t-\tau)\} \stackrel{\text{اثبات شود}}{=} R_{n_i n_q}(\tau) = f(\tau)$$

$$R_{n_i n_q}(\tau) \longleftrightarrow G_{n_i n_q}(f)$$

تابع همگالی احتمال توأم

$$G_{n_i n_q}(f) = j [G_n(f+f_c)u(f+f_c) - G_n(f-f_c)u(f-f_c)]$$



در این حالت الزاماً مجموع صفر نیست پس امیراً همبستگی الزاماً صفر نیست

وقتی امیراً توأم صفر است که نوین اصلی در طرف یک قطع متقارن باشند و ماهمان

در شکل مقابل n_i, n_q ناهمبسته هستند ولی اثر یکی را مقداری در حوزای زمان سیفیتیم دیگر اصلاً ناهمبسته نمی شود.

* ثابت کسیده برای $\tau = 0$ ، حتماً $R_{n_i n_q}(\tau) = 0$ می باشد.

بنابراین n_i, n_q حتماً ناهمبسته هستند چون $\tau = 0$ ولی $n_i(t), n_q(t-\tau)$ در مورد $R_{n_i n_q}(\tau)$ فقط وقتی صفر است که تقارن گفته شده را داشته باشیم.

بنابراین n_i, n_q ناهمبسته هستند ولی n_i, n_q سیفیتیم داده شود می توانند ناهمبسته باشند مگر اینکه حالت تقارن ایجاد شود.

$$Z(t) = x(t) + y(t)$$

$$R_{zz}(t_1, t_2) = E \{ (x(t_1) + y(t_1)) (x(t_2) + y(t_2)) \} = R_{xx}(t_1, t_2) + R_{yy}(t_1, t_2) + R_{xy}(t_1, t_2) + R_{yx}(t_1, t_2)$$

بنابراین دیدیم که در حالت کلی اگر فرآیندی مجموع دو فرآیند باشد آنگاه تابع خود همبستگی آن مجموع تابع های خود همبستگی دو فرآیند نیست مگر اینکه همبستگی متقابل دو فرآیند صفر باشد.

وقتی مجموع دو فرآیند ایستاتان، ایستاتان است که تابع همبستگی متقابل دو فرآیند نیز ایستاتان باشد. این حالتی اتفاق می افتد که x و y ورودی و خروجی یک سیستم LTI باشد.

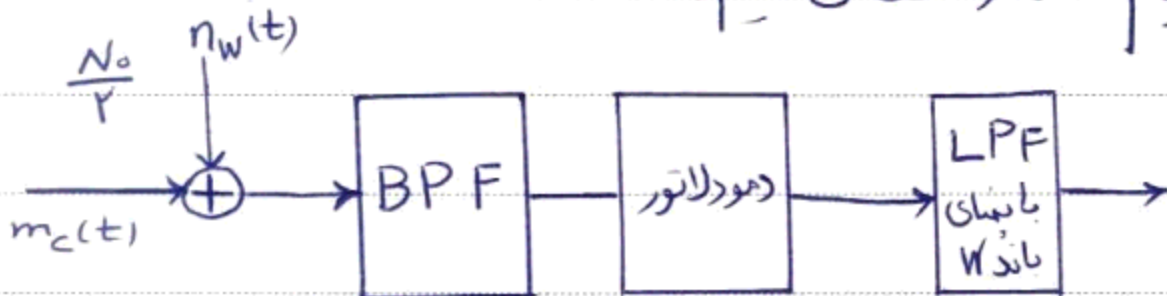
از ایستاتان بودن x و y نمی توان با ایستاتان بودن z دو فرآیند رسید.

- * اگر برای هر t_1, t_2 $E \{ x(t_1), y(t_2) \} = 0$ باشد آنگاه می توانیم بگوییم خود همبستگی متقابل مجموع، مجموع خود همبستگی هاست.
- * ایستاتان بودن دو فرآیند باعث ایستاتان بودن مجموع می شود.

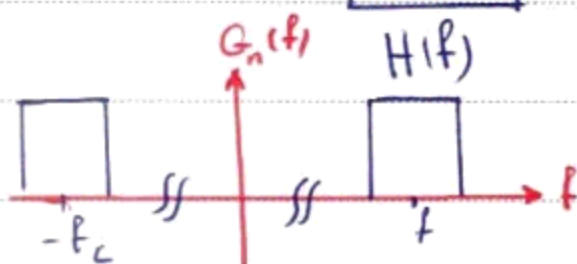
عناصر مدل های مختلف در حضور AWGN

نویز سفید، زیاده ترین نویز موجود است. اکثر نویز های سیستم های مخابراتی از این نوع نویز است.

20 برای بررسی از مدل فاصله شده زیر استفاده می کنیم خیلی عناصر هستند که تأثیر زیادی دارند اما چون این تأثیر کم است روی نویز و پیام، آنرا حذف می کنیم.



بلوک اول هم فیلتر و هم تقویت کننده است اما چون همبستگی و هم نویز را تقویت می کند پس بسکتال به نویز اعوض نمی کند و آن را حذف می کنیم.

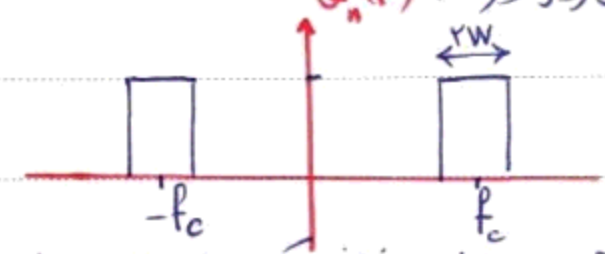


DSB:

$$A_c m(t) \cos 2\pi f_c t \rightarrow A_r m(t) \cos 2\pi f_c t \Rightarrow \begin{cases} S_T = \frac{A_c^2 P_m}{2} \\ S_R = \frac{A_r^2 P_m}{2} \end{cases} \Rightarrow L = \frac{A_c^2}{A_r^2} \Rightarrow A_r^2 = \frac{A_c^2}{L}$$

$$N_R = 2N_0 W$$

هدایای طیف توان بویژه در ورودی گیرنده

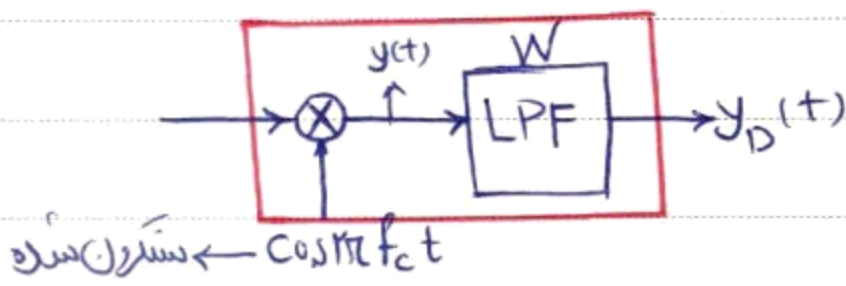


$$V(t) = m_c(t) + n(t) = A_r m(t) \cos 2\pi f_c t + n(t)$$

در $V(t)$ می توان فرض کرد $m_c(t)$ و $n(t)$ مستقل از هم هستند زیرا هر کدام از یک منبع جداگانه بلاست می آید.

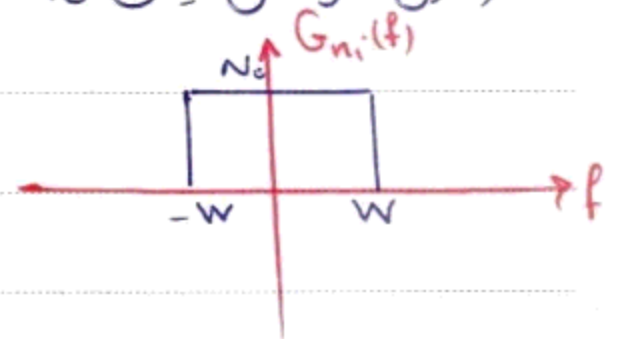
$$\left(\frac{S}{N}\right)_R = \frac{A_r^2 P_m}{4N_0 W}$$

در مورد نمودار DSB داریم



$n(t)$ اصول فرکانس میانی f_c و بردارهای \sin و \cos تجزیه می کنیم

$$n(t) = n_i \cos 2\pi f_c t - n_q(t) \sin 2\pi f_c t$$



$$V(t) = [A_r m(t) + n_i(t)] \underbrace{\cos 2\pi f_c t}_{\frac{1}{2} + \frac{1}{2} \cos 2\pi f_c t} - n_q(t) \underbrace{\sin 2\pi f_c t}_{\frac{1}{2} \sin 2\pi f_c t}$$

$$y(t) = [A_r m(t) + n_i(t)] \cos^2 2\pi f_c t - n_q(t) \sin 2\pi f_c t \cos 2\pi f_c t$$

جملاتی از $y(t)$ که در $\sin 2\pi f_c t$ ضرب می شوند دیگر از LPF عبور نمی کنند

$$y_D(t) = \frac{1}{2} A_r m(t) + \frac{1}{2} n_i(t)$$

می خواهیم توان سیگنال $y_D(t)$ را بدست آوریم

بنابراین توان $y_D(t)$ چون از دو فرکانس مستقل ساخته شده پس توان $y_D(t)$ مجموع توان ها است

$$\left. \begin{aligned} S_D &= \frac{A_r^2 P_m}{4} \\ N_D &= \frac{1}{4} P_{n_i} = \frac{1}{4} P_n = \frac{2N_0 W}{4} = \frac{N_0 W}{2} \end{aligned} \right\} \Rightarrow \left(\frac{S}{N}\right)_{D, DSB} = \frac{\frac{A_r^2 P_m}{4}}{\frac{N_0 W}{2}}$$

Subject :

Year . Month . Date . ()

$$\Rightarrow \left(\frac{S}{N} \right)_{D, DSB} = \frac{A_R P_m}{2N_0 W}$$

برای اینکه از مؤلفه های نویز در این سیستم حذف شود $\left(\frac{S}{N} \right)_{D, DSB} = 2 \left(\frac{S}{N} \right)_R$

از گوسی بودن نویز در اینها استفاده می کنیم .

10

15

20

25

$$E\{n_i(t) n_q(t)\} = R_{nn}(\tau) \sin \pi f_c \tau - \hat{R}_{nn}(\tau) \cos \pi f_c \tau = R_{n_i n_q}(\tau)$$

$$E\{n_i(t) n_q(t)\} = 0$$

$$\hat{R}_{nn}(\tau) \Big|_{\tau=0} = 0 \quad \hat{R}_{nn}(\tau) = R_{nn}(\tau) * \frac{1}{\tau} \longleftrightarrow G_n(f) (-j \operatorname{sgn}(f))$$

$$\hat{R}_{nn}(0) = \int_{-\infty}^{\infty} \underbrace{G_n(f) (-j \operatorname{sgn}(f))}_{\text{فرد}} = 0$$

$$\left(\frac{S}{N}\right)_{D, DSB} = \frac{A_R^2 P_m}{2 N_0 W} = \frac{S_R}{N_0 W} \triangleq \gamma$$

سیگنال با نویز در مختارات ماند بیا به:



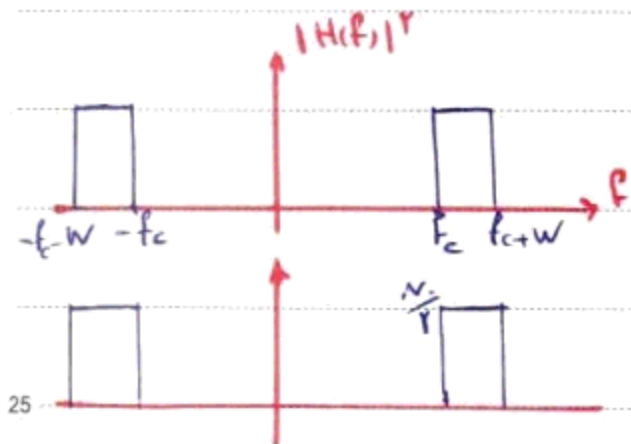
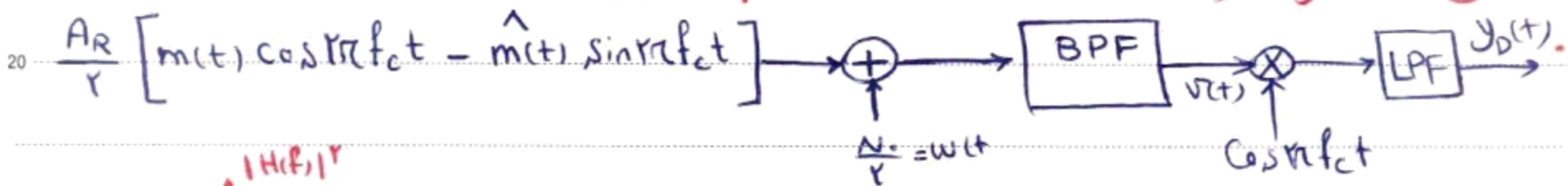
$$S_T = P_m$$

$$S_R = k^2 P_m$$

$$\left(\frac{S}{N}\right)_{D, BB} = \frac{k^2 P_m}{N_0 W} = \frac{S_R}{N_0 W} = \gamma$$

γ یعنی سیگنال با نویز مقصد اثر مدولاسیون انجام ندهیم

بررسی عملکرد لاسیون SSB در صورت حضور AWGN:



$$v(t) = \frac{A_R}{r} [m(t) \cos \pi f_c t - \hat{m}(t) \sin \pi f_c t] + n_i(t) \cos \pi f_c t - n_q(t) \sin \pi f_c t$$

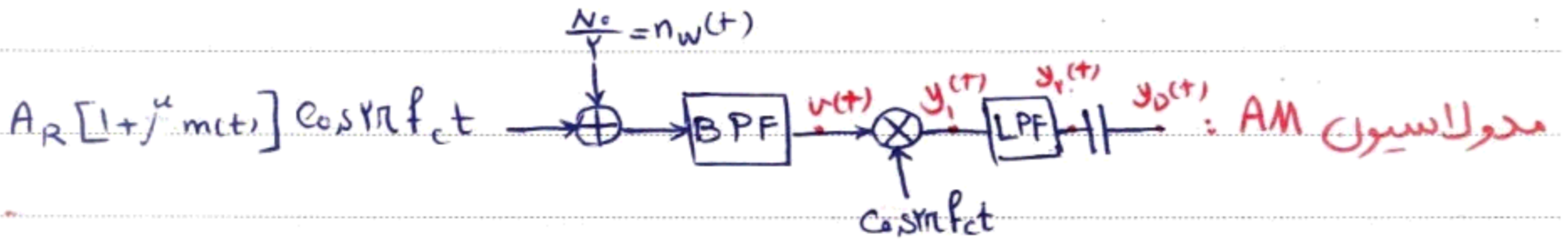
$$y(t) = [A_R m(t) + n_i(t)] \cos \pi f_c t - [A_R \hat{m}(t) + n_q(t)] \sin \pi f_c t$$

$$\Rightarrow y_D(t) = \frac{1}{r} A_R m(t) + \frac{1}{r} n_i(t)$$

$$\left(\frac{S}{N}\right)_{D,SSB} = \frac{\frac{1}{4} A_R^2 P_m}{\frac{1}{2} N_0 W} = \alpha$$

$$S_R = \frac{A_R^2 P_m}{4}$$

در اینجا در هر دو مدل آنتور سیگنال با تویز همان α است و علت اینست که سیگنال لاینیونی ضرب نشوند. هم نسبتی از سیگنال و هم نسبتی از تویز حذف می کنند



$$y_1(t) = A_R [1 + \mu m(t)] \cos(2\pi f_c t) + n_i(t) \cos(2\pi f_c t) - n_q(t) \sin(2\pi f_c t) \cos(2\pi f_c t)$$

$$y_2(t) = \frac{1}{2} A_R [1 + \mu m(t)] + \frac{1}{2} n_i(t)$$

$$y_D(t) = \frac{1}{2} A_R \mu m(t) + \frac{1}{2} n_i(t)$$

$$\left(\frac{S}{N}\right)_{D, \text{AM}} = \frac{A_R^2 \mu^2 P_m}{2 N_0 W}$$

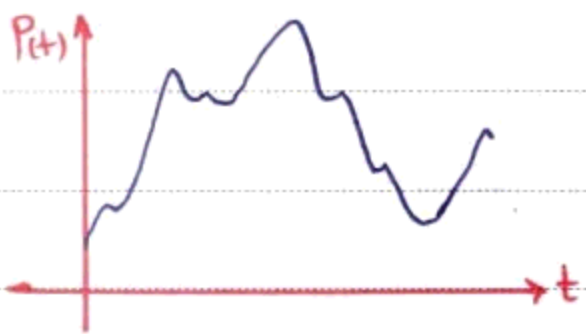
$$S_R = \frac{A_R^2}{2} (1 + \mu^2 P_m) \Rightarrow A_R^2 = \frac{2 S_R}{1 + \mu^2 P_m}$$

$$\left(\frac{S}{N}\right)_{D, \text{AM}} = \frac{\mu^2 P_m}{1 + \mu^2 P_m} \alpha$$

$$0 < \alpha < 1 \Rightarrow \frac{\alpha}{1 + \alpha} < \frac{1}{2}$$

$$\left(\frac{S}{N}\right)_{D, \text{AM}} \leq \frac{\alpha}{2}$$

DSB	$\frac{S_R}{N_0 W}$	تویز یکسان، سیگنال یکسان، توان ارسال یکسان، تصدیف یکسان
SSB	$\frac{S_R}{N_0 W}$	سه مورد اول سیگنال با تویز فرقی نمی کند
BB	$\frac{S_R}{N_0 W}$	نیاز برای هیچ آنتنهای در زمینه ای مدولاسیون برای سیگنال با تویز نیست.
AM, استاندارد	$\leq \frac{1}{2} \frac{S_R}{N_0 W}$	سه مورد اول سیگنال اول 3dB، ارجحیت از لحاظ سیگنال با تویز نسبت با سوس دارند.



می خواهیم سیگنال به نوبت های را که در مقصد بر حسب λ نوشتیم بر حسب Peak power با هم مقایسه می کنیم.

$$5 \text{ DSB: } DSB(t) = A_c m(t) \cos 2\pi f_c t \Rightarrow P(t) = A_c^2 m^2(t) \cos^2 2\pi f_c t \Rightarrow P_p = A_c^2$$

$$\frac{A_c^2}{A_R^2} = L \Rightarrow A_R^2 = \frac{A_c^2}{L} = \frac{P_p}{L}$$

$$\left(\frac{S}{N}\right)_{D, DSB} = \frac{A_c^2 P_m}{2LN_o W} = \frac{P_p P_m}{2LN_o W}$$

$$10 \text{ AM: } AM(t) = A_c (1 + \mu m(t)) \cos 2\pi f_c t \Rightarrow P(t) = A_c^2 (1 + \mu m(t))^2 \cos^2 2\pi f_c t \Rightarrow P_p = A_c^2$$

$$\Rightarrow A_c^2 = \frac{P_p}{F}$$

$$\Rightarrow A_R^2 = \frac{P_p}{FL}$$

$$\left(\frac{S}{N}\right)_{D, \text{ AM سترن}} = \frac{\mu^2 P_p P_m}{8LN_o W}$$

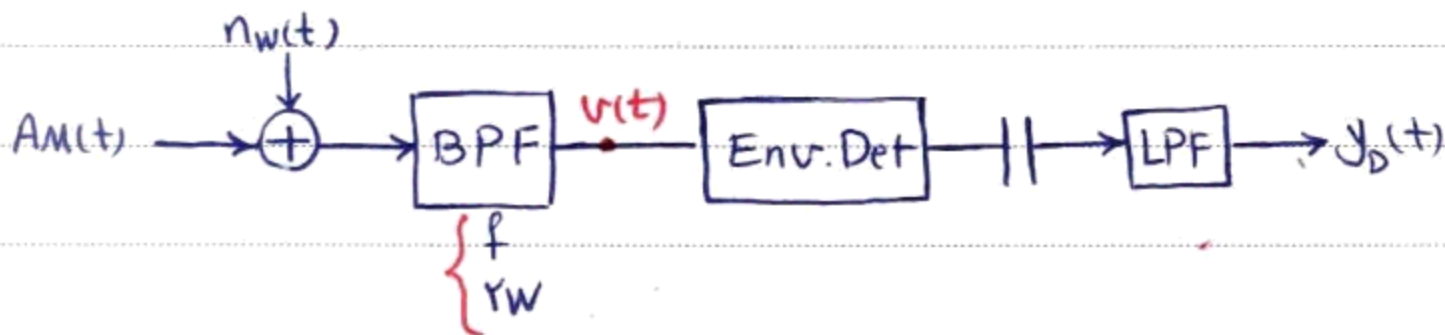
15 برای P_m های یکسان (ناتوان های متوسط ارسالی یکسان یا بول انرژی یکسان)، کانال یکسان، نوبت یکسان سیگنال یکسان DSB با مقدار 9 dB مزیت نسبت به AM سترن دارد.

$$18 \text{ SSB: } \frac{A_c}{\sqrt{2}} [m(t) \cos 2\pi f_c t - \hat{m}(t) \sin 2\pi f_c t]$$

SSB، 3dB، ارجحیت سیگنال با نوبت نسبت به DSB دارد.

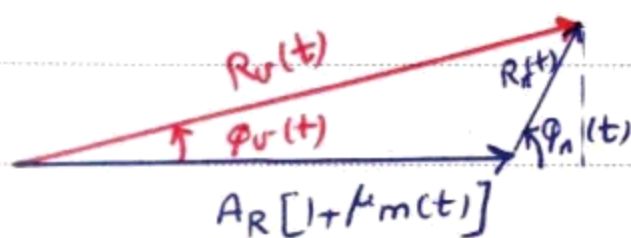
SSB، 9dB، ارجحیت سیگنال با نوبت نسبت به AM سترن دارد.

20 تاکنون نوبت جمع شونده داشتیم. حال می خواهیم مدولاسیون AM بوش را بررسی کنیم و خواهیم دید اگر سیگنال نسبت به نوبت کم باشد باعث می شود نوبت ضربه شوند. لاسته جاسیم که باعث می شود طبیعت سیگنال عوض شود.



$$v(t) = A_R [1 + \mu_m(t)] \cos 2\pi f_c t + R_n(t) \cos(2\pi f_c t + \varphi_n(t)) = R_v(t) \cos[2\pi f_c t + \varphi_v(t)]$$

آنتن ساز بوش وسیله ای است که اگر $R_n(t) \cos[2\pi f_c t + \varphi_n(t)]$ به آن برسد $R_v(t)$ را ما به دست می آوریم. به شکل فوق نویز را به صورت قطعی تعریف می کنیم.



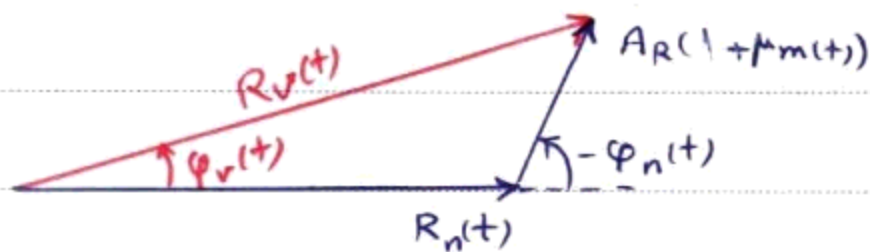
$$R_v(t) = \sqrt{[A_R (1 + \mu_m(t)) + n_i(t)]^2 + n_q^2(t)}$$

$$1) \left(\frac{S}{N}\right)_R \gg 1 \quad P\{A_R \gg R_n\} \approx 1$$

$$R_v(t) \approx A_R [1 + \mu_m(t)] + n_i(t)$$

$$\Rightarrow y_D(t) = \mu A_R m(t) + n_i(t) \Rightarrow \left(\frac{S}{N}\right)_{AM} \gg 1 = \frac{\mu^2 A_R^2 P_m}{2 N_0 W}$$

برای سادگی این بار نویز را که دامنه بزرگتری دارد مبدأ فاز در نظری می گیریم.



$$R_v(t) = R_n(t) + A_R [1 + \mu_m(t)] \cos \varphi_n(t)$$

نویز را به صورت قطعی تعریف می کنیم.

سیون های قبلی هر چه بسکینال با نویز را نمی بردیم آنگاه با هم نویز جمع می شوند و خواهد بود.

Subject:

Year. Month. Date. ()

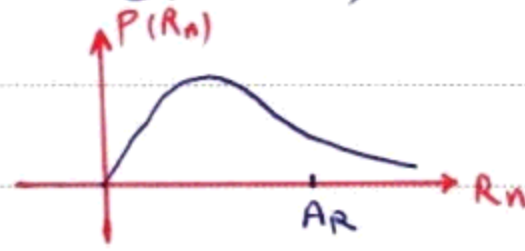
$$P\{R_n > A_R\} \leq 0.01$$

نیاز به دانستن PDF R_n داریم:

$$R_n^2(t) = n_i^2(t) + n_q^2(t) \rightarrow$$

$$R_n \Rightarrow P(R_n) = \frac{R_n}{2N_0W} e^{-\frac{R_n^2}{2N_0W}}$$

n_q, n_i مستقل
اصغر
 σ برابر
گوسی



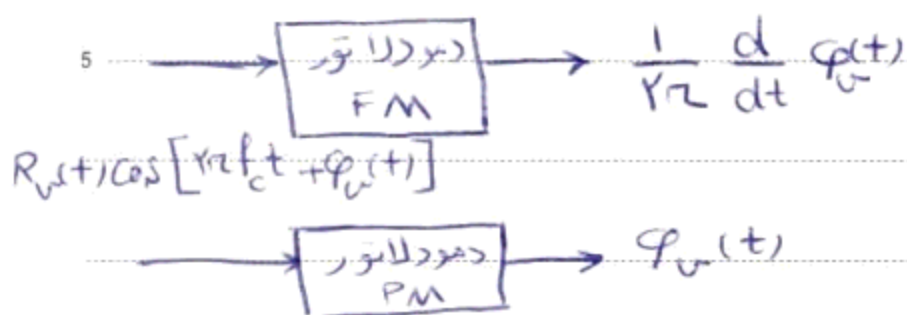
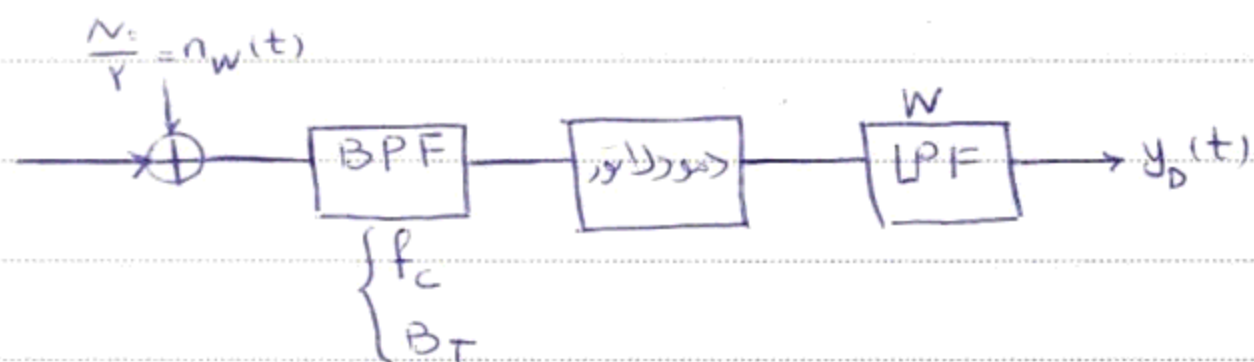
$$P\{R_n > A_R\} \leq 0.01 \Rightarrow \int_{A_R}^{\infty} P(R_n) dR_n \leq 0.01 \Rightarrow e^{-\frac{A_R^2}{2N_0W}} < 0.01$$

$$\Rightarrow \frac{A_R^2}{2N_0W} \geq 10 \Rightarrow \left(\frac{S}{N}\right)_R \geq 10 \Rightarrow \left(\frac{S}{N}\right)_{th} = 10$$

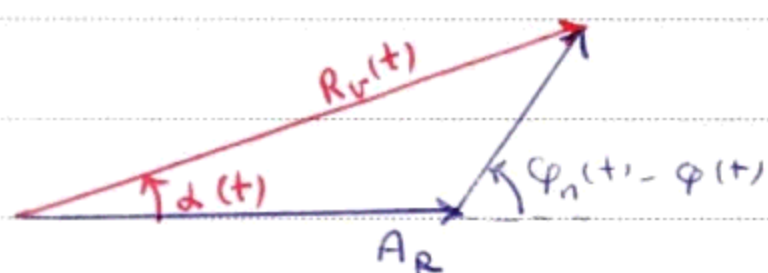
15

20

25



$$v(t) = A_R \cos[2\pi f_c t + \varphi(t)] + R_n(t) \cos[2\pi f_c t + \varphi_n(t)] = R_v(t) \cos[2\pi f_c t + \varphi_v(t)]$$



در اینجا زاویه پایداری است.

$$\alpha(t) = \arctan \frac{R_n(t) \sin[\varphi_n(t) - \varphi(t)]}{A_R + R_n(t) \cos[\varphi_n(t) - \varphi(t)]}$$

در ذات آستانه سازی FM تک آستانه سازی بولس است، همانطور که دیدیم هر آستانه ساز بولسی تک مقدار آستانه برای تبدیل به نویز دارد و بنابراین ما در آستانه سازی FM همگی مقدار آستانه داریم، برای رعایت آن باید شرط $A_R \gg R_n$ را داشته باشیم.

$$\Rightarrow \alpha(t) = \arctan \frac{R_n(t) \sin[\varphi_n(t) - \varphi(t)]}{A_R} \approx \frac{R_n(t) \sin[\varphi_n(t) - \varphi(t)]}{A_R}$$

$$\Rightarrow \alpha(t) = \frac{1}{A_R} R_n(t) \sin[\varphi_n(t) - \varphi(t)]$$

حال می خواهیم حدیابی ضیف توان $\alpha(t)$ را حساب کنیم

از یادمان نماند که $\varphi_n(t)$ فرکانس بالاست پس تغییرات $\varphi(t)$ نسبتاً کم است پس $\varphi(t) \approx \varphi$

حدی ثابت در نظر می گیریم پس:

$$\alpha(t) = \frac{1}{A_R} [R_n(t) \sin \varphi_n(t) \cos \varphi - R_n(t) \cos \varphi_n(t) \sin \varphi(t)]$$

$$\Rightarrow \alpha(t) = \frac{1}{A_R} [n_q(t) \cos \varphi - n_i(t) \sin \varphi]$$

$$\Rightarrow \alpha(t) = \frac{\cos \varphi}{A_R} n_q(t) - \frac{\sin \varphi}{A_R} n_i(t)$$

اثبات کردیم که $n_q(t)$ ، $n_i(t)$ مستقل هستند و در نتیجه $G_\alpha(f)$ برابر مجموع توانی های ضمیمه توان است.

$$G_\alpha(f) = \frac{\cos^2 \varphi}{A_R^2} G_q(f) + \frac{\sin^2 \varphi}{A_R^2} G_q(f) \rightarrow G_\alpha(f) = \frac{1}{A_R^2} G_q(f)$$

فرض ها اولاً بالا قرار آستانه کاری نسبی $(\frac{S}{N})_R \gg 10$ ثانیاً می توان از $\varphi(t)$ وارد مقابل $\varphi_n(t)$ تلفت فرض کرد.

حال می خواهیم وارد نوع مدولاسیون بصریم.

$$S_R = \frac{A_R^2}{\gamma} \Rightarrow A_R^2 = \gamma S_R$$

در قسمت های قبل توان نویز در توان سیگنال بستگی برداشت اماد اینها

$$\Rightarrow G_\alpha(f) = \frac{1}{\gamma S_R} G_q(f)$$

این ارتباط وجود دارد.

$$- \varphi(t) = \varphi_\Delta m(t)$$

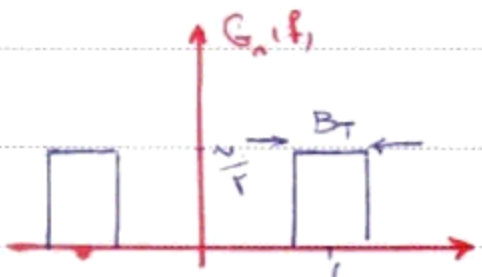
PM:

$$y(t) = \varphi_v(t)$$

$$y(t) = \varphi_\Delta m(t) + \alpha(t)$$

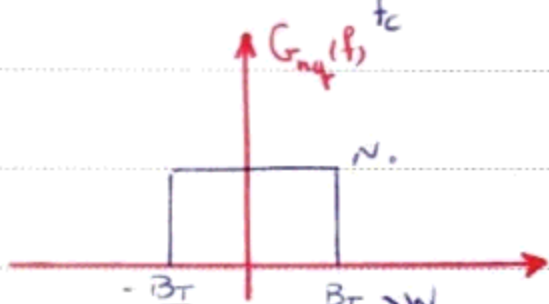
چون سیگنال نویز نا همبسته هستند پس می توان و با از مجموع

توانی توان سلامت



$$y_D(t) = \varphi_\Delta m(t) + \beta(t)$$

نویز پردازشگر LPF

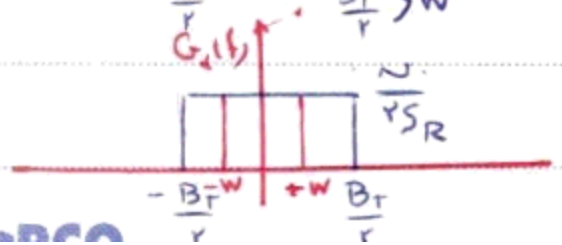


$$N_D = \frac{N \cdot W}{S_R} = \frac{1}{\delta} \Rightarrow \left(\frac{S}{N}\right)_{D, PM} = \varphi_\Delta^2 P_m \delta$$

$$S_D = \varphi_\Delta^2 P_m$$

$$P_m = 1 \Rightarrow \left(\frac{S}{N}\right)_{D, PM} = \varphi_\Delta^2 \delta$$

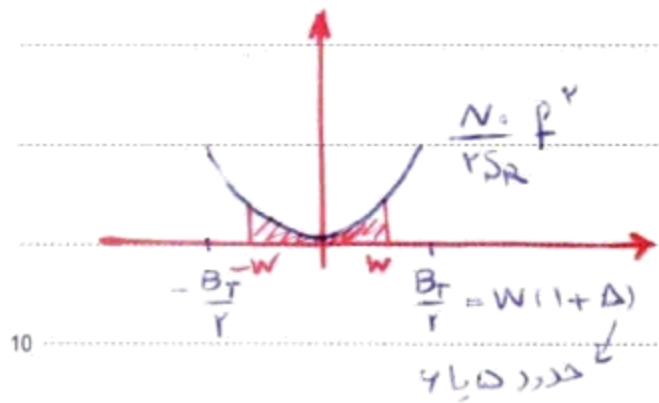
و برای همین تغییرت سیگنال به نویز در این حالت



ن علاوه بر تقویت خود را نویز را نیز حذف می کند

FM: $\varphi(t) = 2\pi f_{\Delta} \int^t m(\lambda) d\lambda$

$y(t) = \frac{1}{r} \frac{d}{dt} (\varphi(t))$
 برای ضریب r $\Rightarrow y(t) = f_{\Delta} m(t) + \frac{1}{r} \frac{d}{dt} (\alpha(t))$
 $\varphi_{\nu}(t) = \varphi(t) + \alpha(t)$
 $\frac{1}{r} (f_{\Delta} r) G_{\alpha}(f) = \frac{f}{r} G(f)$
 (جدای طیف توان نویز در خروجی دموولاتور FM)



آثر اندکی بازوی فیلتر LPF، زیاد شود مقدار نویز دبیشری در این حالت عبور می کند حال اینکه در حالت قبل اینگونه نبود.

$N_D = \int_{-W}^{+W} \frac{N_0}{2S_R} f^2 df = \frac{N_0}{S_R} \frac{W^3}{3} = \frac{W^3}{3\beta}$
 $S_D = f_{\Delta}^2 P_m$
 $\left(\frac{S}{N}\right)_D = \frac{f_{\Delta}^2 P_m \beta}{W^3} = \beta^3 P_m \gamma$

فرض ها اولاً از دبیشری بودن $\left(\frac{S}{N}\right)_R$ از آستانه مطمئن باشیم.

$\beta_T = 2W(1 + \beta)$
 در اینجا بسدنیال نویز با توان دو برابر میانی باند زیاد می شود.

$\left(\frac{S}{N}\right)_{FM} = \beta^3 P_m \frac{S_R}{N_0 W}$

۱۹. از ای یک نویز معین دبیم میس (دسته مادبیشری) فاسی توانیم با اندازه S_R در β بسدنیال نویز را بهبود دهیم
 هرچه S_R زیاد کنیم بسدنیال نویز دبیشری می گیریم
 آثر بهیای ماند اجلی زیاد کنیم آنگاه نویز دبیشری با ورودی دموولاتور می رسد، این یعنی بسدنیال نویز
 با حد آستانه یا بس نزدیک می شود دیگر روابط فوق برقرار نخواهد بود.

Subject:

Year. Month. Date. ()

$$\frac{S_R}{N_R} \gg 10$$

$$N_R = N_0 B_T = 2N_0 W (1 + \beta)$$

$$\therefore \frac{S_R}{N_R} = \left(\frac{S_R}{2N_0 W (1 + \beta)} \right) \gg 10 \Rightarrow \frac{S_R}{N_0 W} \gg 20 (1 + \beta) \Rightarrow \gamma_{th} = 20 (1 + \beta)$$

$$\Rightarrow \left(\frac{S}{N} \right)_D \gg 40 \beta^2 (1 + \beta) P_m$$

با حداقل توان ممکن ارسال می‌شود، $\left(\frac{S}{N} \right)_D = 5 \text{ dB}$ ، ا بزرگ آورده

نامعادی فرق را لا فوساری تبدیل شده و تبدیل با نویز در سرد مورد لاتور دقیقاً ۱۰ خواهد بود

۱۰ β بزرگ می‌آید، B_T ، از روی آن حساب می‌کنیم
و بهای در دسترس 18 kHz است از روی β ، ا بزرگ آورده و بقیه مسائل را با آن حل می‌کنیم.

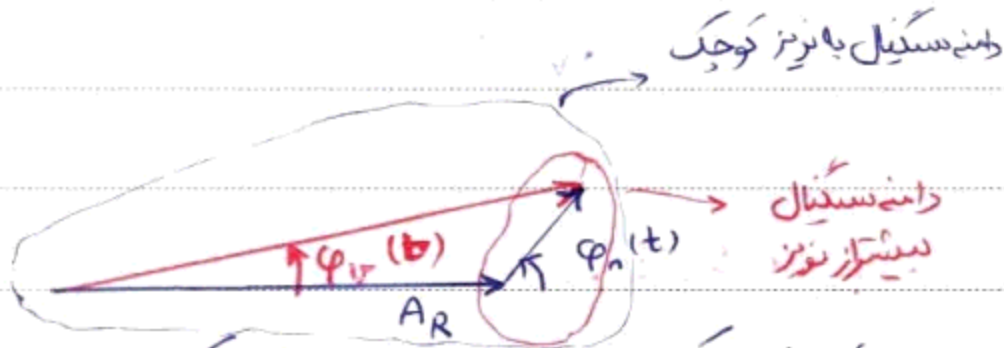
5

15

20

25

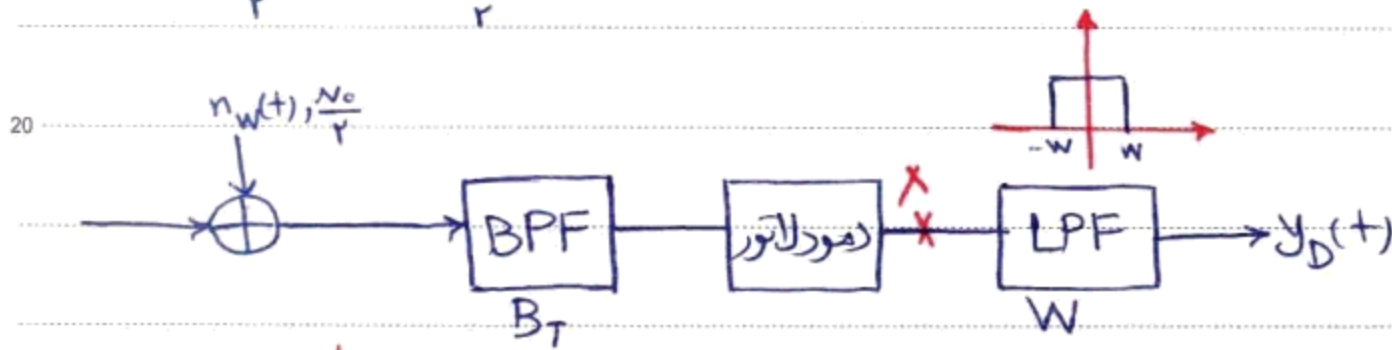
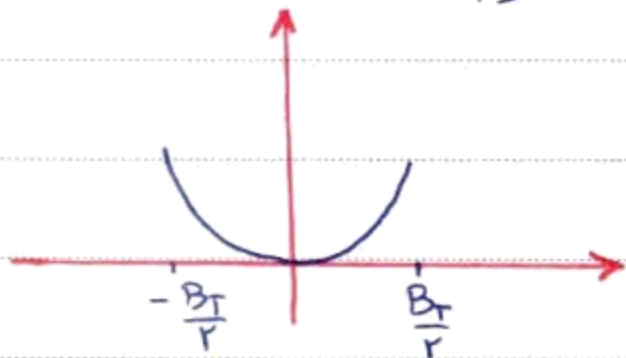
سیگنال اچاموس سی کنیم $\rightarrow A_R \cos 2\pi f_c t + R_n(t) \cos(2\pi f_c t + \varphi_n(t)) = v(t)$



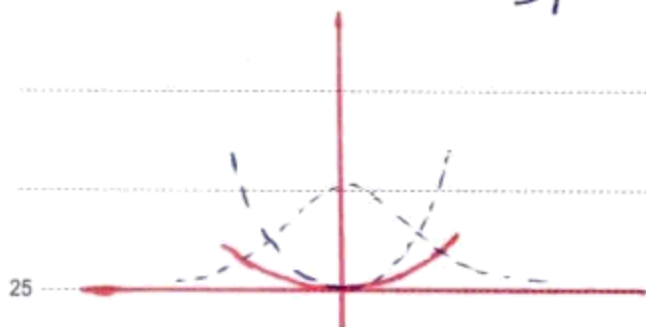
بردار مربوط به نوز در هر لحظه هم زاویه هم اندازه اش تغییر می کند. بنابراین هر جا این در تغییر کند می توانیم ناهمبندی را بیسیم که $\varphi_n(t)$ در آن تغییر می کند. حال اگر $R_n(t)$ کوچک باشد این ناهمبندی کوچک است. تغییرات $\varphi_n(t)$ نمی تواند زیاد شود اما اگر دامنه فرکانس سیگنال زیادتر شود. آنگاه ناهمبندی بزرگتر می شود و امکان دارد با تغییر اندک زمان $\varphi_n(t)$ زیاد تغییر می کند و امکان دارد در بعضی مواقع ضرباهای را نیز ایجاد کند که مطلوب نمی باشد.

نویز FM متناسب با عکس توان سیگنال است. در واقع وقتی روی یک موج هستیم می خواهیم دامنه فرکانس را افزایش بدهیم. نویز داریم زیرا در اینجا سیگنال صدای است ولی در موج دیگر چون سیگنال اچاموس سیگنال با نویز افزایش یافته و صدا را سیگنال می کنیم.

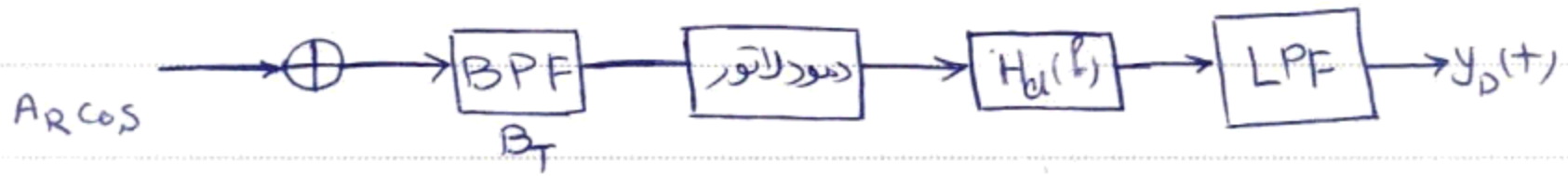
همانطور که دیدیم در هنگامی طیف توان نویز در خروجی دموولاتور FM داریم هر چه فرکانس کار بالا برود انرژی نویز عبوری زیاد می شود.



اگر در طبقه X یک فیلتر RC ساده قرار دهیم آنگاه داریم اما این فیلتر سیگنال را نیز ضعیف می کند.



برای رفع این مشکل در فرکانس های بالا پیام تقویت می شوند و بنابراین با فیلتر RC این پیام به حالت عادی خود بازمی گردد. نویز ضعیف می شود. عمل در فرستنده تا آنجا که درگیر می شود و اما آنجا که می برود. کتاب کار لسون را حل کند.



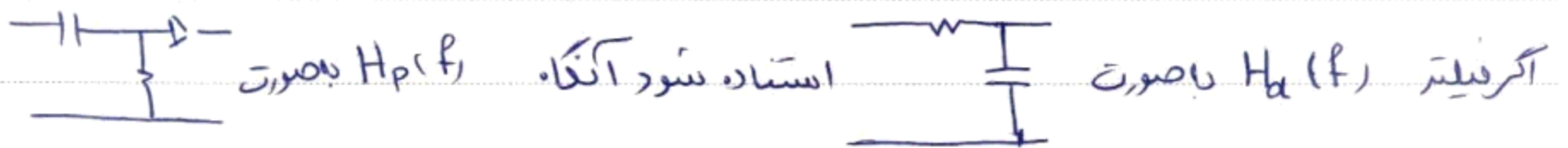
تا حدی که در مورد سیگنال یعنی کنیم همین خود را بر تأکید می‌کنیم

$$(N_D)_{\text{بناکند}} = \int_{-W}^W \frac{N \cdot f^2}{2SR} |H_a(f)|^2 df \ll (N_D)_{\text{بدون بناکند}}$$

$$(S_D)_{\text{بناکند}} = (S_D)_{\text{بدون بناکند}}$$

$$\frac{\left(\frac{S}{N}\right)_{D, \text{بناکند}}}{\left(\frac{S}{N}\right)_{D, \text{بدون بناکند}}} = \frac{(N_D)_{\text{بدون بناکند}}}{(N_D)_{\text{بناکند}}} \gg 1$$

پس در ذات مدولاتور FM هم تأکید کرد و تأکید کرد هر دو در هم آستان رعایت شده است

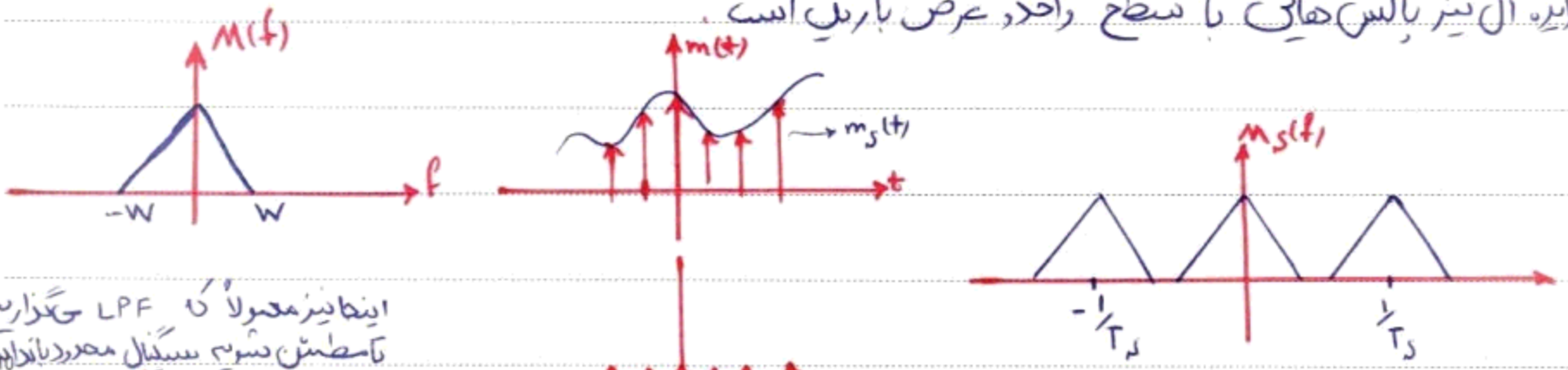


خواهد بود

در مدولاتور خطی با افزایش دامنه عرض باند تغییر نمی‌کند ولی در مدولاتور غیر خطی با افزایش دامنه عرض باند زیاد می‌شود. پس با افزایش دامنه سیگنال فرکانس‌های بالا تقویت می‌شوند

اساس ذخیره دیجیتال تقریباً نمونه برداری است. یعنی به جای یک سیگنال نرنا های از آن را ارسال می کنیم.

لازمی بحث band limited بودن سیگنال است. فرض کنیم $m(t)$ سیگنالی با باند محدود با عرض باند W باشد. سیگنال $m(t)$ را وارد نمونه گیری کنیم. نمونه گیری ایند اک ضرب در نظر گرفته شود. و نمونه گیری غیر ایده آل نیز با بس های با سطح واحد عرض باریک است.



این تریز معمولاً با LPF می گذاریم تا مطمئن شویم سیگنال محدود باند است



از لحاظ تئوری ما عرض باندی بینهایت بیک ارسال $m_s(t)$ نیاز داریم

$$\sum_{n=-\infty}^{\infty} \delta(t - nT_s) \leftrightarrow \sum_{n=-\infty}^{\infty} \frac{1}{T_s} \delta(f - n/T_s)$$

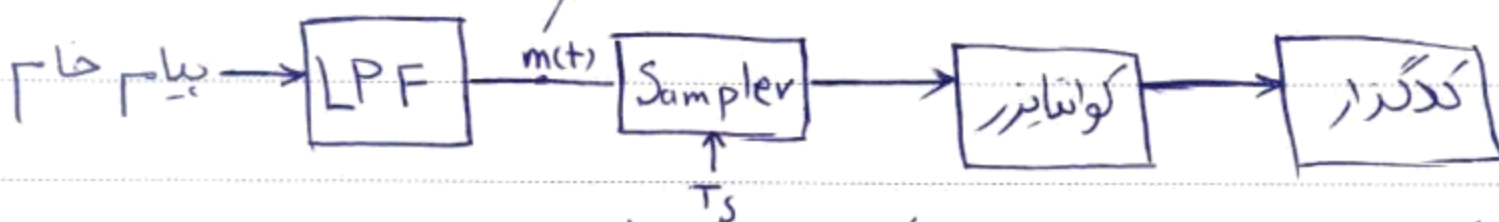
رخ نمونه برداری نادکو نیست

$$\Rightarrow f_s \gg 1/W$$

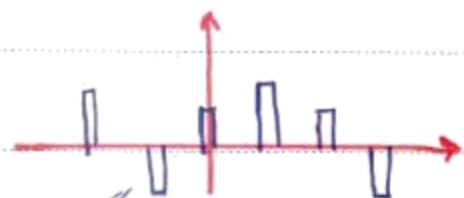
معرفی سیستم PCM : Pulse Code Modulation

یک ATD در بخش فرستنده و یک DTA در بخش گیرنده داریم.

پیام محدود باند با عرض باند W هرگز



در نمونه گیری غیر ایده آل نیز به جای ضرب با بس های باریکی را داریم و فقط در $M_s(f)$ سطح $M(f)$ های سیفیت با اند متفاوت است.



در بایزی عددی مثل Q انتخاب کرده بازه $[1, -1]$ را به Q قسمت تقسیم کرده مقادیر فردی نمونه گیری را به

نزدیکترین مقدارش گروهی کنیم. با این عمل که توسط کوانتایزر انجام می شود کوانتیزه کردن می گوئیم.

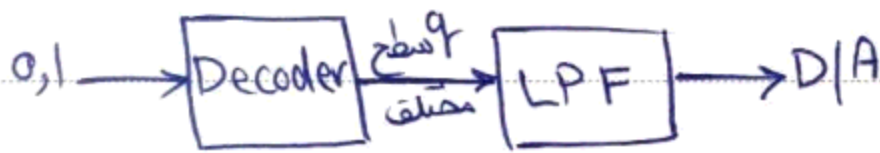
اگر مثلاً ۸ تنوع داشته باشیم آنگاه با سه بیت بایزی می توانیم این مقادیر را با طور کامل مشخص کنیم.

در رشته $(q = 2^k)$ k تایی را مشخص کرده و ارسال می کند که k تایی اول مشخص کننده اولین

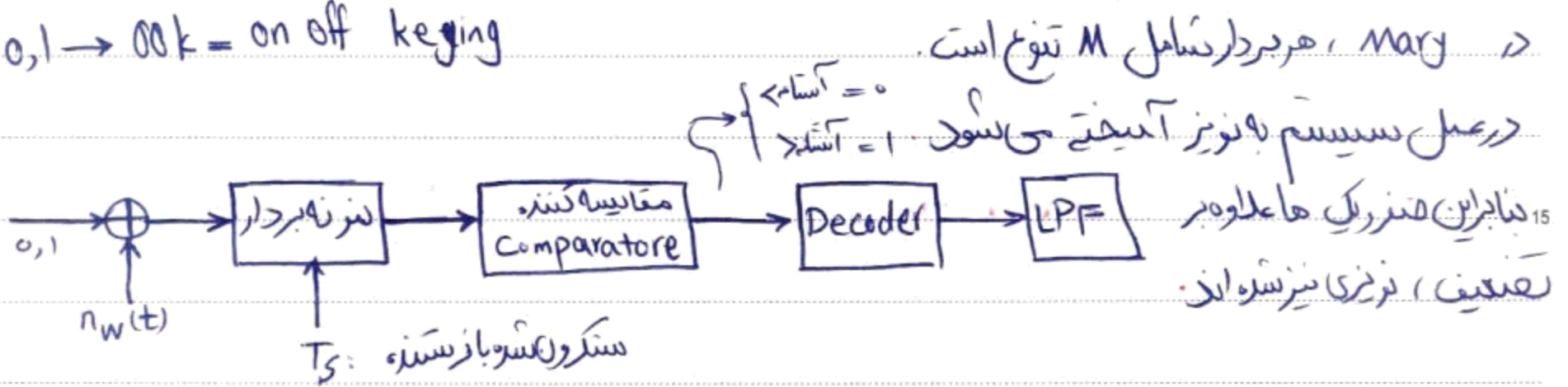
در k تایی دوم مشخص کننده درمین نمونه را به همین ترتیب می باشد.

بنابراین ATD عبارتست از یک نمونه بردار، کوانتایزر، کدگذار
 چون هر نمونه با یک رشته‌ای فرستاده شد که در آن دو تنوع است به آن binary PCM گفته می‌شود.
 در M-ary PCM رایجی $q = M^k$ خواهیم داشت
 پس سیگنال آنالوگ وارد شد و در فرقی یک رشته‌ای صفر یک خارج شد.
 هر چه عرض باند پیام بیشتر شود سیگنال دیجیتال که از فرقی ATD می‌آید فرکانس بیشتری از
 لحاظ نمونه برداری دارد.

درست گیرند آنچه مهم است، Timing است که این تعصیه با کلاک سینکرون شد. در فرستنده، گیرنده
 حل می‌شود.



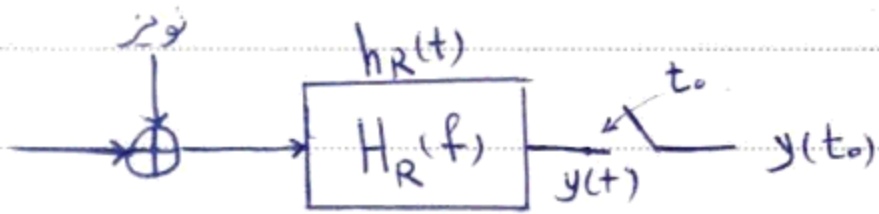
$0, 1 \rightarrow OOK = \text{on off keying}$



بهترین سطح آستانه μ است با فرض احتمال صفر یک بودن برابر باشد و ثابتاً نویز از نوع AWGN باشد
 در اینجا خط داریم. زیرا امکان دارد

گیرنده‌ی بهینه گیرنده‌ای است که بهترین آستانه را داشته باشد یعنی آستانه طوری انتخاب شد که کمترین
 خطا را داریم.

حال می‌خواهیم در فرقی جمع کنند. LPF بگذاریم که مقادیر را در جاها بیک نمونه برداری می‌کنیم سیگنال را بدون
 تغییر عبور داده و نویز را کم کند. نیاز داریم دو این فیلتر در جاها بیک نمونه برداری می‌کند. مهم
 اینست که مقادیر در محل حائلی می‌خواهیم نمونه برداری تغییر نکنند به این فیلترها، فیلترهای
 تطبیقی می‌گویند.



قرار است از مروجی جمع کنند. دستمال و نویز نمونه بگیریم. مهم اینست که اگر نویز نمونه به نویز تم باشد. برای این منظور از فیلترهای تطبیقی استفاده می‌کنیم.

Match Filter **فیلتر تطبیقی (سازگار)**

فرض کنیم پالس $S(t)$ رسیده و به نویز $n(t)$ آلوده شده است. می‌خواهیم فیلتر تطبیقی را به گونه‌ای طراحی کنیم که $y(t_0) = S_0(t_0) + n_0(t_0)$ مقدار $\frac{|S_0(t_0)|^2}{E\{n_0^2(t_0)\}}$

ماکسیم شود.

$$SNR = \frac{|S_0(t_0)|^2}{E\{n_0^2(t_0)\}}$$

بنابراین در اینجا هم اینست که اگر نویز در نمونه هاکم باشد.

$$S_0(t) \xrightarrow{F} S_0(f) = S(f) H_R(f)$$

$$\Rightarrow S_0(t) = \int_{-\infty}^{\infty} S(f) H_R(f) e^{j\pi f t} df \Rightarrow S_0(t_0) = \int_{-\infty}^{\infty} S(f) H_R(f) e^{j\pi f t_0} df$$

$$E\{n_0^2(t_0)\} = \int_{-\infty}^{\infty} G_n(f) |H_R(f)|^2 df$$

$$SNR = \frac{\left| \int_{-\infty}^{\infty} S(f) H_R(f) e^{j\pi f t_0} df \right|^2}{\int_{-\infty}^{\infty} G_n(f) |H_R(f)|^2 df}$$

با توجه به انتخاب کنیم که SNR ماکسیم شود $G_n(f)$ معلوم می‌شود حال می‌خواهیم $H_R(f)$ را

طبق نامساوی شوارتز داریم:

$$\frac{\left| \int_{-\infty}^{\infty} v(f) w^*(f) df \right|^2}{\int_{-\infty}^{\infty} |v(f)|^2 df} \leq \int_{-\infty}^{\infty} |w(f)|^2 df$$

ی‌رقتی به مساوی تبدیل می‌شود که v ضریبی اسکالار w باشد. $v = kw$

$$V(f) = H_R(f) G_n^{1/2}(f)$$

$$W(f) = \frac{S^*(f) e^{-j2\pi f t}}{G_n^{1/2}(f)}$$

بنابراین حداثر دست چپ وقتی است که $V = kW$

$$\Rightarrow H_R(f) G_n^{1/2}(f) = k \frac{S^*(f) e^{-j2\pi f t}}{G_n^{1/2}(f)} \Rightarrow H_R(f) = k \frac{S^*(f) e^{-j2\pi f t}}{G_n(f)}$$

این فرکانس $20-30$ dB سیگنال با نویز را افزایش می دهد.

در هر فرکانسی که $G_n(f)$ زیاد است در آنجا H_R کم است و برعکس پس $H_R(f)$ با نفع سیگنال و بلاضرر نویز کاری کند.

حال می خواهیم سیگنال با نویز ماکسیمم را بدست آوریم.

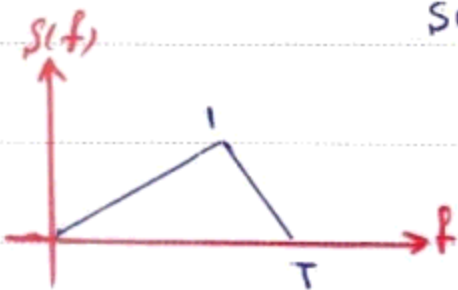
$$(SNR)_{MAX} = \int_{-\infty}^{\infty} |W(f)|^2 df = \int_{-\infty}^{\infty} \frac{|S(f)|^2}{G_n(f)} df$$

k در سیگنال با نویز تأثیری ندارد.

$$G_n(f) = \frac{N_0}{\gamma} \Rightarrow H_R(f) = \frac{\gamma k}{N_0} S^*(f) e^{-j2\pi f t}$$

فیلتر سازگار در حضور AWGN:

$$\therefore h_R(t) = \frac{\gamma k}{N_0} \underbrace{S(t_0 - t)}_{S(-t) \rightarrow t \rightarrow t-t}$$

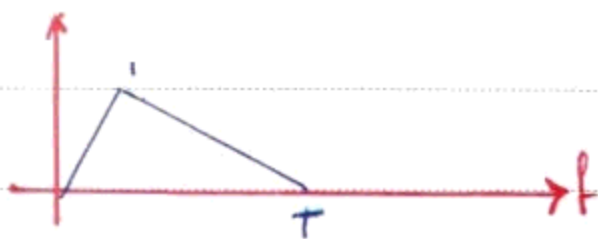


فرض کنیم گفته شود پالس مقابل وارد فیلتر طبیعی شود.

می خواهیم پالس ضربه فیلتر را بدست آوریم.

اگر $t < T$ باشد فیلتر عملی نیست و قابل پیاده سازی نمی باشد پس

باید $t \gg T$ بگیریم.



حاسب انرژی سیگنال در نویز با تفکیک:

$$(SNR)_{max} = \frac{\gamma E}{N_0}$$

محاسبه تعلق انرژی های سیگنال و نویز

$$(SNR)_{max} = \int_{-\infty}^{\infty} \frac{|S(f)|^2}{G_n(f)} df = \frac{\gamma}{N_0} \int_{-\infty}^{\infty} |S(f)|^2 df$$

$$S_o(t_0) = ?$$

$$S_o(t_0) = \int_{-\infty}^{\infty} S(f) H_R(f) e^{j2\pi f t_0} df \Rightarrow S_o(t_0) = \int \frac{\gamma k}{N_0} S^*(f) S(f) df = \frac{\gamma k E}{N_0}$$

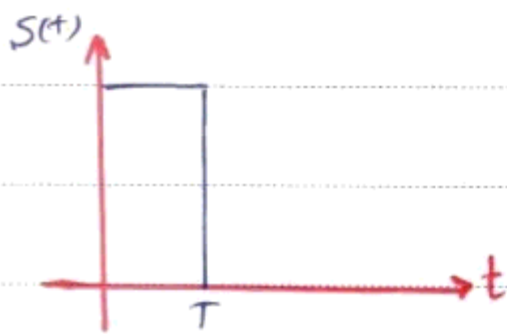
$$S_o^2(t_0) = \frac{\gamma^2 k^2 E^2}{N_0^2}$$

$$\Rightarrow (SNR)_{max} = \frac{\gamma E}{N_0}$$

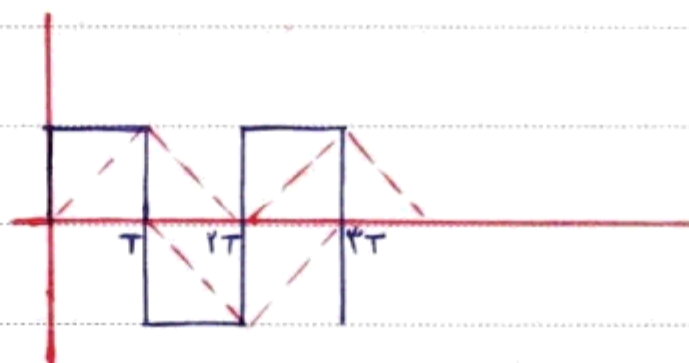
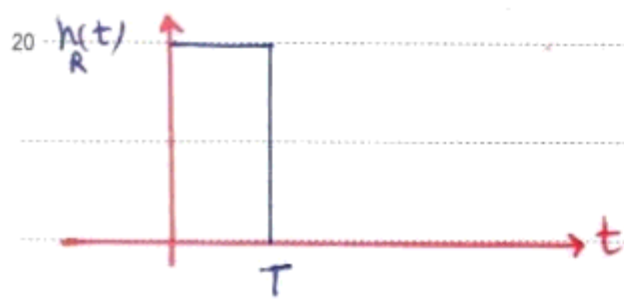
$$E\{n_o^2(t)\} = \int \frac{N_0}{2} \frac{\gamma k^2}{N_0^2} |S(f)|^2 df = \frac{\gamma k^2 E}{N_0}$$

همانطور که دیدیم k در انرژی هر دو سیگنال به طور مستقل حضور دارد ولی $(SNR)_{max}$ تأثیری ندارد.

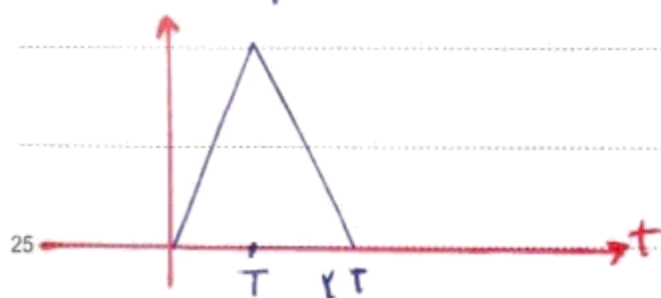
مثال: یک سیگنال با بس $+a$ و $-a$ در حضور AWGN به گیرنده می رسد. برای این سیستم فیلتر تطبیق طراحی کنید همچنین در غیاب نویز شکل موج خروجی از فیلتر تطبیق را رسم کنید. اگر فیلتر برای بس a تطبیق باشد آنگاه برای بس $-a$ نیز تطبیق خواهد بود.



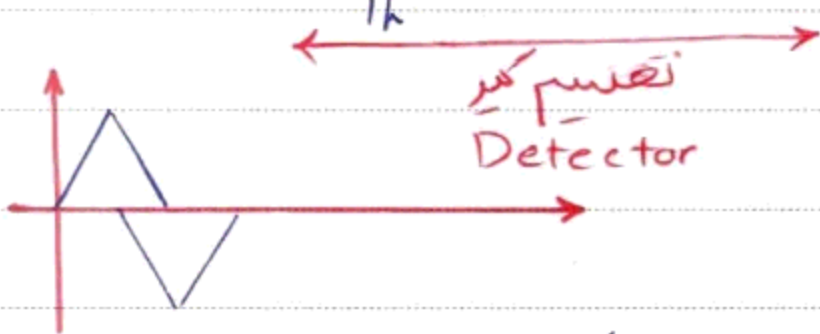
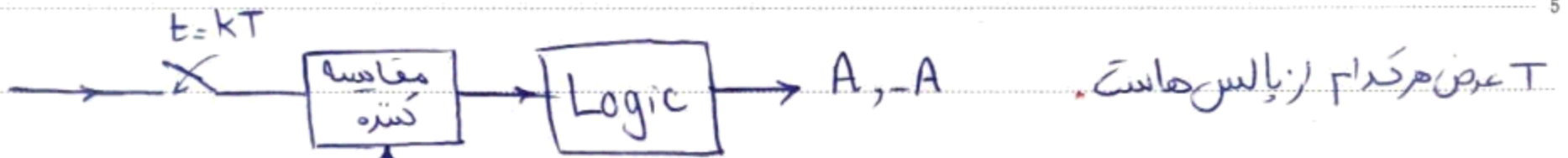
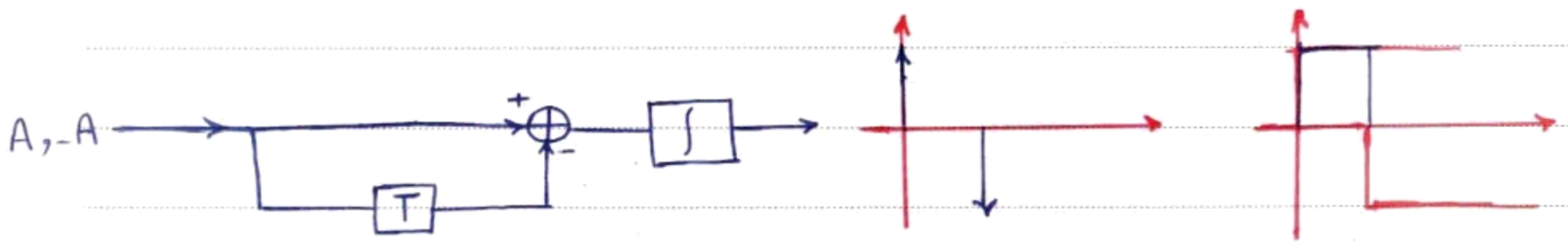
یک بس $+a$ را در نظر می گیریم. Match Filter هم با نویز و بس به نسبت است و هم به خود سیگنال



همانطور که می بینیم شکل های مربوط به بس $+a$ و $-a$ هر دو در آن نقطه نیز تأثیر می گیرند. تطبیق به بس خاص منجر بود. و در آن تأثیری ندارند.



می خواهیم بلوک دیاگرام مربوط به Match Filter طراحی کنیم.



در مثال قبل به مثلث های متقابل رسیدیم

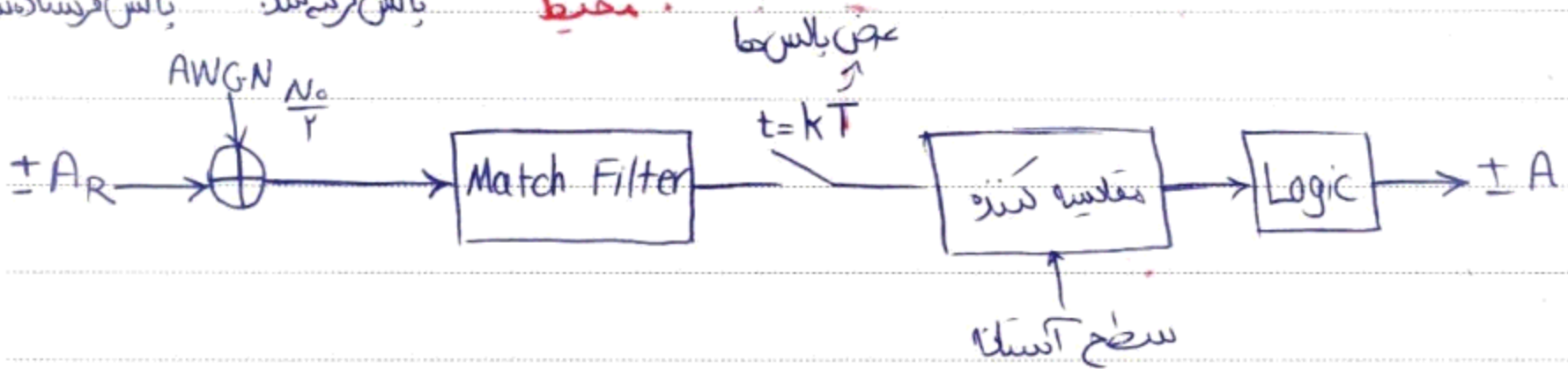
می توانیم به جای همان تأخیر از I & D استفاده کردیم، با اینکاری می توانیم ترک مثلث ها را بدست آوریم اما اینداریافت می شود توان نریند دور بر سر شود و در این حالت فیلتر نیمه تطبیق می گویند.

احتمال خطا در سیستم های مطابقت دیجیتال: Error Control Coding

با اضافه کردن Parity check می توانیم از خطا در بودن یک سیگنال آگاه شد و بتواند آن را تصحیح نیز کند.

بررسی عملکرد سیستم با نویز باید یا یاد در حضور AWGN

در اینجایی خواهیم از روشی بودن نویز نیز استفاده کنیم.
 تقویت محیط



اندازه خطا هر دو دارد. می خواهیم احتمال این خطا را متناسباً کم کنیم.

k - امین نمونه

$$r_k = \underbrace{\pm A_0}_{S_0(kT)} + n_k$$

$$k = \frac{N}{T} \quad \text{ترتیب ورودی سیگنال} \quad \frac{r_k}{N_0} = 1$$

$$n_k = N(0, \sigma^2)$$

$$\sigma^2 = E\{n_k^2\} - (E\{n_k\})^2 = \int_{-\infty}^{\infty} \frac{N_0}{T} |H_R(f)|^2 df = \frac{N_0 E}{T}$$

$$A_0 = E \quad S_0(t) = \frac{T k E}{N_0} \quad \left| k = \frac{N}{T} \right. = E$$

$$\Rightarrow r_k = N\left(\pm A_0, \frac{N_0 E}{T}\right)$$

در محاسبات خود با جای k از $\frac{N_0}{T}$ استفاده کردیم زیرا k در سیستم انتقال با نویز نقش ندارد.

$$P(A_R | r_k) > P(-A_R | r_k) \Rightarrow \text{ارسال شده است. } A$$

$$P(-A_R | r_k) > P(A_R | r_k) \Rightarrow \text{ارسال شده است. } -A$$

با انجام کار فوق احتمال خطای سیستم را حداقل کردیم.

$$\xrightarrow[\text{محل}]{\text{باطور}} P(A | r_k) \sum_{A} P(-A | r_k)$$

$$\frac{P(A, r_k)}{P(r_k)} \sum_{A} \frac{P(-A, r_k)}{P(r_k)} \Rightarrow P(A) P(r_k | A) \sum_{A} P(-A) P(r_k | -A)$$

$P(A)$ ، $P(-A)$ را داریم و با آنها احتمال آپدیتیشن می‌گیرند.

$$P(r_k | A) = P(r_k | A_A) = P(r_k | A_0)$$

$$\Rightarrow P(r_k | A_R) = \frac{1}{\sigma \sqrt{2\pi}} e^{-\frac{(r_k - A_0)^2}{2\sigma^2}}$$

Subject:

Year. Month. Date. ()

$$P(r_k - A_0) = \frac{1}{\sigma\sqrt{t}} e^{-\frac{(r_k + A_0)^2}{2\sigma^2 t}}$$

$$\frac{P(A)}{\sigma\sqrt{t}} e^{-\frac{(r_k - A_0)^2}{2\sigma^2 t}} > \frac{P(-A)}{\sigma\sqrt{t}} e^{-\frac{(r_k + A)^2}{2\sigma^2 t}}$$

$$\Rightarrow \ln P(A) - \frac{(r_k - A_0)^2}{2\sigma^2 t} > \ln P(-A) - \frac{(r_k + A)^2}{2\sigma^2 t}$$

تکینامساری بر حسب r_k بدست می آید و نامبر میان آن A_0 با A - σ تیریم
 r_k بدست آمده سطح آستانه مشخص می کند.
مثال: نشان دهید

5

10

15

20

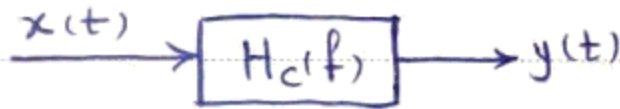
25

تکسیر جید مطلب :

Equ

ترازگرها

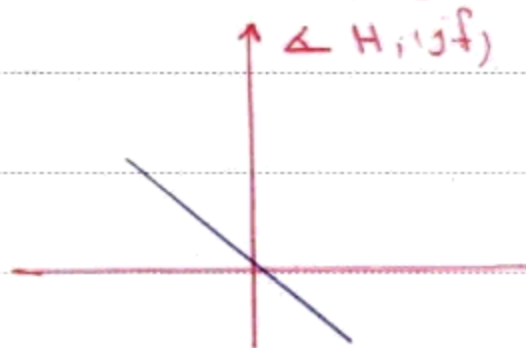
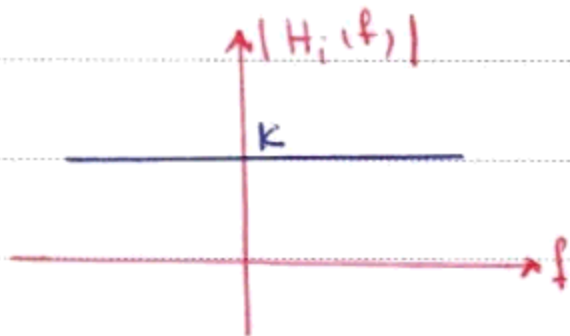
کانال های خطی : این کانال ها را می توان مثل یک سیستم LTI مدل کرد .



رابطه معادل مربوط به کانالی ایده آل است

کانال ایده آل $x(f) \rightarrow y(f) = k x(f) e^{-j2\pi f t_d}$

$H_i(f) = k e^{-j2\pi f t_d}$



در واقعیت کانال ایده آل نداریم یعنی هیچکدام از سرورهای فوق نمی تواند برقرار باشد

اگر اندازه ی پاسخ فرکانسی خط راست نباشد باید دیدی حاصل اعوجاج دینامی شوند
اگر فاز پاسخ فرکانسی خط راست صورت نباشد باید دیدی حاصل اعوجاج فازی شوند

معمولاً سرور اعوجاج رخ می دهند اما اینکه کدام یکی غالب است ، با سیستم وابسته است .



حال فرض کنیم که مستقیماً کانال را می داریم

Eq

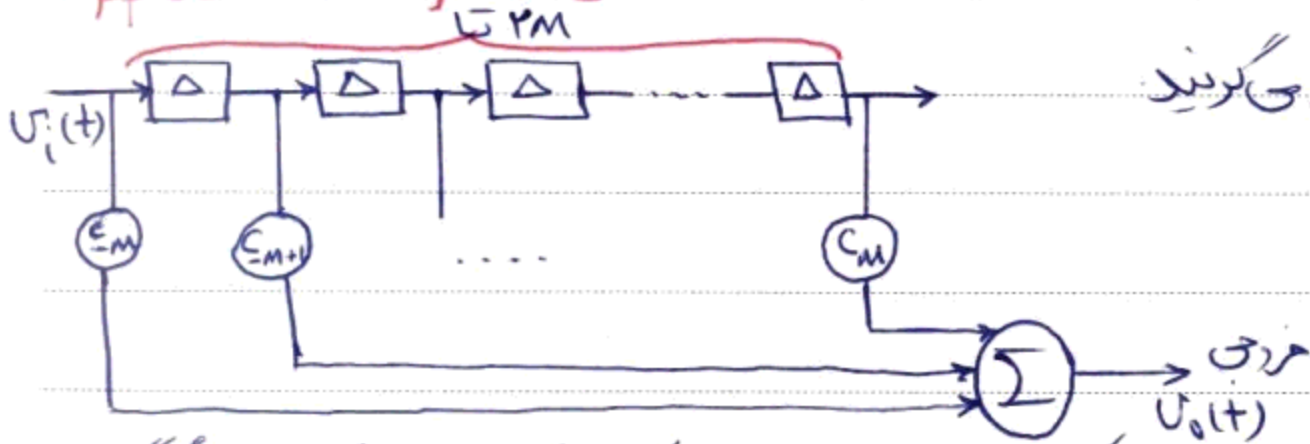
$H_c(f) H_{eq}(f) = k e^{-j2\pi f t_d} \Rightarrow H_{eq}(f) = \frac{k e^{-j2\pi f t_d}}{H_c(f)}$

پاسخ فرکانسی کانال ایده آل

هیچکس نمی تواند به ترازگر فوق دست یابد زیرا ترکیب دو سیستم با کانال ایده آل تبدیل شده و باز هم مشکل غیر حل بودن را داریم

حال می خواهیم $H_{eq}(f)$ را استخراج کنیم برای این بیشتر از مدل زیر استفاده می کنیم

Tapped Delay Line



این مدل را بطور تاخیر انشعاب یافته می گویند

می خواهیم با مقادیر فوق به گونه ای بازی کنیم که پاسخ فرکانسی کل بلوک پاسخ فرکانسی ترازگر گردد

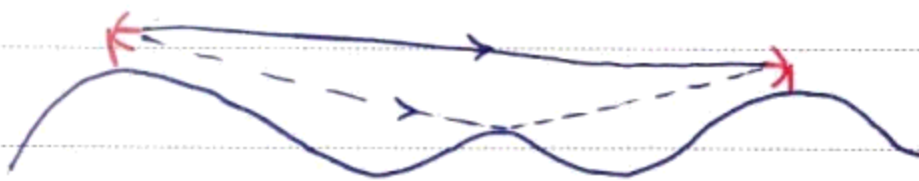
$$U_o(t) = C_{-M} U_i(t) + C_{-M+1} U_i(t - \Delta) + \dots + C_0 U_i(t - M\Delta) + \dots + C_M U_i(t - 2M\Delta)$$

$$\xrightarrow{F} V_o(f) = C_{-M} V_i(f) + C_{-M+1} V_i(f) e^{-j2\pi f \Delta} + \dots$$

$$\Rightarrow H_{eq}(f) = C_{-M} + C_{-M+1} e^{-j2\pi f \Delta} + C_{-M+2} e^{-j2\pi f (2\Delta)} + \dots + C_0 e^{-j2\pi f M\Delta} + \dots + C_M e^{-j2\pi f 2M\Delta}$$

$$\Rightarrow e^{-jM\omega\Delta} \sum_{m=-M}^M C_m e^{-jm\Delta\omega}$$

مثال 20: می خواهیم کلی ترازگر طراحی کنیم
طراحی ترازگر برای مضامیرات دوراها



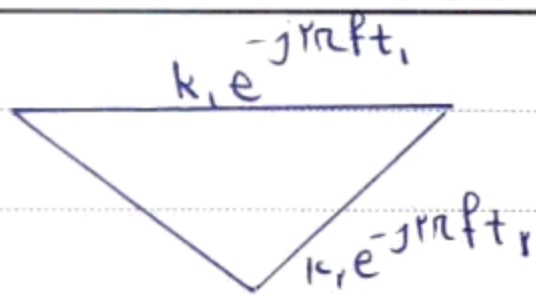
دستگینال از دوراها به گیرنده می رسد، می توان کورا از سر راه برداشت دریا اینکه کلی ترازگر قرار دهیم

حال می خواهیم $H_c(f)$ را بدست آوریم تا با استفاده از آن ترازگر را طراحی کنیم

25 پدیده Fading نیز حالتی است که در دستگینال همدگر را هفتی کنند که در این حالت تصدیف

نداریم اما چون در دستگینال با گونه ای تغییر فاز داده اند که همدگر را هفتی کرده اند دستگینال از بین می رود

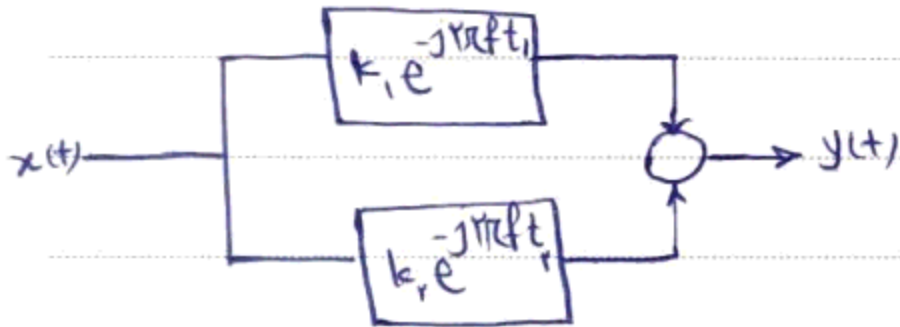
F باعث تغییر شرایط جوی نیز رخ می دهد



t_r, t_1 و همچنین k_r, k_1 جادیت بسیار زیادی دارد. می شود

$$y(t) = k_1 x(t - t_1) + k_r x(t - t_r) \neq k x(t - t_d)$$

تقریب $k_r \ll k_1$ فرض کنیم. تقریباً معقول است زیرا با افزایش مسیر انرژی بسیار کاهش می یابد. هادینال $H_c(f)$ هستیم و بدین خواهیم از روی آن تراز خود را طراحی کنیم.



$$H_c(f) = \frac{y(f)}{x(f)} = k_1 e^{-j\omega t_1} + k_r e^{-j\omega t_r}$$

$$H_{eq}(f) = \frac{k e^{-j\omega f t_d}}{k_1 e^{-j\omega f t_1} + k_r e^{-j\omega f t_r}}$$

همیشه نمی توان $H_{eq}(f)$ فوق را طراحی کردن و تنها می توان با تقریبی از آن دست یافت.

$$H_{eq}(f) = \frac{k e^{-j\omega f t_d}}{k_1 e^{-j\omega f t_1} \left(1 + \frac{k_r}{k_1} e^{-j\omega f (t_r - t_1)} \right)}$$

با اینکار و فرض های $t_d = t_1$ و $k = k_1$ می خواهیم مسیر با تاخیر t_r را حذف کنیم

$$\Rightarrow H_{eq}(f) \approx \frac{1}{1 + \epsilon} \approx 1 - \epsilon + \epsilon^2$$

* اگر شرط پذیر قرار نمی بود، راه حل درست نبود.

$$\Rightarrow H_{eq}(f) = 1 - \frac{k_r}{k_1} e^{-j\omega f (t_r - t_1)} + \left(\frac{k_r}{k_1}\right)^2 e^{-j\omega f 2(t_r - t_1)}$$

$M=1$ باشد، تعداد Delay Line ها M و در نتیجه سه جمله داریم

$$M=1$$

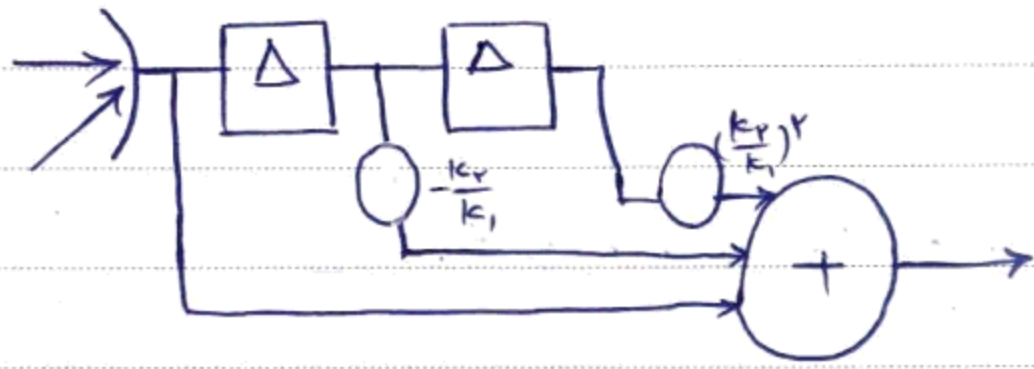
$$\Delta = t_r - t_1$$

$$C_{-1} = 1$$

$$C_o = -\frac{k_r}{k_i}$$

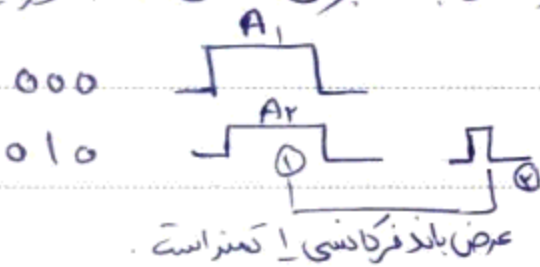
$$C_1 = \left(\frac{k_r}{k_i}\right)^2$$

دیسیت آئن کم کرنند تراز گرا افر می دهیم



در مختارات نوری محیط انتشار از جنس شیشه است. در مختارات الکتریکی محیط های انتشار با محیط آزاد است و یا مس می باشد.

در مس معمولاً فرکانس های بالا به خوبی ارسال می شود اما می توان هر سیگنال را با بسبب نشتی داد و در نتیجه عرض باند را کم کرد.



در کابل های هم محور نیز پاسخ فرکانسی کابل پهن تر می شود.

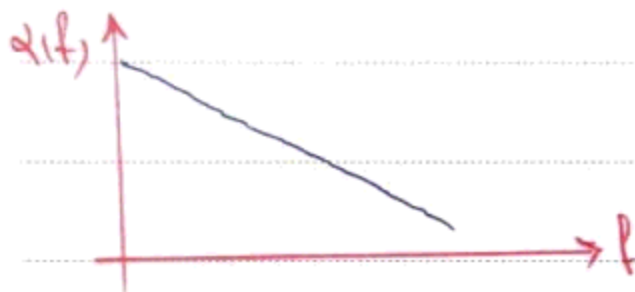
اگر $A_i \cos 2\pi f_i t$ را وارد کابل کنیم داریم



A_o فرکانس با فرکانس عوض می شود.

$$\frac{P_{in}}{P_{out}} = \frac{\frac{A_i^2}{2}}{\frac{A_o^2}{2}} = \left(\frac{A_i}{A_o}\right)^2 = L(f)$$

اگر $L = 1$ بگذاریم آنجا $\alpha(f)$ یعنی تضعیف هر کیلومتر در فرکانس خاص در حساب dB می باشد.



ثابت α روی کابل ها به این معنی است که سرعت نور در کابل α برابر سرعت نور در خلا است.

اگر مثلاً در فرکانس بالا سروکار داریم تضعیف بیشتر برده و لذا با کابل های بهتری نیاز داریم

اگر طول دو برابر شود آنگاه تضعیف بر حسب dB دو برابر می شود اما تضعیف نباید تغییر خواهد کرد.

$$L_L(f) = 10 \frac{L}{10}$$

$$L_{KL}(f) = (10 \frac{L}{10})^k$$

در فواصل بلند نباید از قابل استفاده کرد مگر اینکه در فواصل کوتاه. سیگنال را از لحاظ SNR تصحیح کرد و سپس با ادامه راه رفت.

5

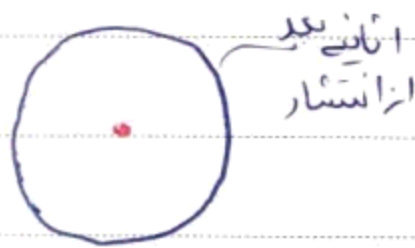
طول متوسط کابلی مورد استفاده 2^{km} است.

اگر تضعیف 1 کیلومتر 100 باشد آنگاه تضعیف در طول 2 کیلومتر $(100)^2$ است.

10

با همین دلیل باید سیگنال انتشار رادیویی را در

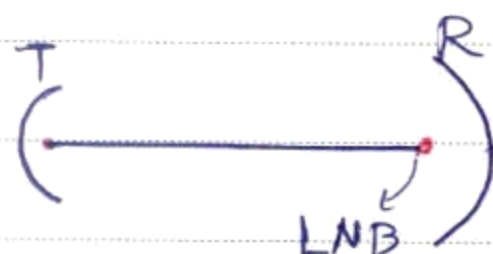
بعد از یک ثانیه انرژی روی کره ای به شعاع $300,000^{km}$ تقسیم می شود.



در مخازن رادیویی وقتی فاصله 2 برابر می شود، تضعیف در 4 ضربه می خورد.

15

بطور متوسط در هر 4^{km} سیگنال رادیویی گریه کند و یک چیزهایی به آن اضافه ر چیزهایی از آن کم می شود ولی اگر نخواهیم تغییری در آن دهیم نیز باید دلیل انحصار زمین باید این عمل انجام شود. در انتشار رادیویی می توان کانال انتخابی را در نظر گرفت تا آن تغییر می کند.



سیگنال به کانون می خورد و این کانون باعث می شود سیگنال در همان جهات بخش نشود و همه ی آن در جهت مورد نظر رود.

20

نسبت توانی که در حالت با آنتن و بدون آنتن را 3 می گویند و $directivity$ و $collectivity$ و $directivity$ و $collectivity$ می گویند.

در LNB هم تقویت انجام می شود هم تغییر فرکانسی از فرکانس های RF به IF صورت می گیرد.

25

Subject:

Year. Month. Date. ()

برای تولید SSB از DSB استفاده می‌کنیم. اما ما فرض کردیم فیلتر کردن DSB برای تولید SSB ایده‌آل است. اگر فرض ایده‌آل بودن را برداریم از DSB به VSB خواهیم رسید.

می‌توانیم به VSB یا SSB حاصل بزرگی اضافه کرد تا بتوان آن را با

5

10

15

20

25